



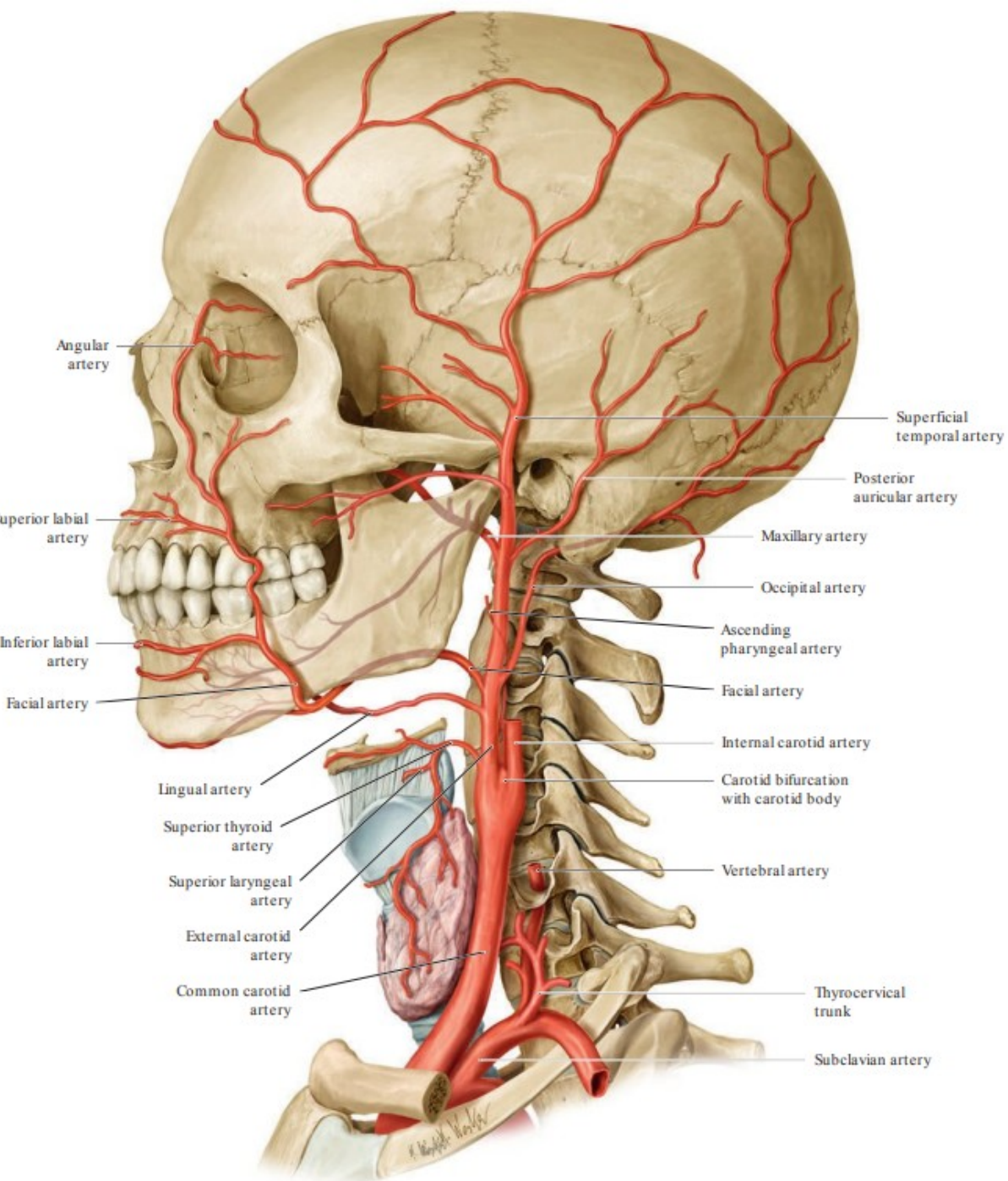
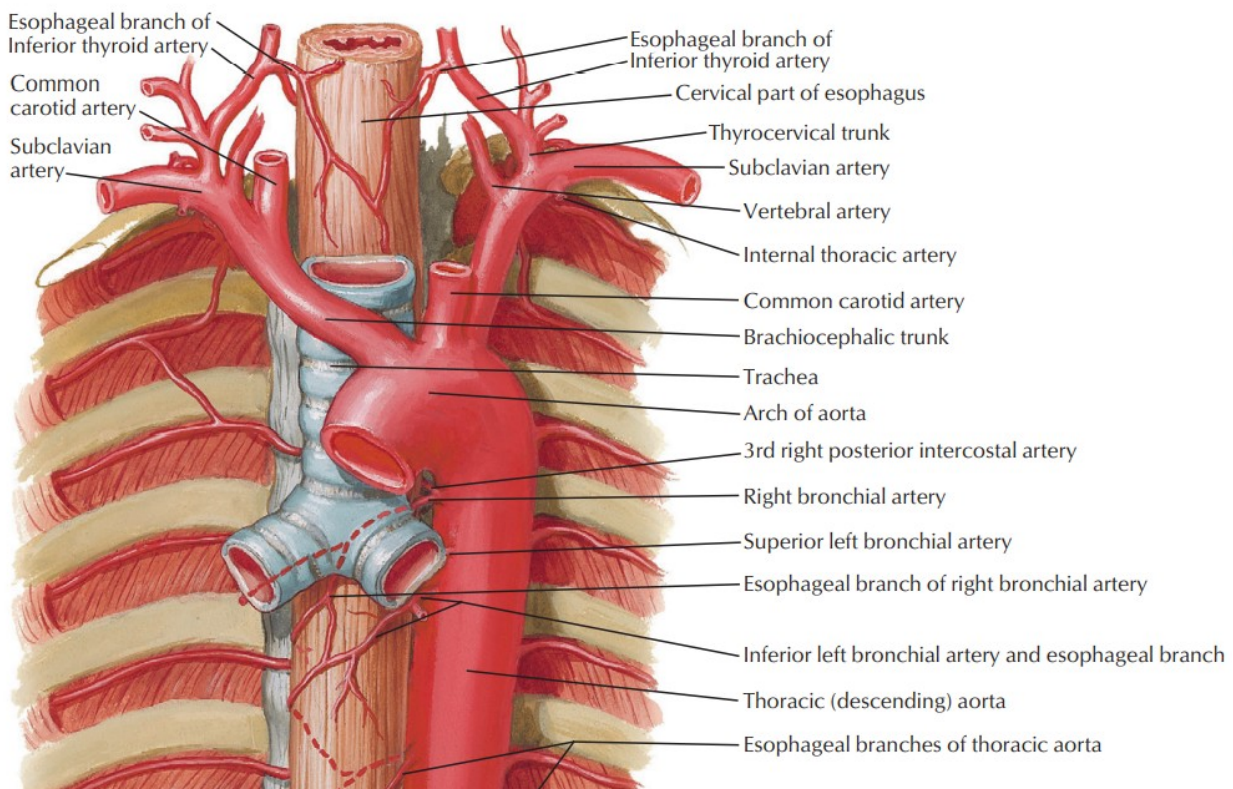
A microscopic image showing a dense network of small, rounded lymphocytes. Interspersed among them are several larger, irregularly shaped vessels, likely lymphatic vessels, which appear darker blue or purple due to staining. The overall texture is granular and cellular.

# Klinická anatomie cév hlavy a krku. Lymfatická drenáž.

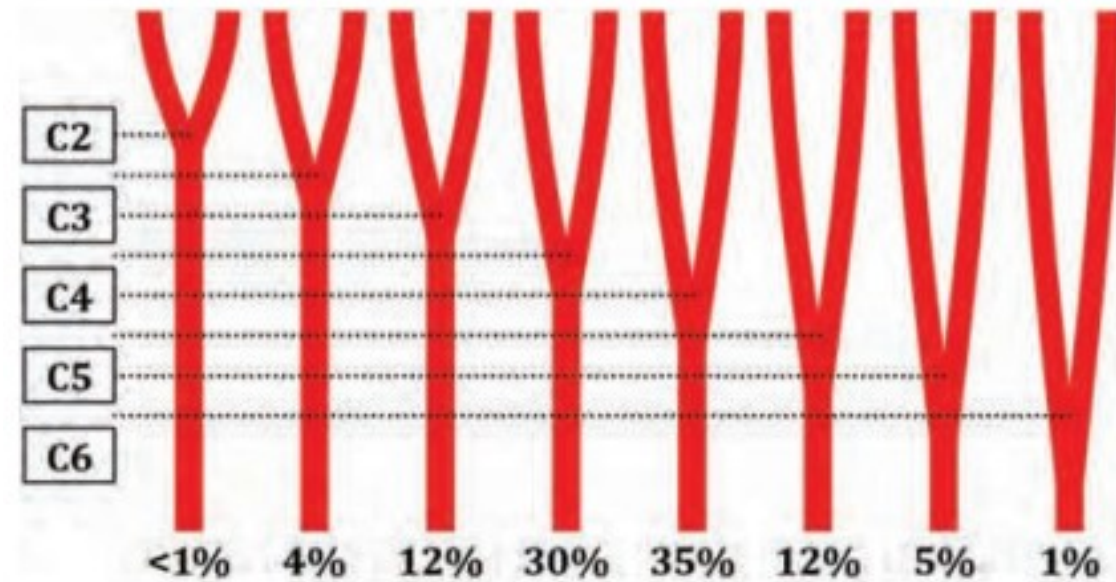
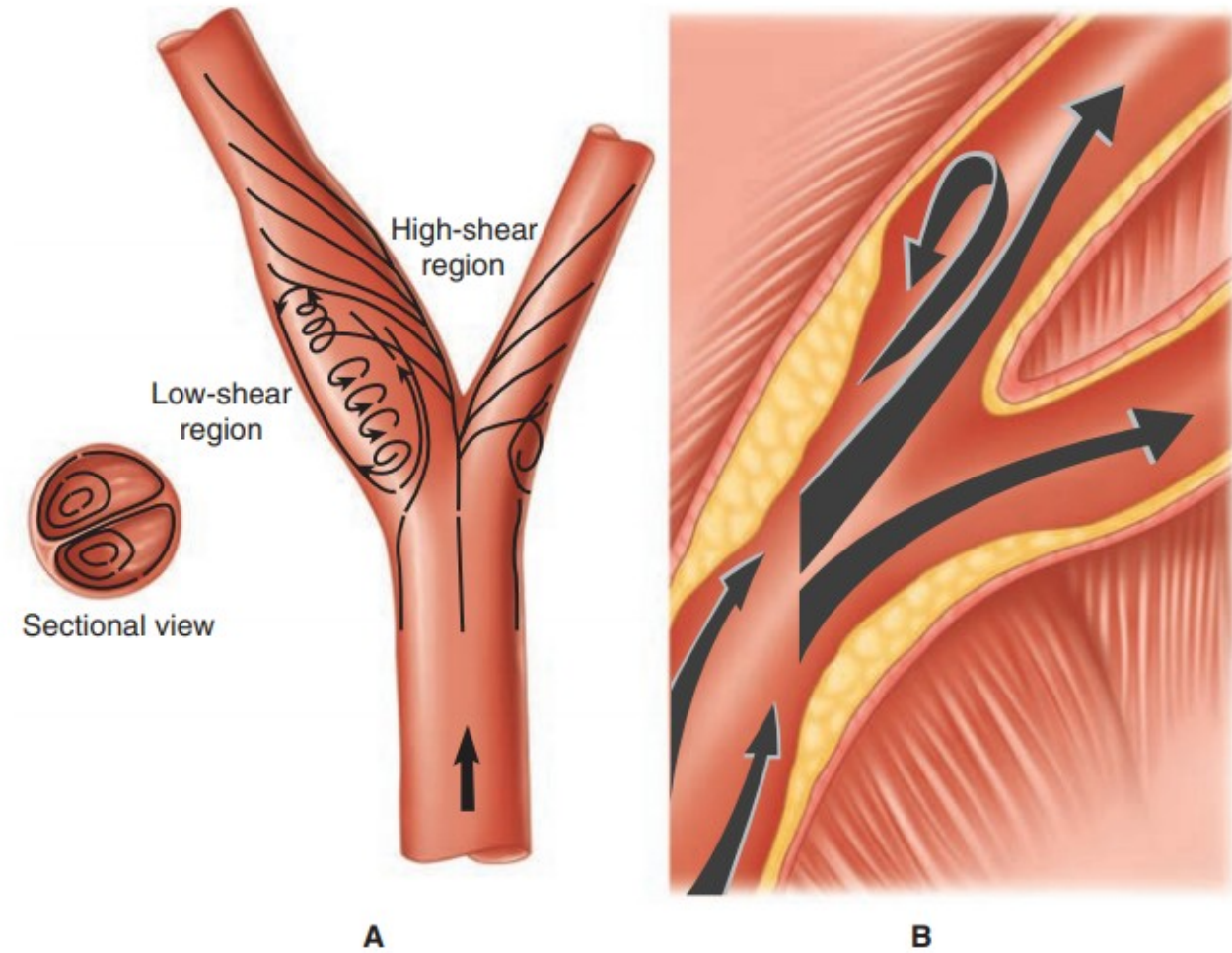
MUDr. Erik Kročka

# ARTERIA CAROTIS COMMUNIS

- hlavní tepna zásobující hlavu a větší část mozku
- nejčastěji odstupuje vpravo z *truncus brachiocephalicus*,  
vlevo z *arcus aortae*
- obvykle nevydává žádné větve

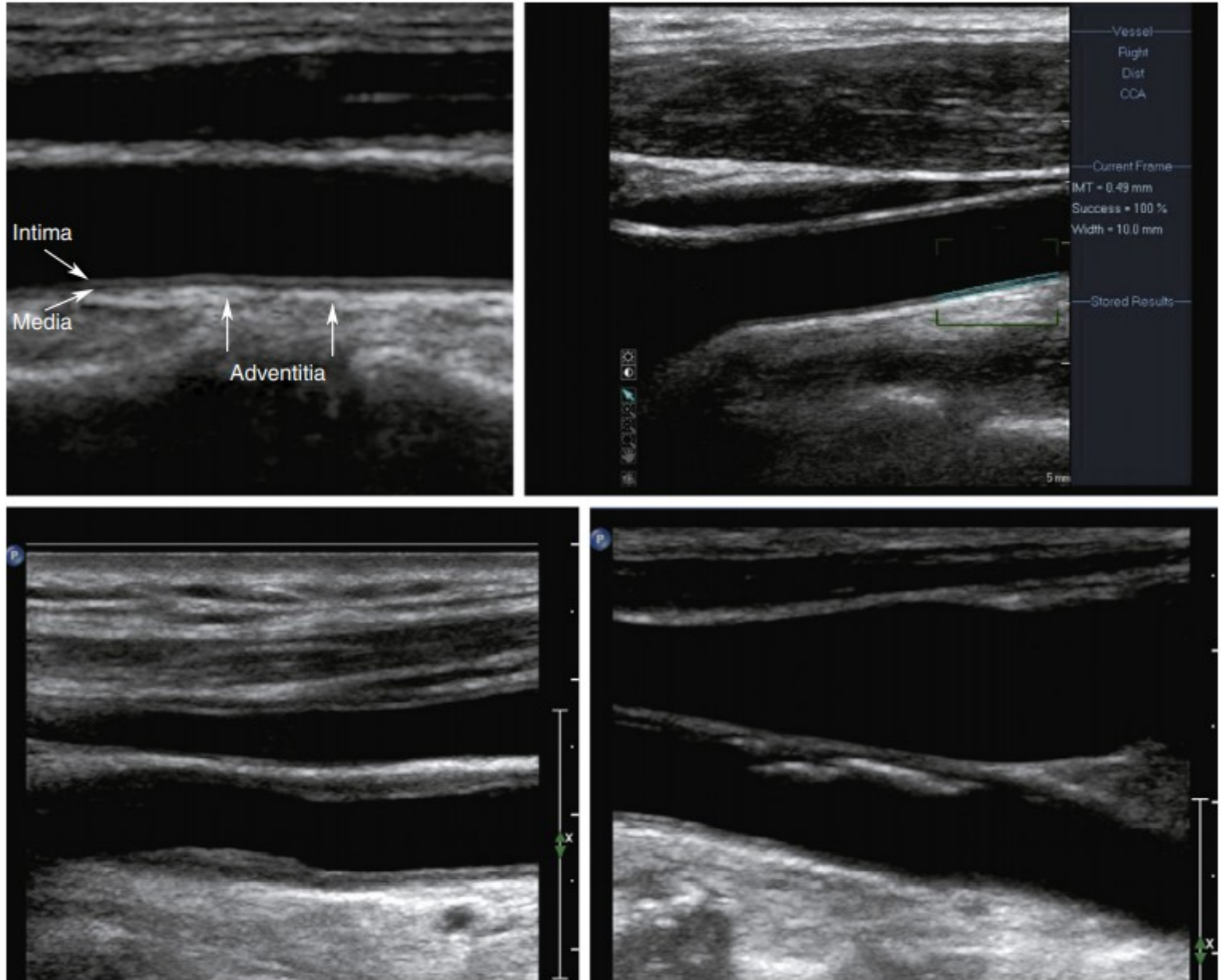
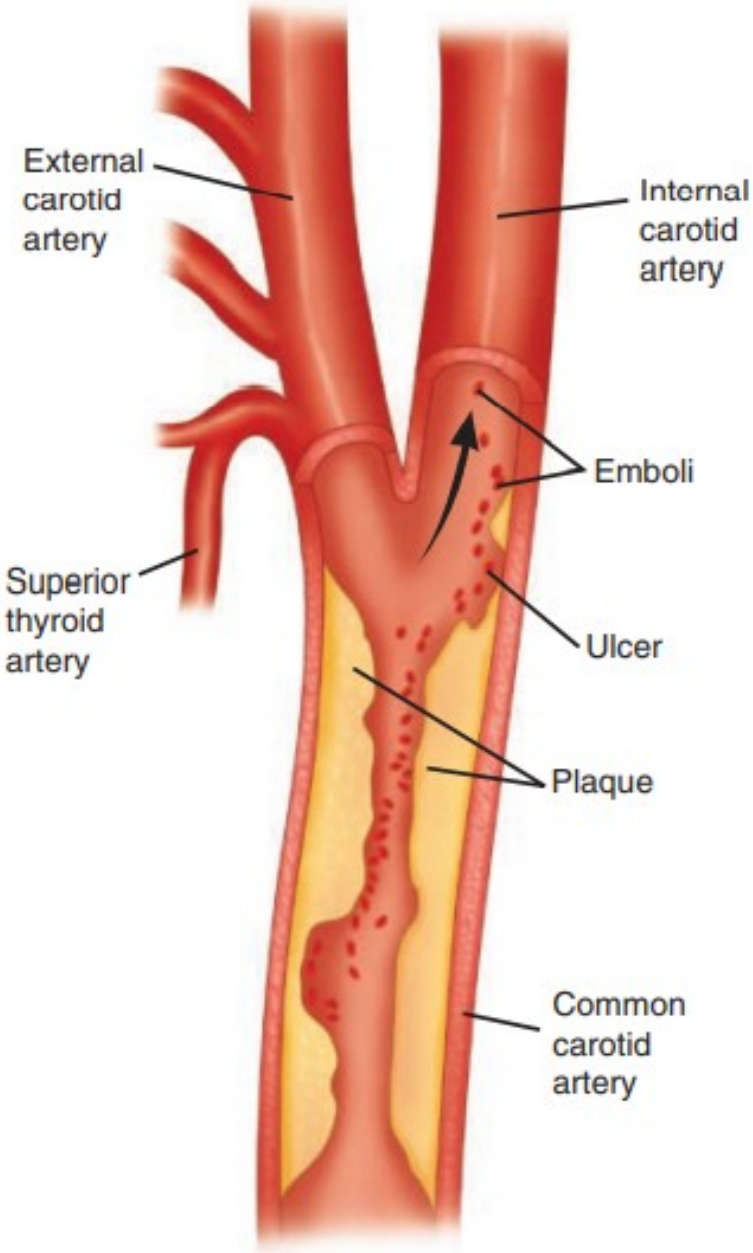


## Bifurkace karotid → predilekční místo vzniku aterosklerózy

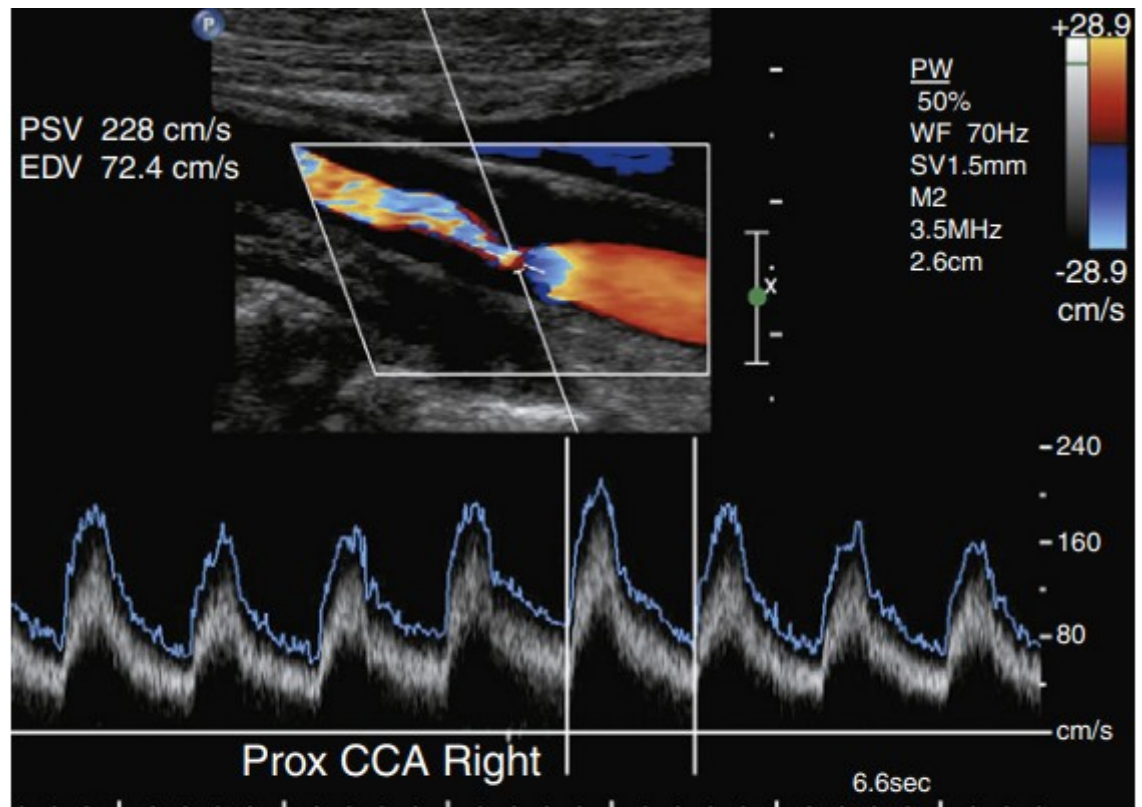


**Figure 47.1** Illustration showing the bifurcation of the common carotid artery.

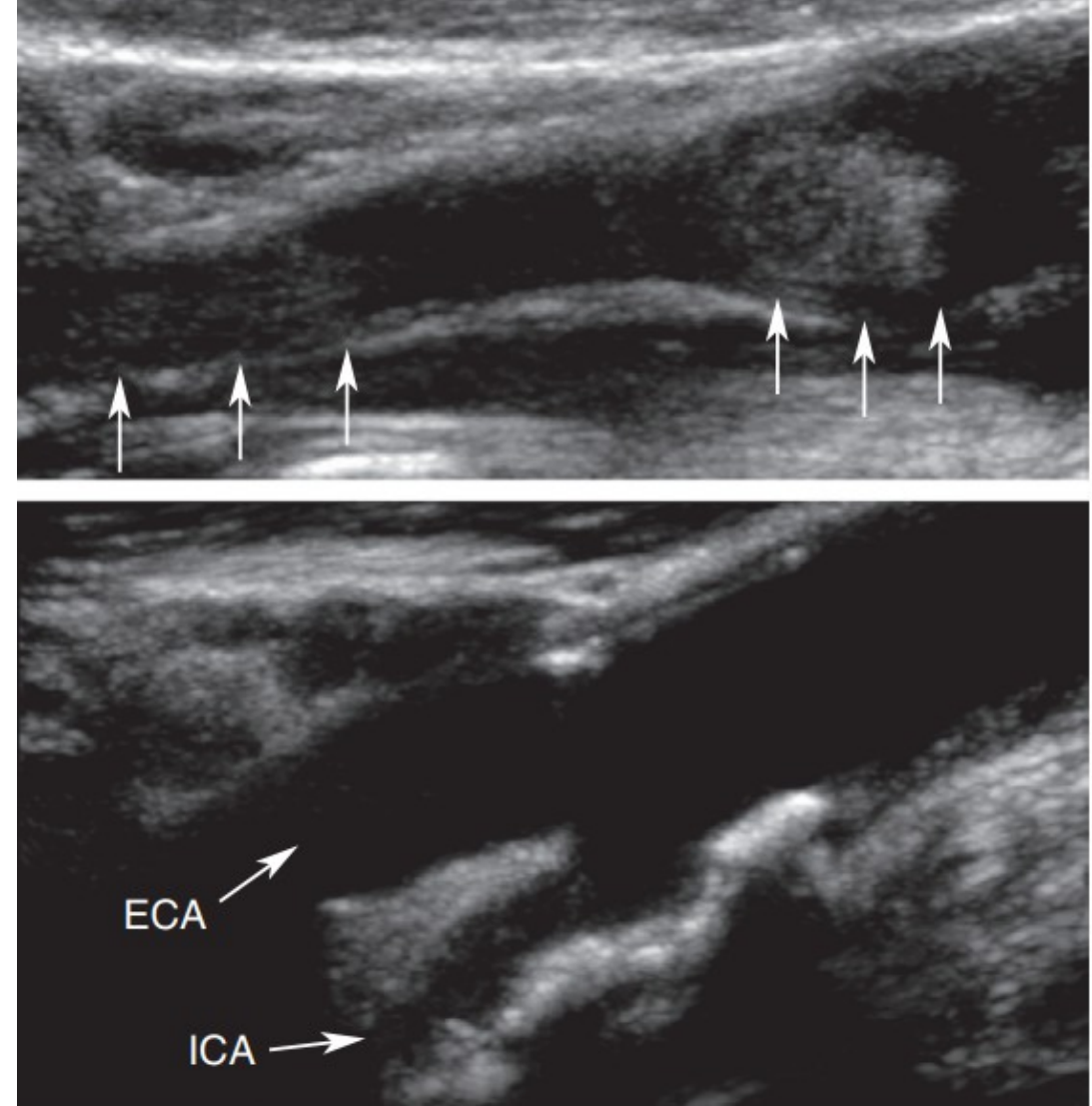
**Figure 23-14.** **A.** The carotid bifurcation is an area of low flow velocity and low shear stress. As the blood circulates through the carotid bifurcation, there is separation of flow into the low-resistance internal carotid artery and the high-resistance external carotid artery. **B.** The carotid atherosclerotic plaque typically forms in the outer wall opposite to the flow divider due in part to the effect of the low shear stress region, which also creates a transient reversal of flow during the cardiac cycle.



**FIGURE 5-2** Normal intima-media thickness (IMT) appearance (top left), IMT measurement example (top right), fatty streak (bottom left), and a homogenous hyperechoic nonstenosing plaque (bottom right).

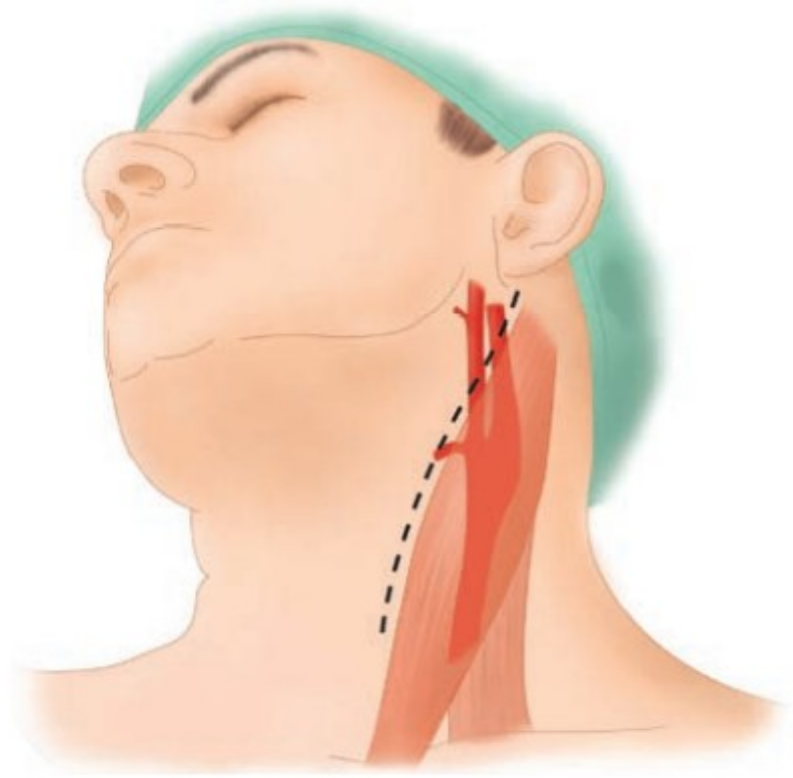


**FIGURE 5-6** Hypoechoic (echolucent) plaque causing a significant internal carotid artery stenosis. Note the Doppler velocity tracing with a narrow spectral window, indicating that the sample site is at the point of maximal narrowing.

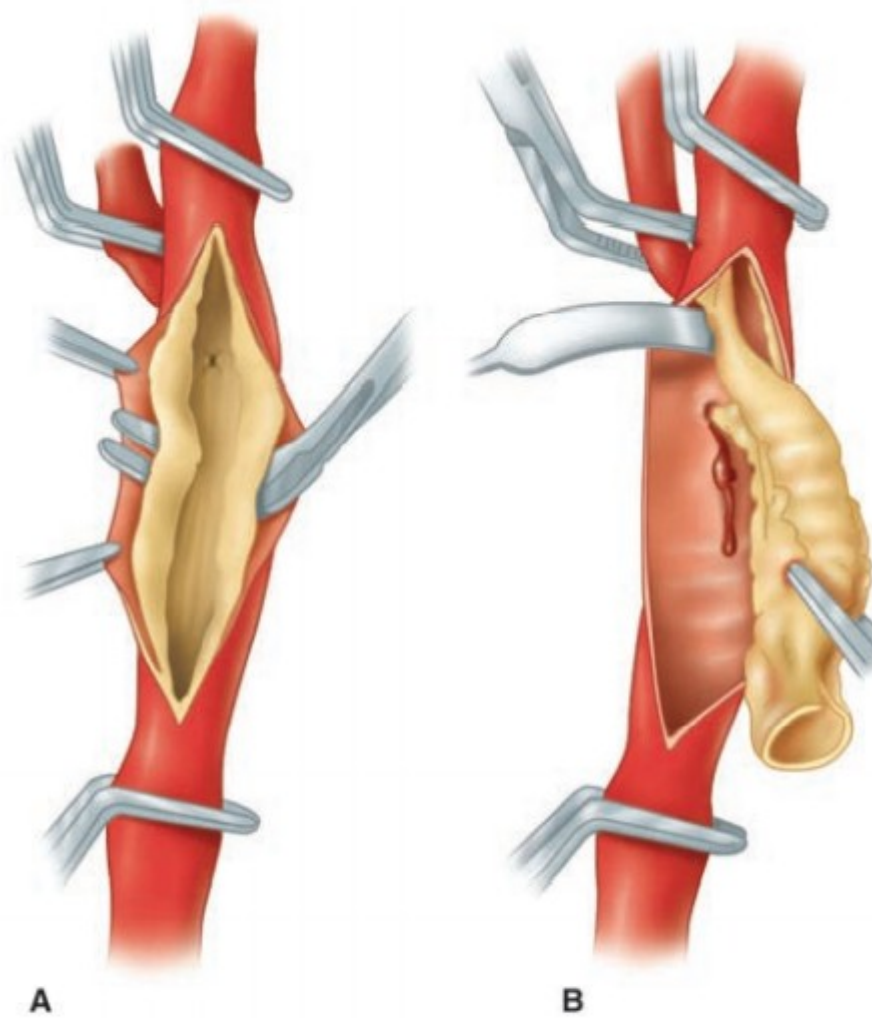


**FIGURE 5-8** Acute (top) thromboembolic internal carotid artery (ICA) occlusion. Note intima-media thickness preservation between mixed echogenic parts of a thrombus (arrows), and normal ICA lumen size. Chronic (bottom) ICA occlusion with vessel collapse and fibrosis. ECA, external carotid artery.

## KAROTICKÁ ENDARTEREKTOVIE



**Figure 23-17.** To perform carotid endarterectomy, the patient's neck is slightly hyperextended and turned to the contralateral side. An oblique incision is made along the anterior border of the sternocleidomastoid muscle centered on top of the carotid bifurcation.



**Figure 23-18.** **A.** During carotid endarterectomy, vascular clamps are applied in the common carotid, external carotid, and internal carotid arteries. Carotid plaque is elevated from the carotid lumen. **B.** Carotid plaque is removed, and the arteriotomy is closed either primarily or with a patch angioplasty.

# **ARTERIA CAROTIS INTERNA**

## Pars petrosa

## *Aa. caroticotympanicae*

## **Pars cavernosa**

## *R. basalis tentorii*

## *R. marginalis tentorii*

## *R. meningeus*

## *Rr. nervorum*

## *R. australis triaeminalis*

## *R. sinus cavernosi*

## *A. hypophysialis inferior*

## Pars cerebralis

## *A. hypophysialis superior*

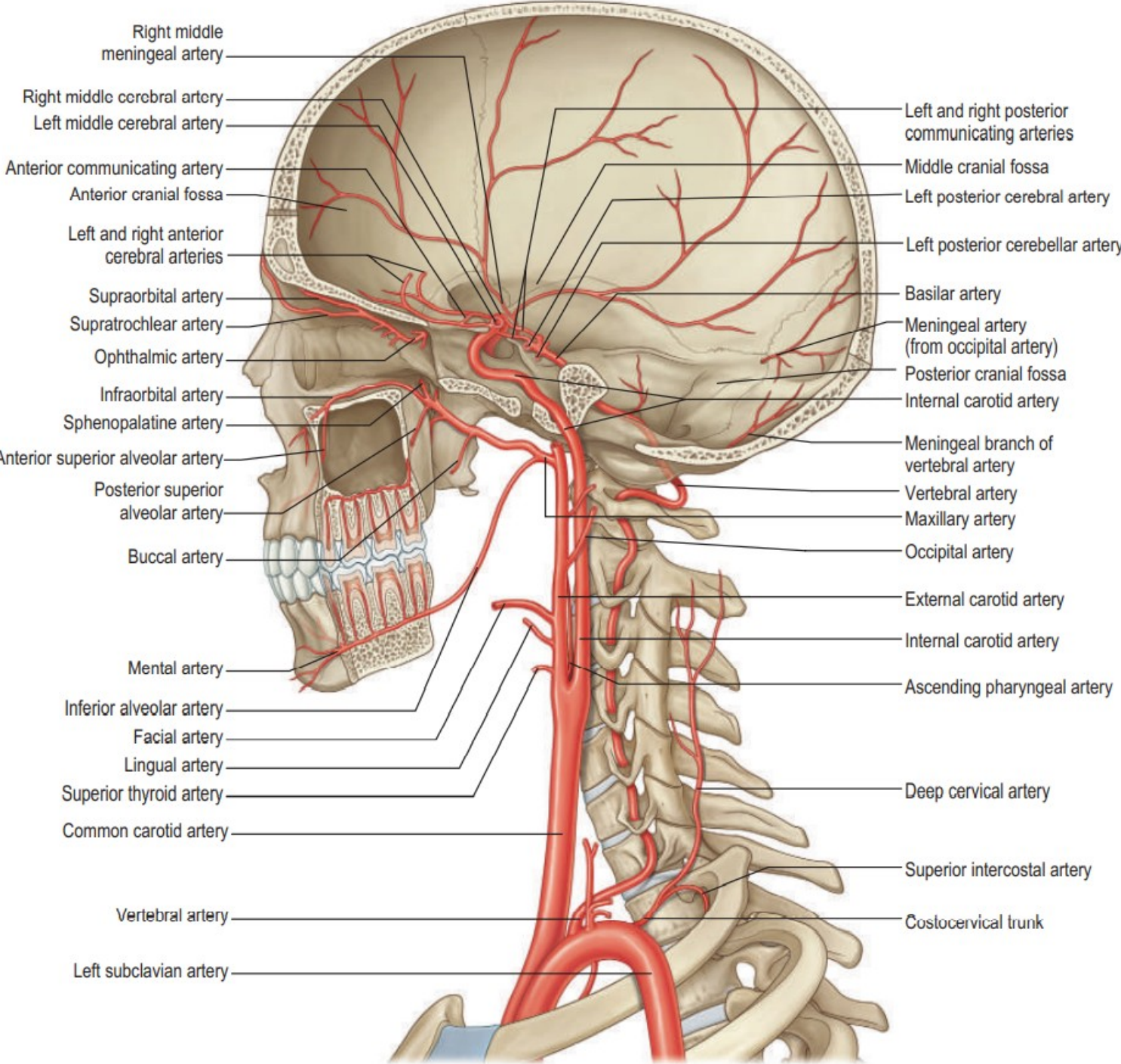
## *A. ophthalmica*

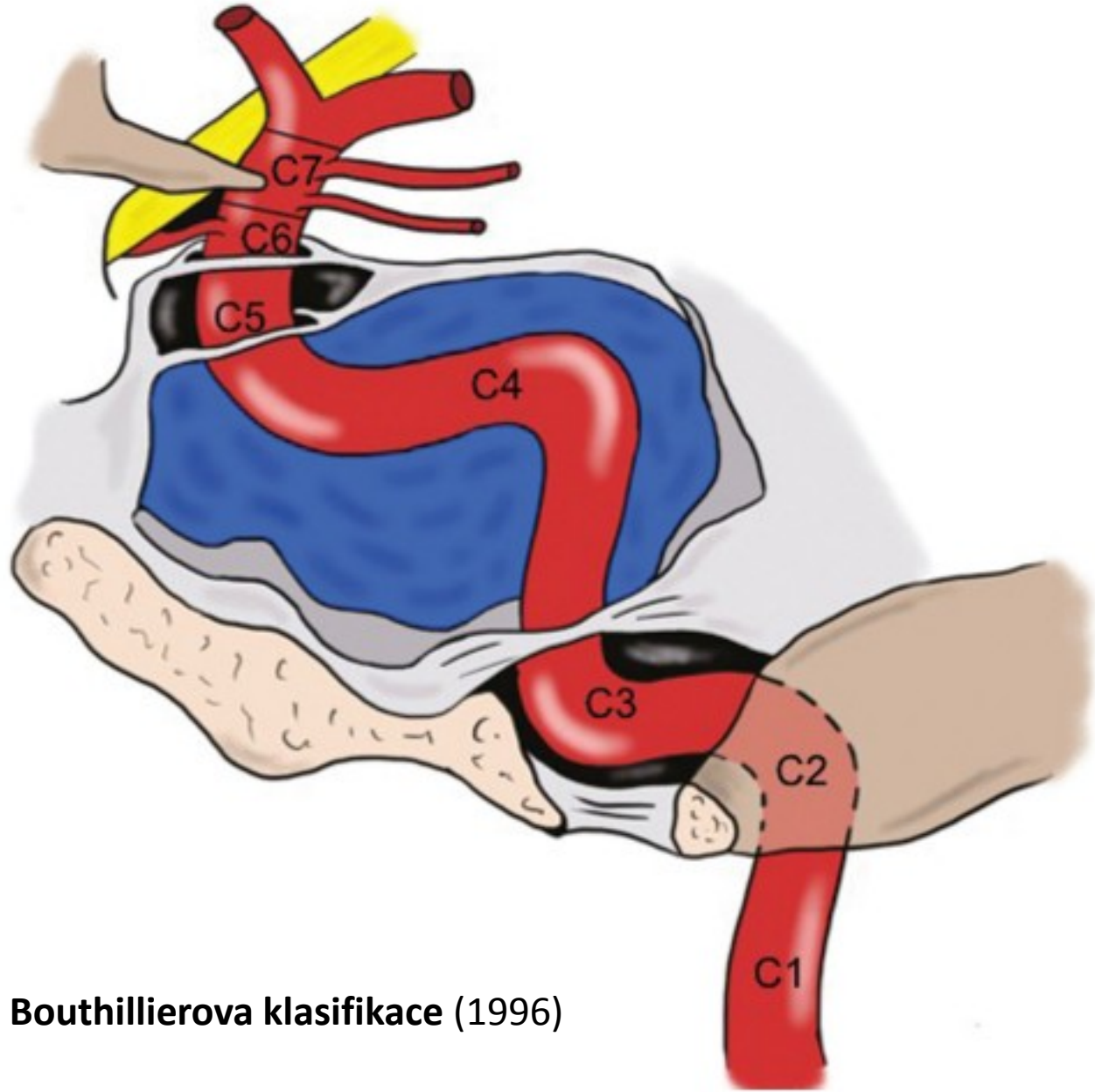
## *A. choroidea anterior*

## *A. cerebri anterior*

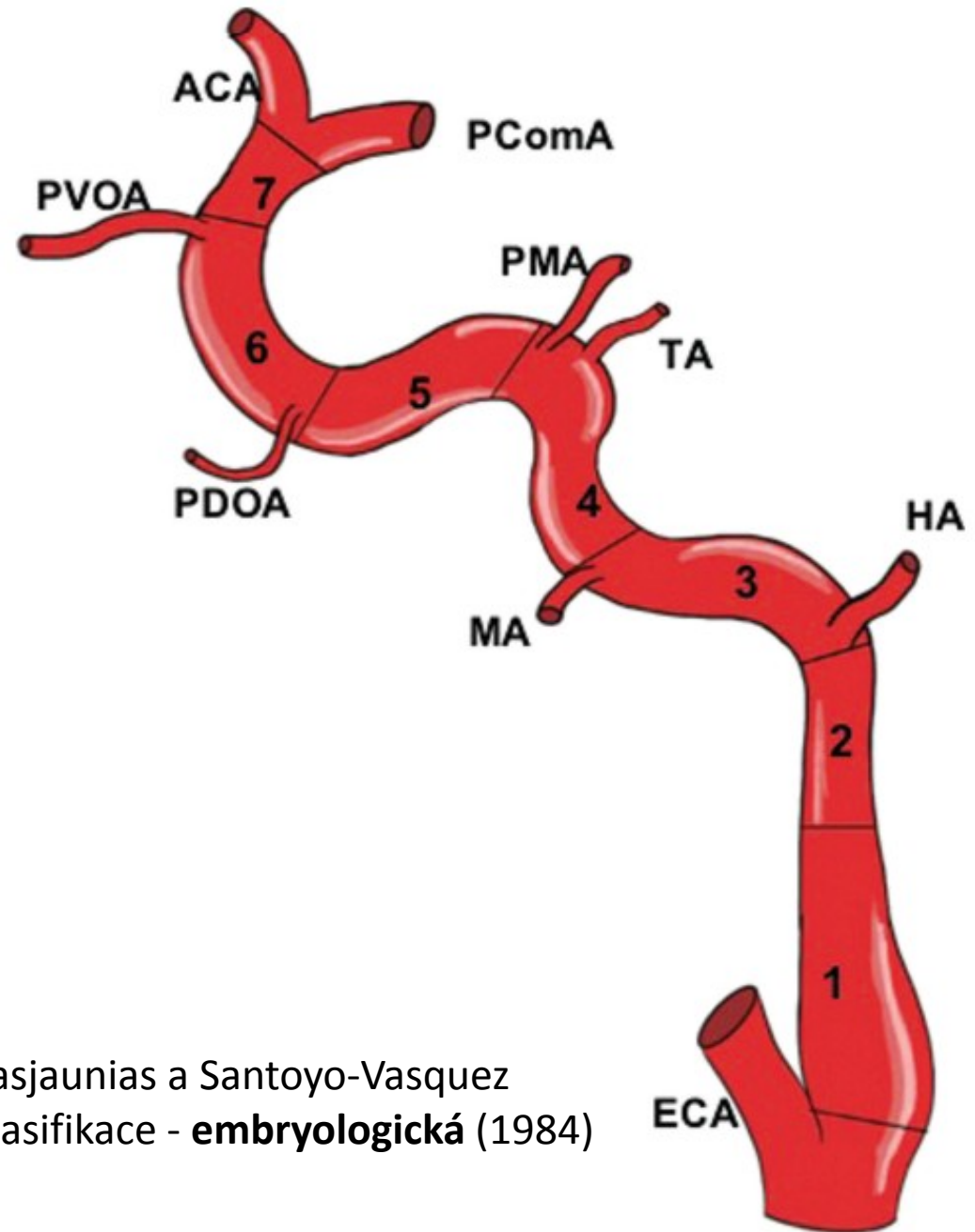
## *A. cerebri media*

## *A. communicans posterior*





Bouthillierova klasifikace (1996)



Lasjaunias a Santoyo-Vasquez  
klasifikace - embryologická (1984)

# Bouthillier

## C1 (*segmentum cervicale*)

- bez větví

## C2 (*segmentum petrosus*)

- *aa. caroticotympanicae*
- *a. canalis pterygoidei*

## C3 (*segmentum lacerum*)

- bez větví (ev. *a. canalis pterygoidei*)

## C4 (*segmentum cavernosum*)

- *arteria meningohypophysialis*
- *truncus inferolateralis*
- *aa. capsulares*

## C5 (*segmentum clinoidale*)

- bez větví

## C6 (*segmentum ophthalmicum*)

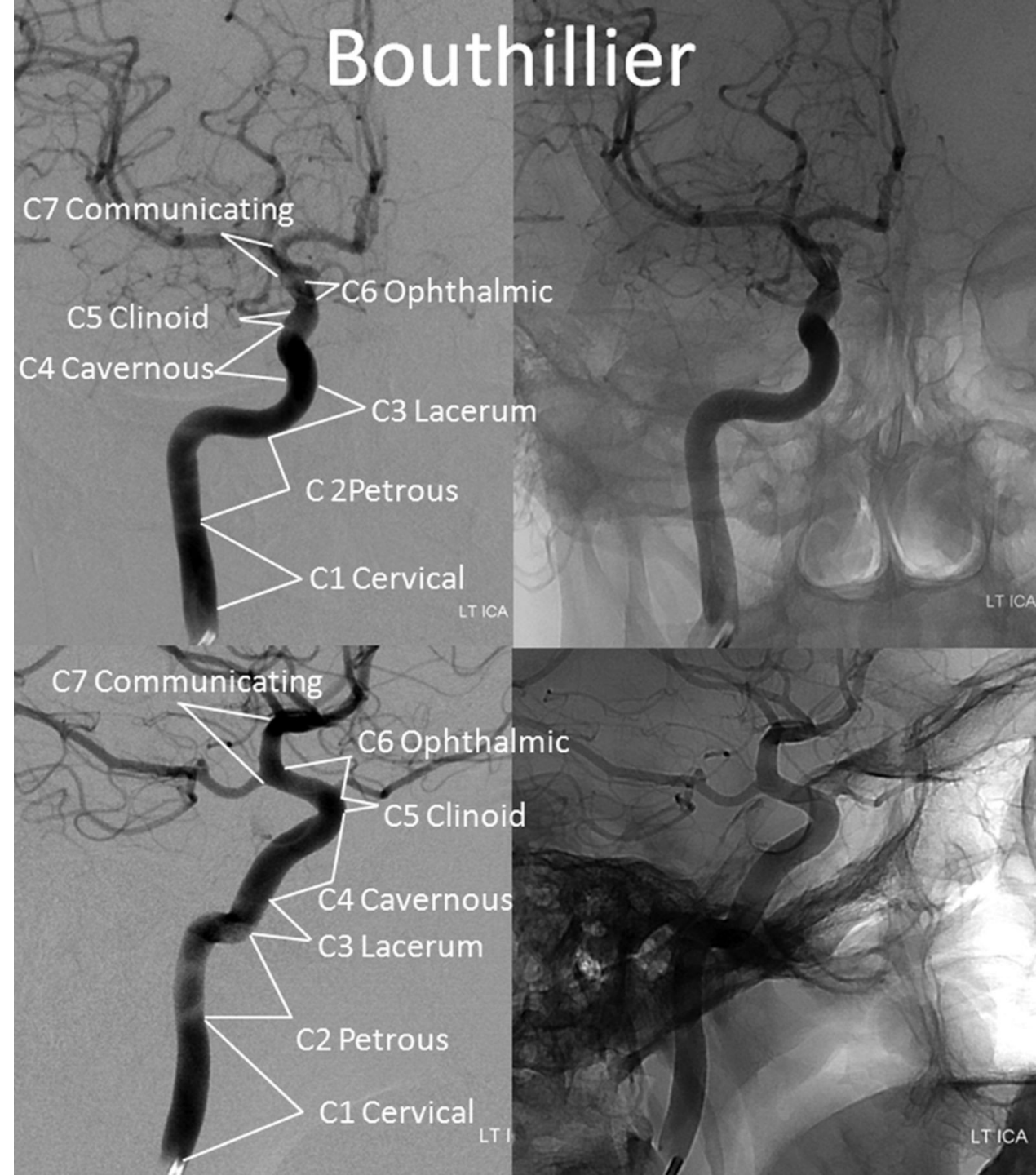
- *arteria ophthalmica*
- *arteria hypophysialis superior*

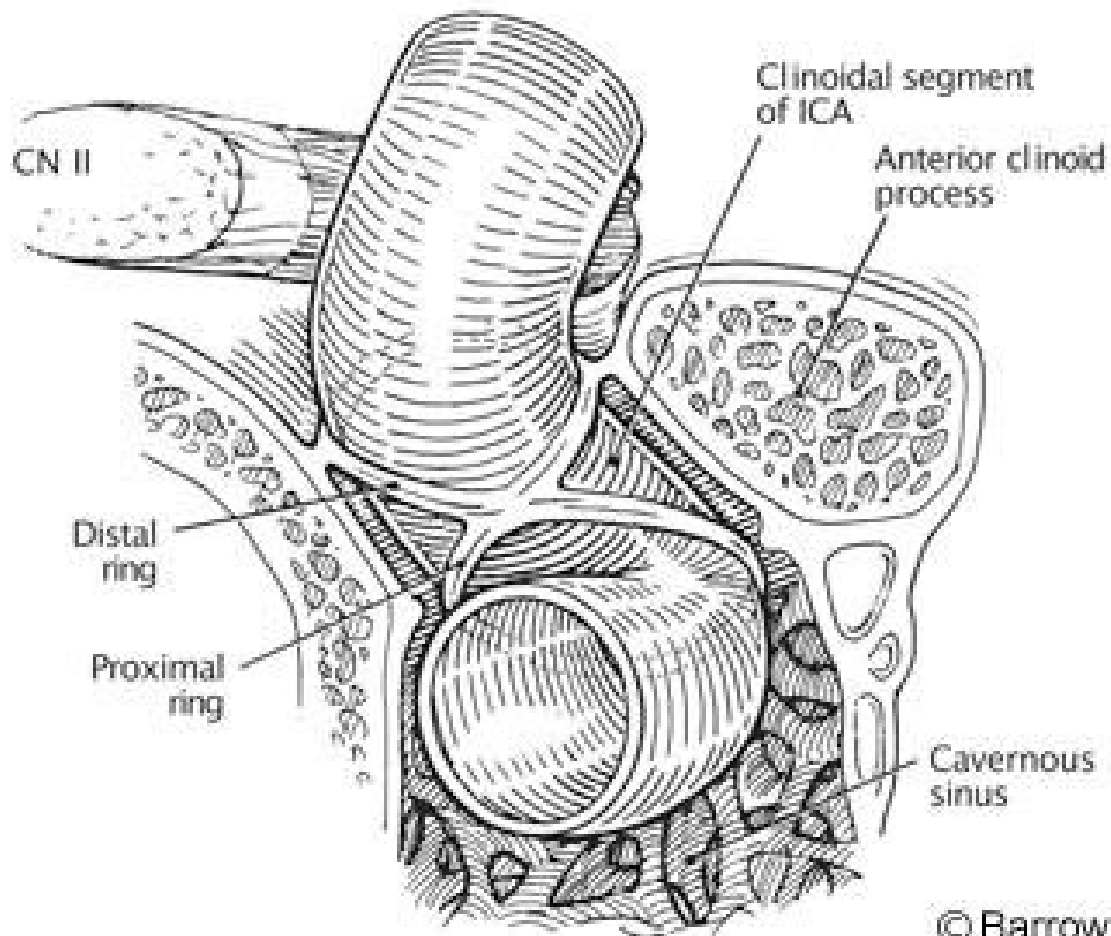
## C7 (*segmentum communicans*)

- *arteria choroidea anterior*
- *arteria communicans posterior*

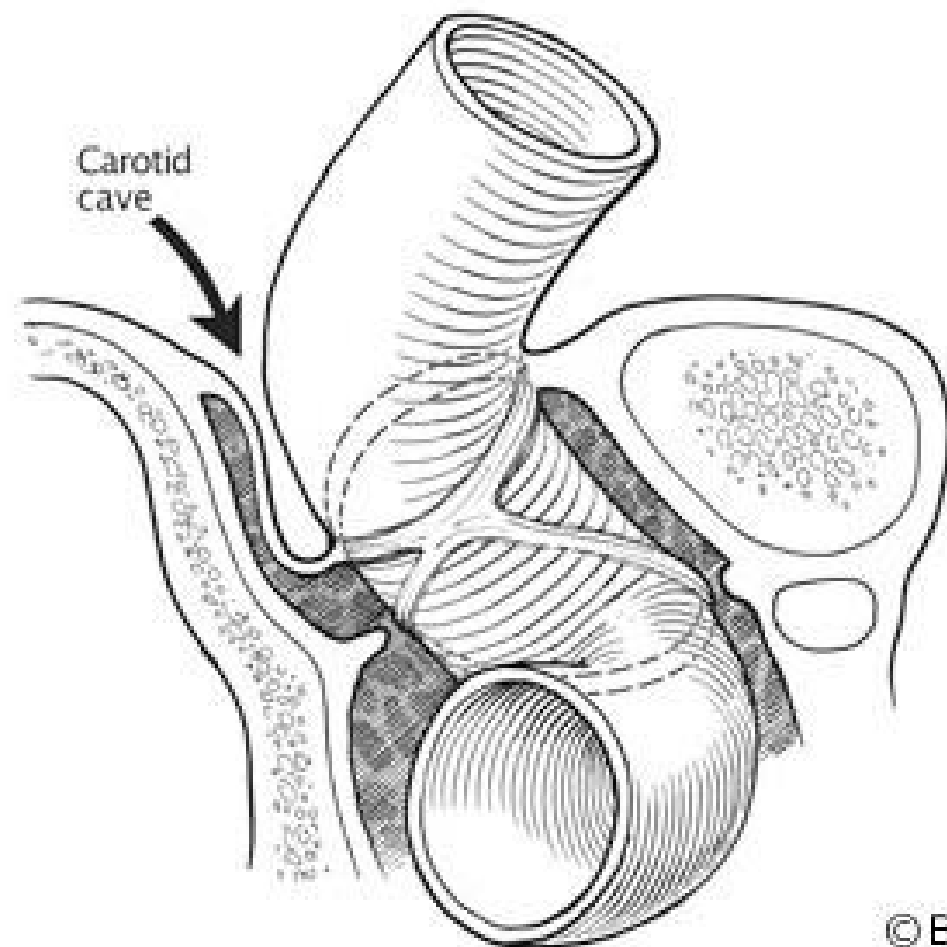
extradurálně

subdurálně





© Barrow



© Barrow

## Aneurysmata C5 segmentu

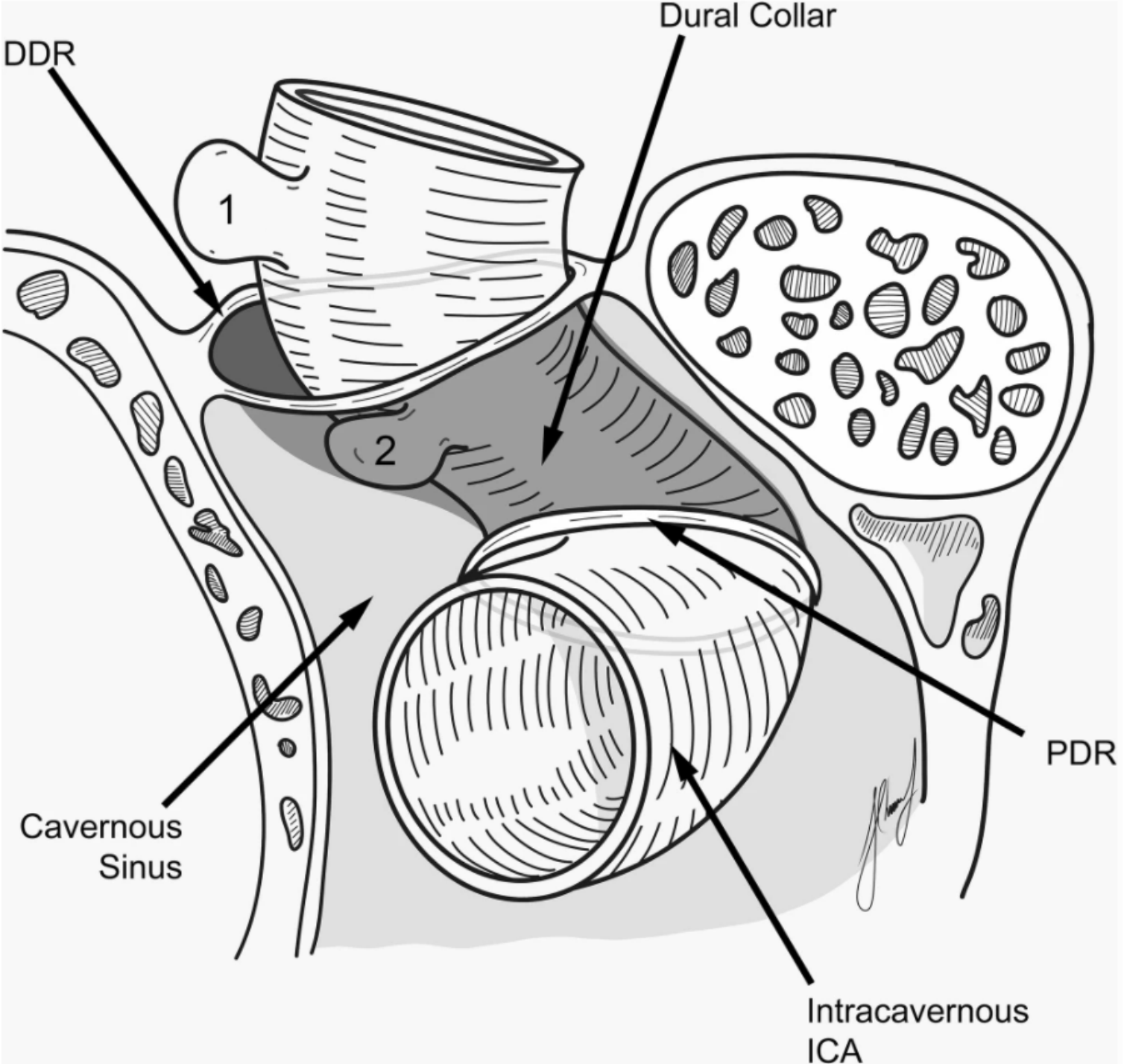
Intradurální aneurysmata: nad DDR

- riziko subarachnoidálního krvácení (SAH)

Extradurální aneurysmata: pod DDR



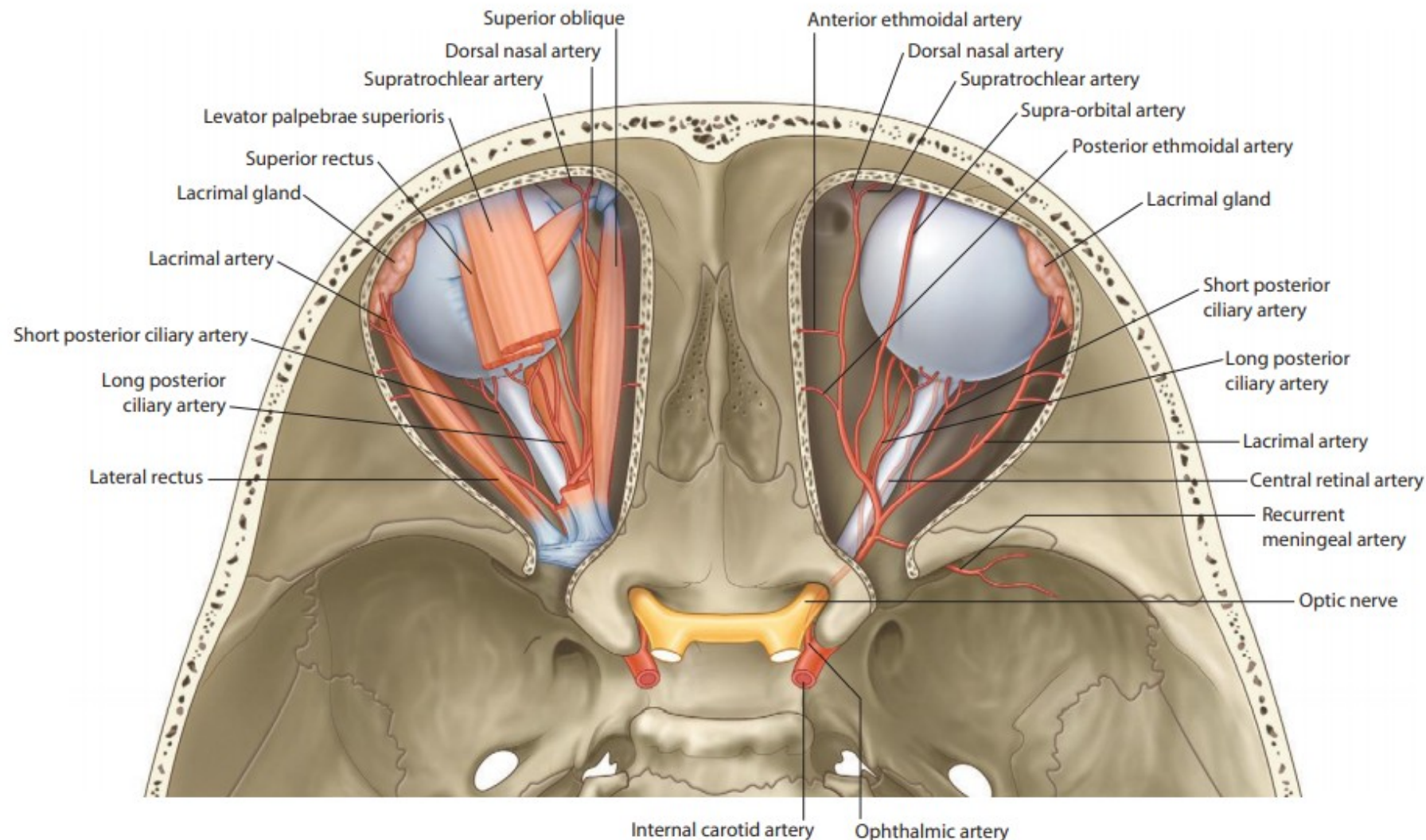
**KONVENČNÍ HRANICE**  
(existence „Carotid cave“!)

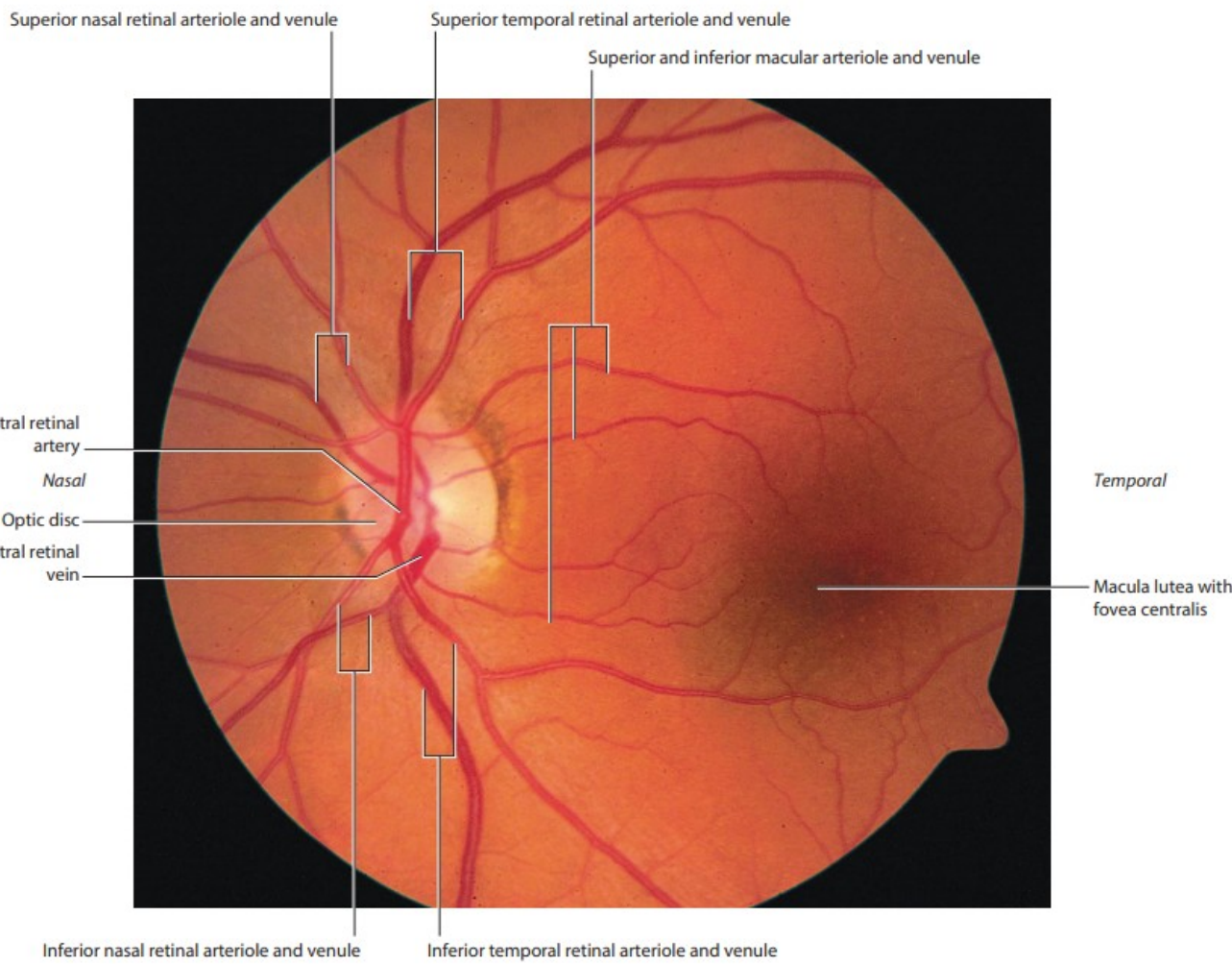
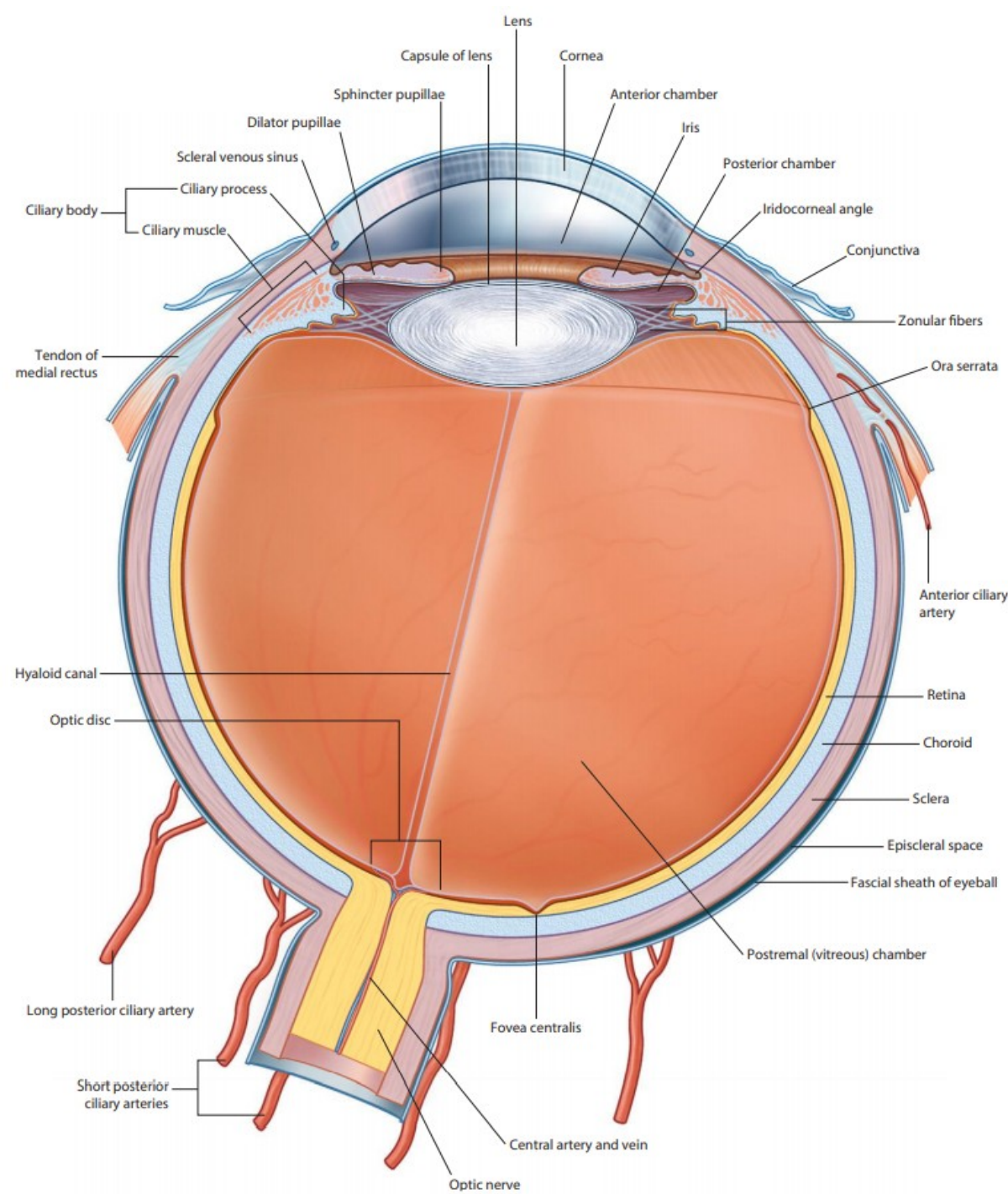


# CÉVNÍ ZÁSOBENÍ OČNICE

## Arteria ophthalmica

- *a. centralis retinae*
- *a. lacrimalis*
  - *aa. ciliares anteriores*
  - *rr. palpebrales laterales*
- *aa. ciliares posteriores breves*
- *aa. ciliares posteriores longae*
- *aa. ciliares anteriores*
- *aa. musculares*
- *a. supraorbitalis*
- *a. ethmoidalis posterior*
- *a. ethmoidalis anterior*
  - *r. menigeus anterior*
- *aa. palpebrales mediales*
- *a. supratrochlearis*
- *a. dorsalis nasi*





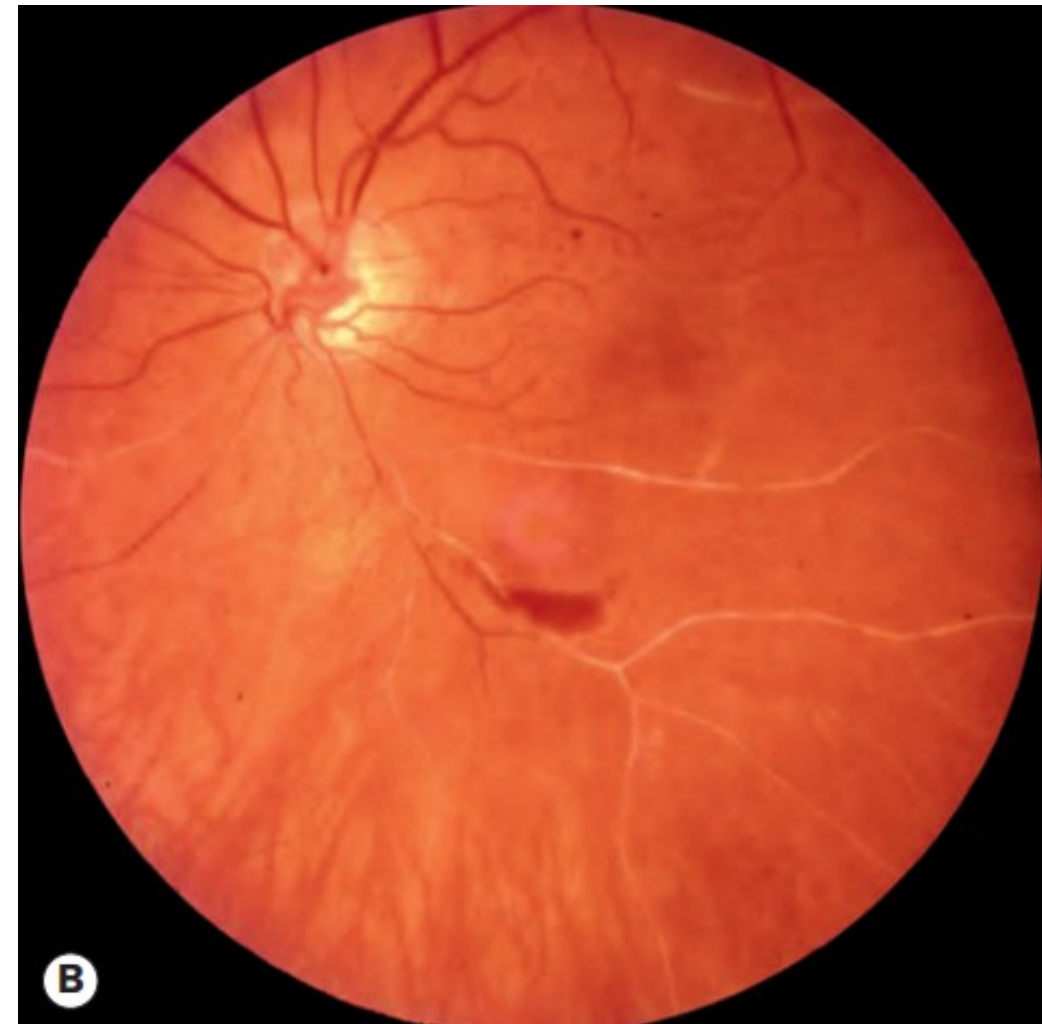


**FIG. 36.12** Keratoconjunctivitis sicca.



**FIG. 36.3** Chronic uveitis in a patient with oligoarticular juvenile idiopathic arthritis: "white eye" uveitis.

## OKLUZE VĚTVÍ A. CENTRALIS RETINEAE



# ARTERIA VERTEBRALIS

## Krční větve

*Rr. spinales*

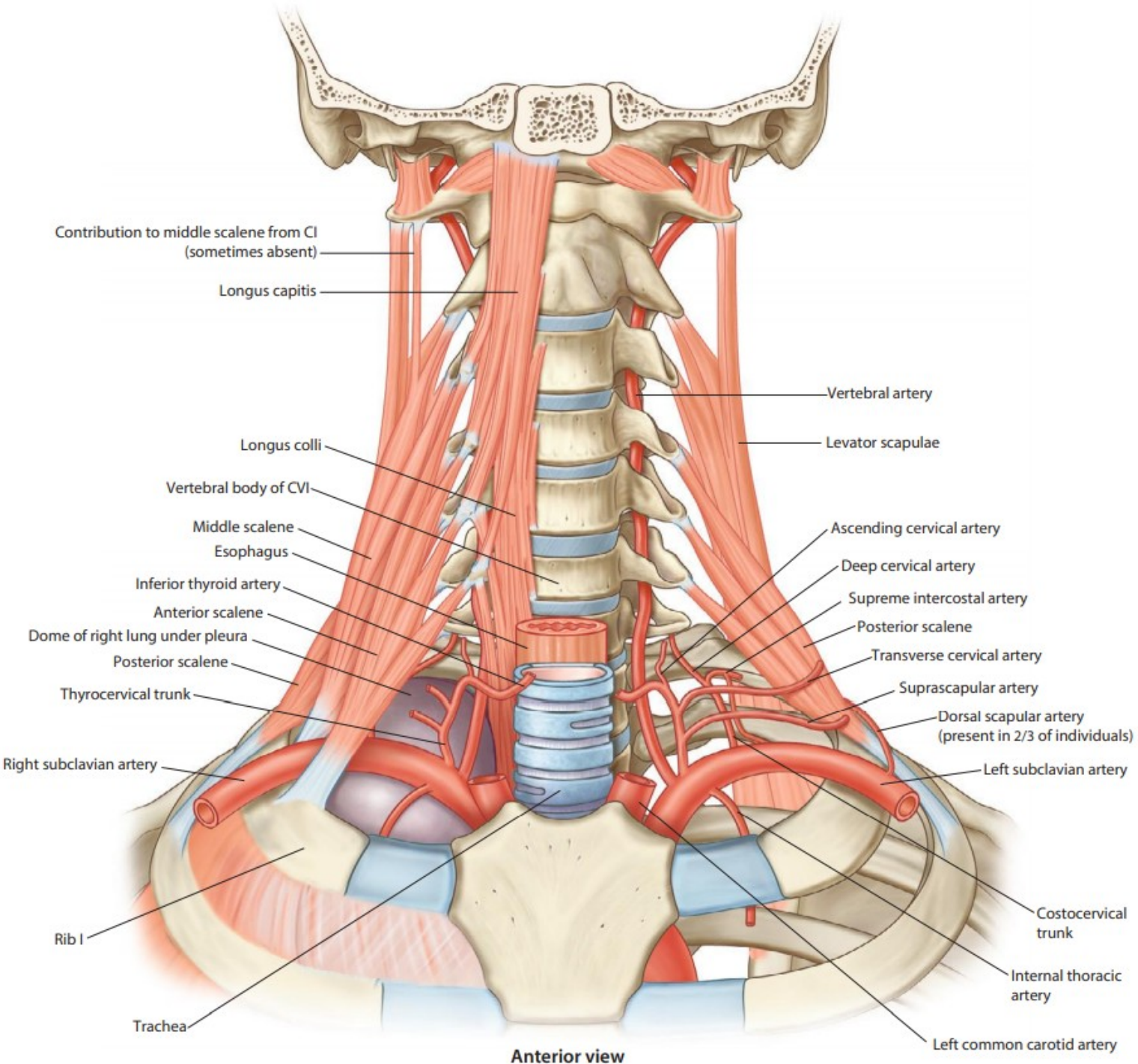
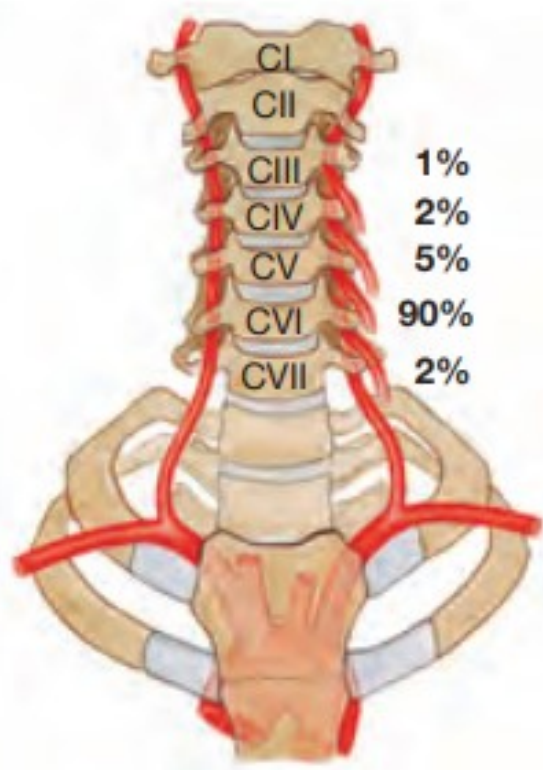
*Rr. musculares*

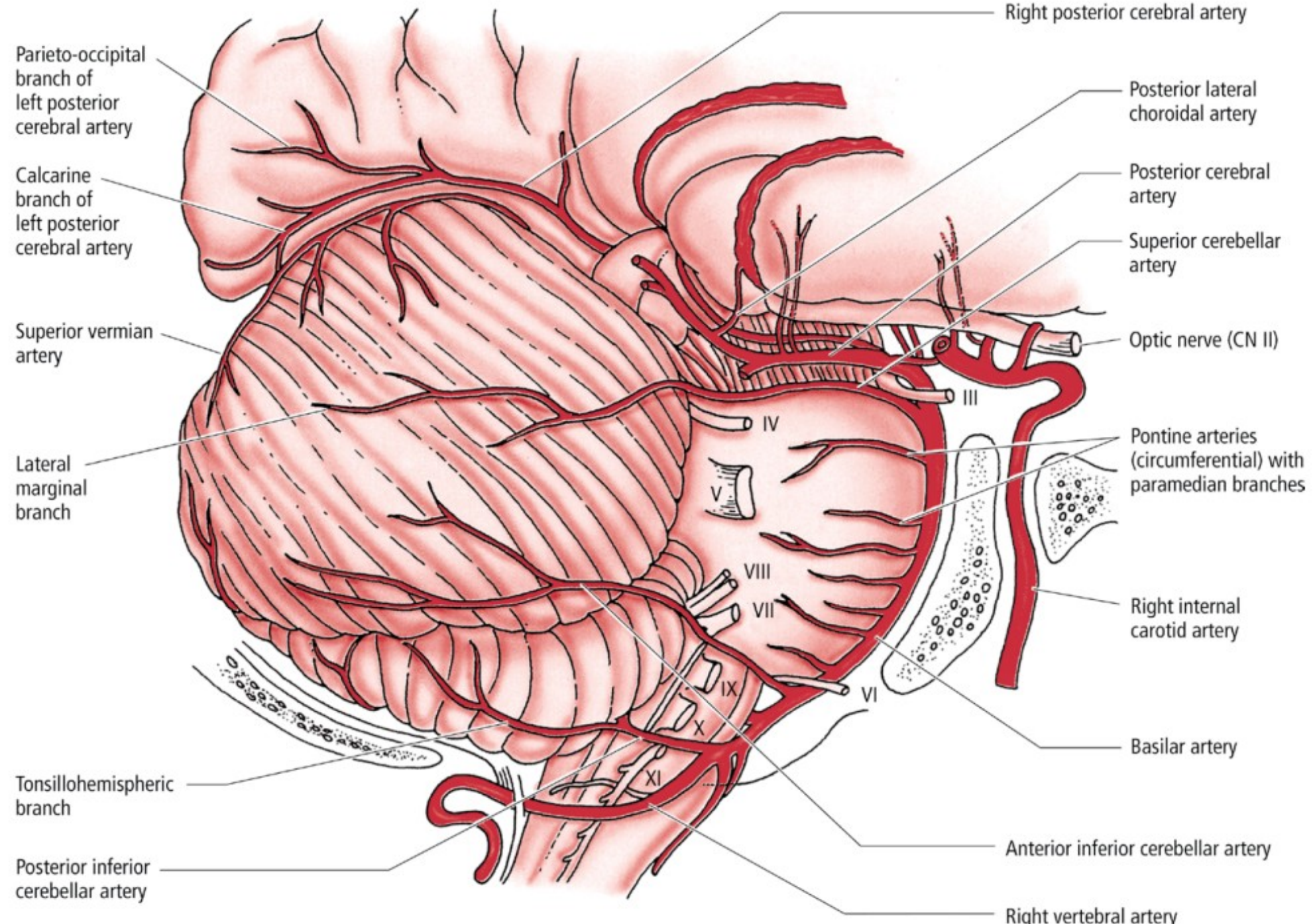
*R. meningeus*

## Lebeční větve

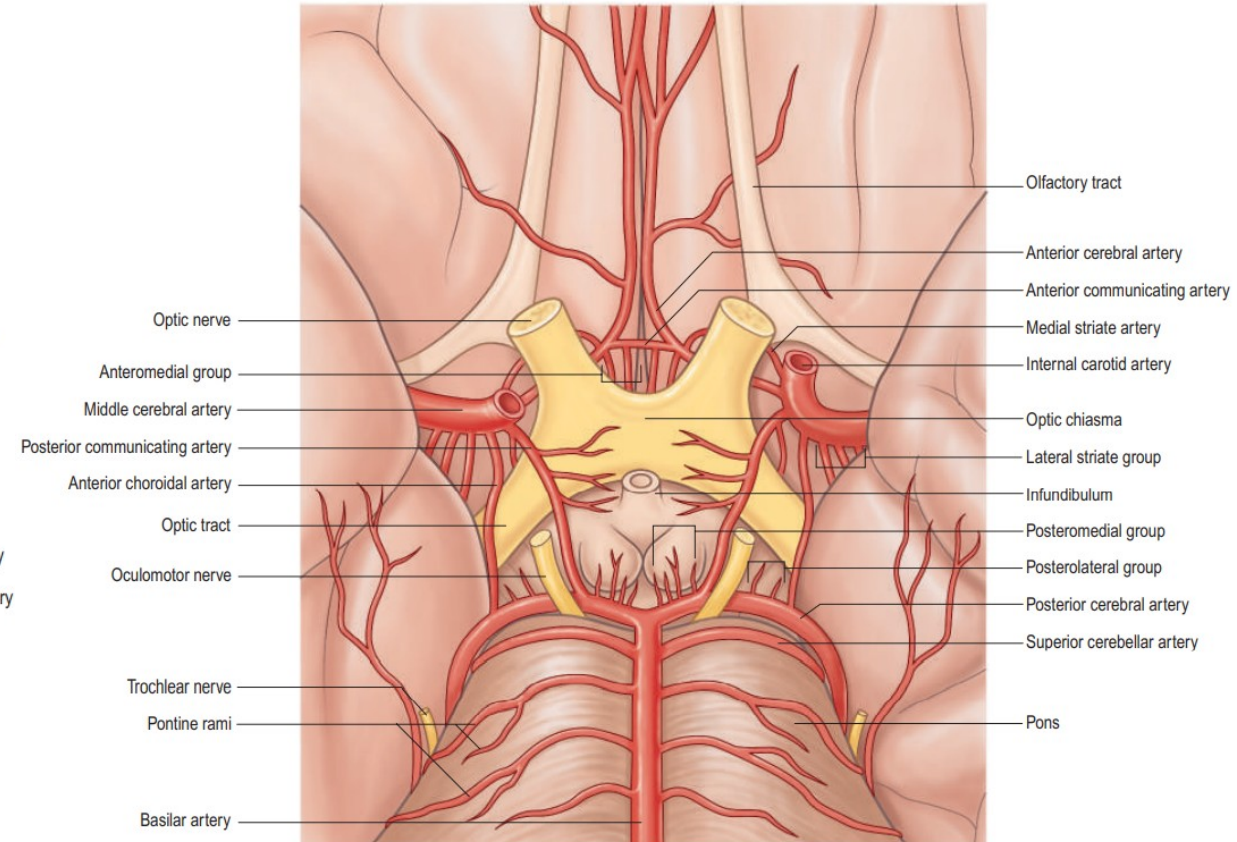
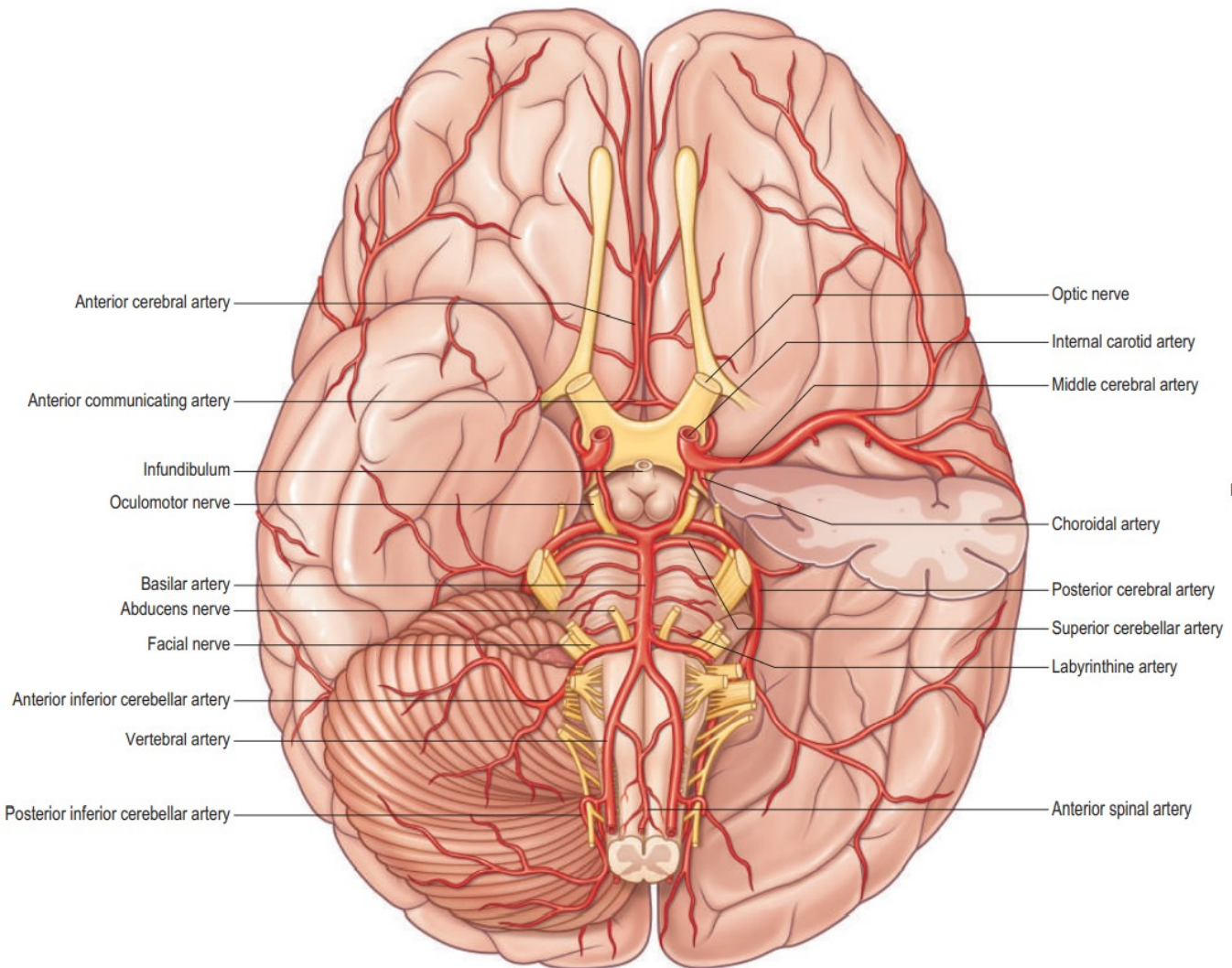
*A. basilaris*

*Aa. cerebri posteriores*





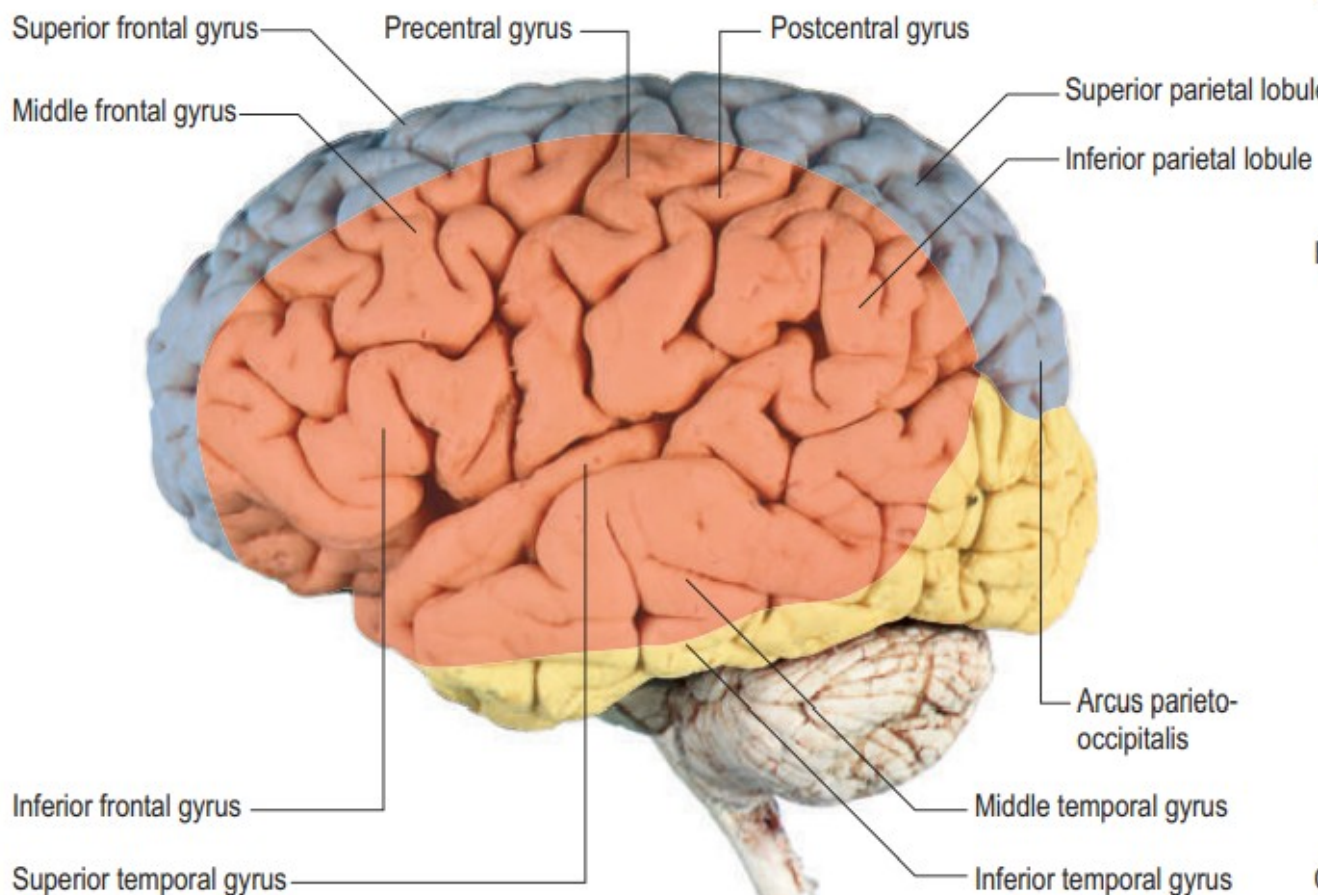
# CIRCULUS ARTERIOSUS CEREBRI WILLISI



# ARTERIÁLNÍ ZÁSOBENÍ MOZKU

Přední 2/3 → *a. carotis interna*

A



B

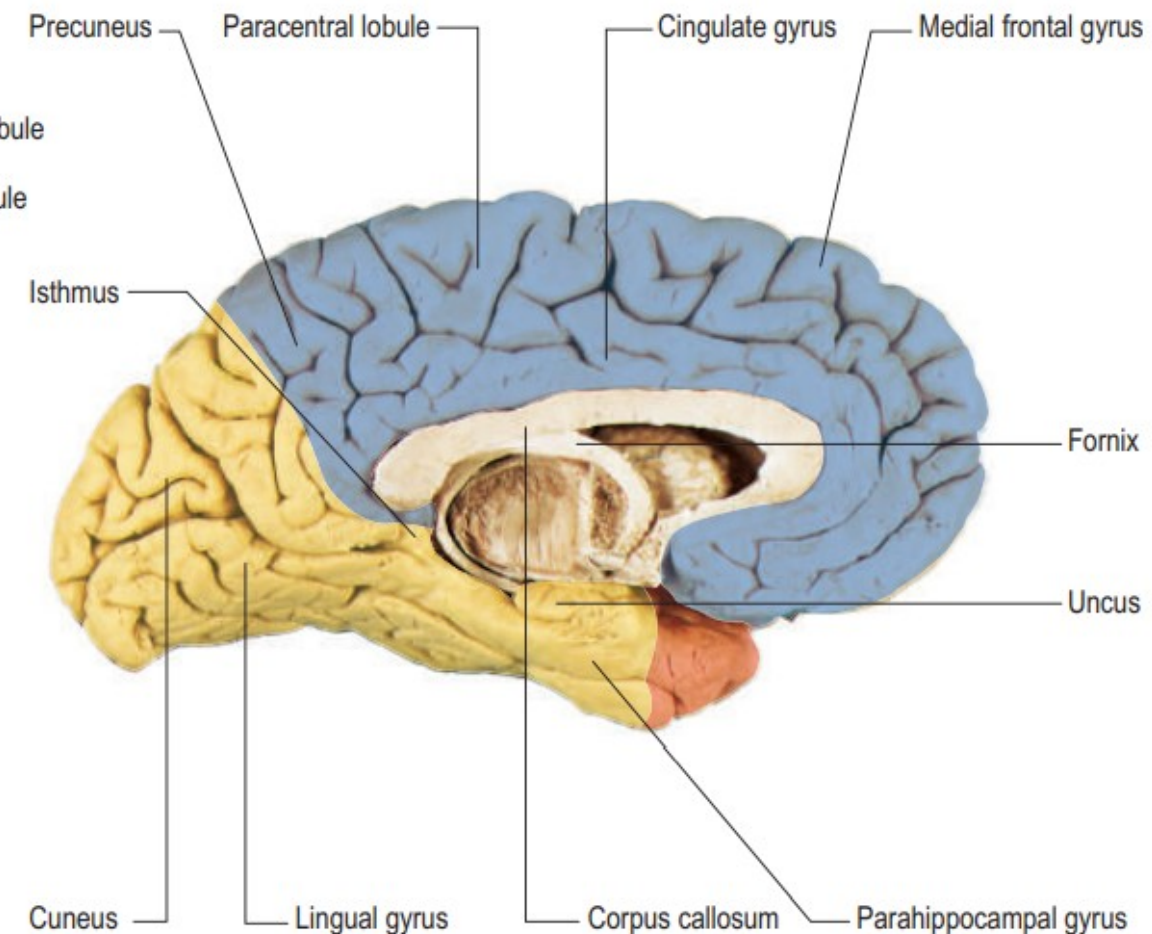


Fig. 19.5 The arteries supplying the left cerebral hemispheres. **A**, Lateral surface. **B**, Medial surface.

Area supplied by anterior cerebral artery

Area supplied by middle cerebral artery

Area supplied by posterior cerebral artery

## ANEURYSMA WILLISOVA OKRUHU

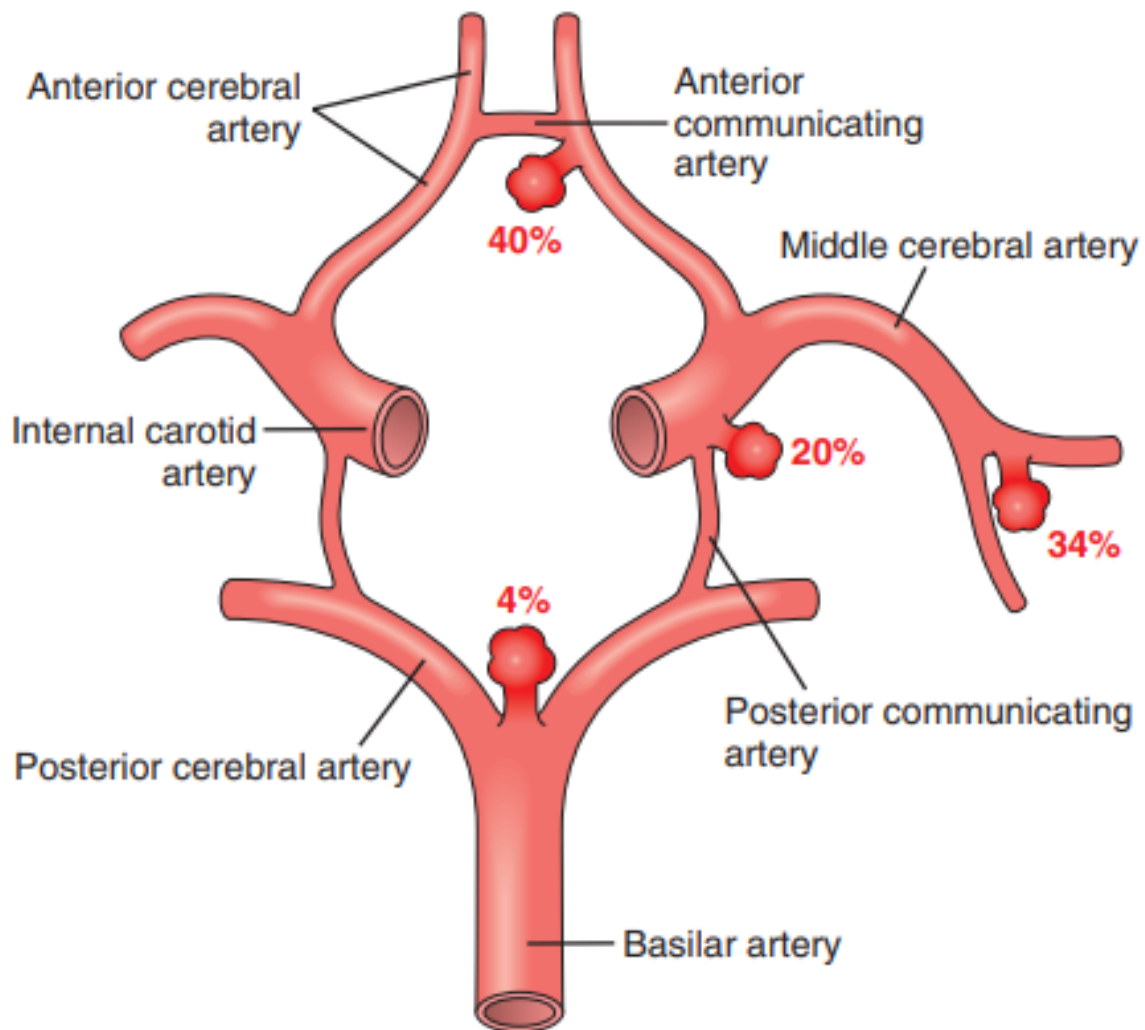
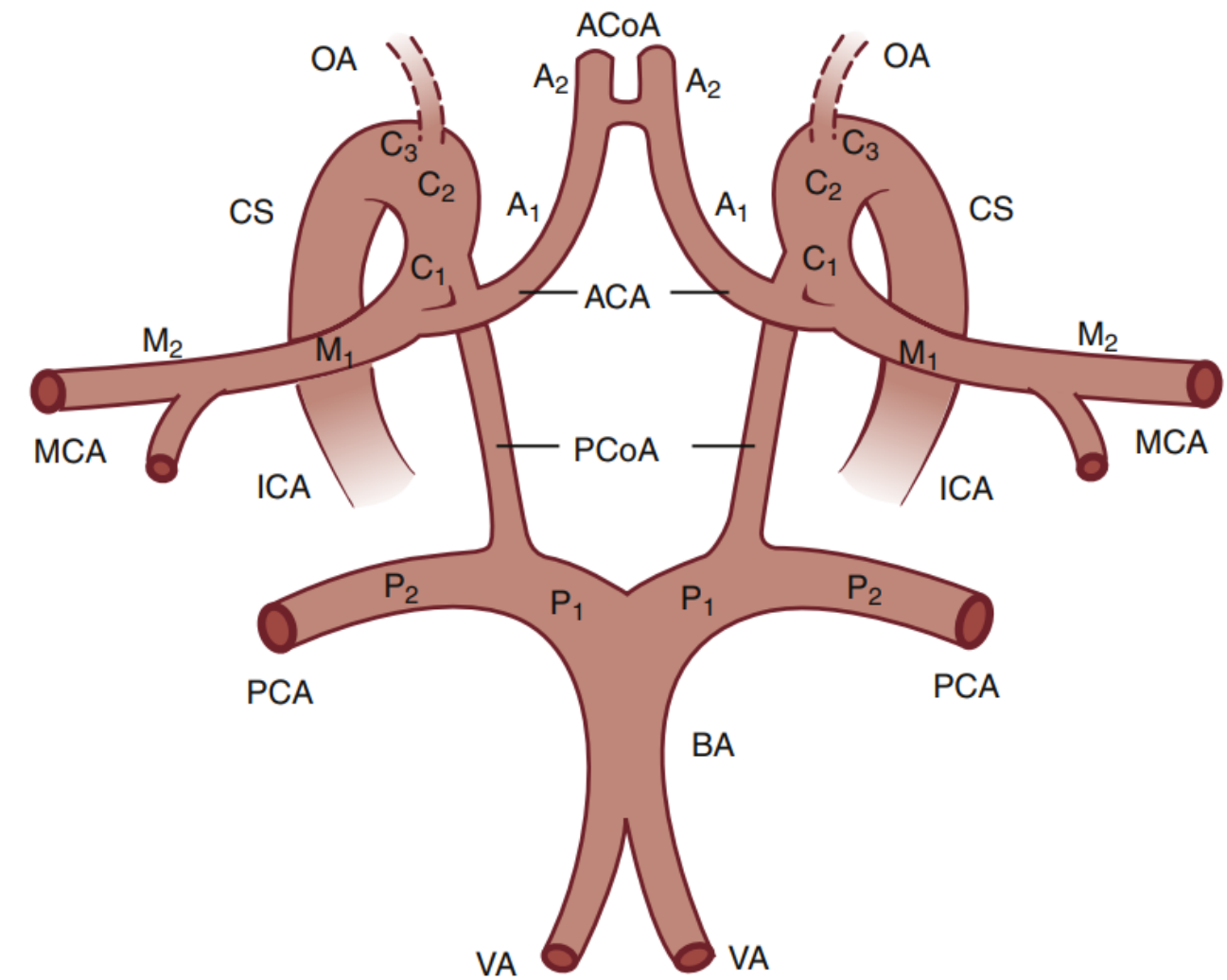
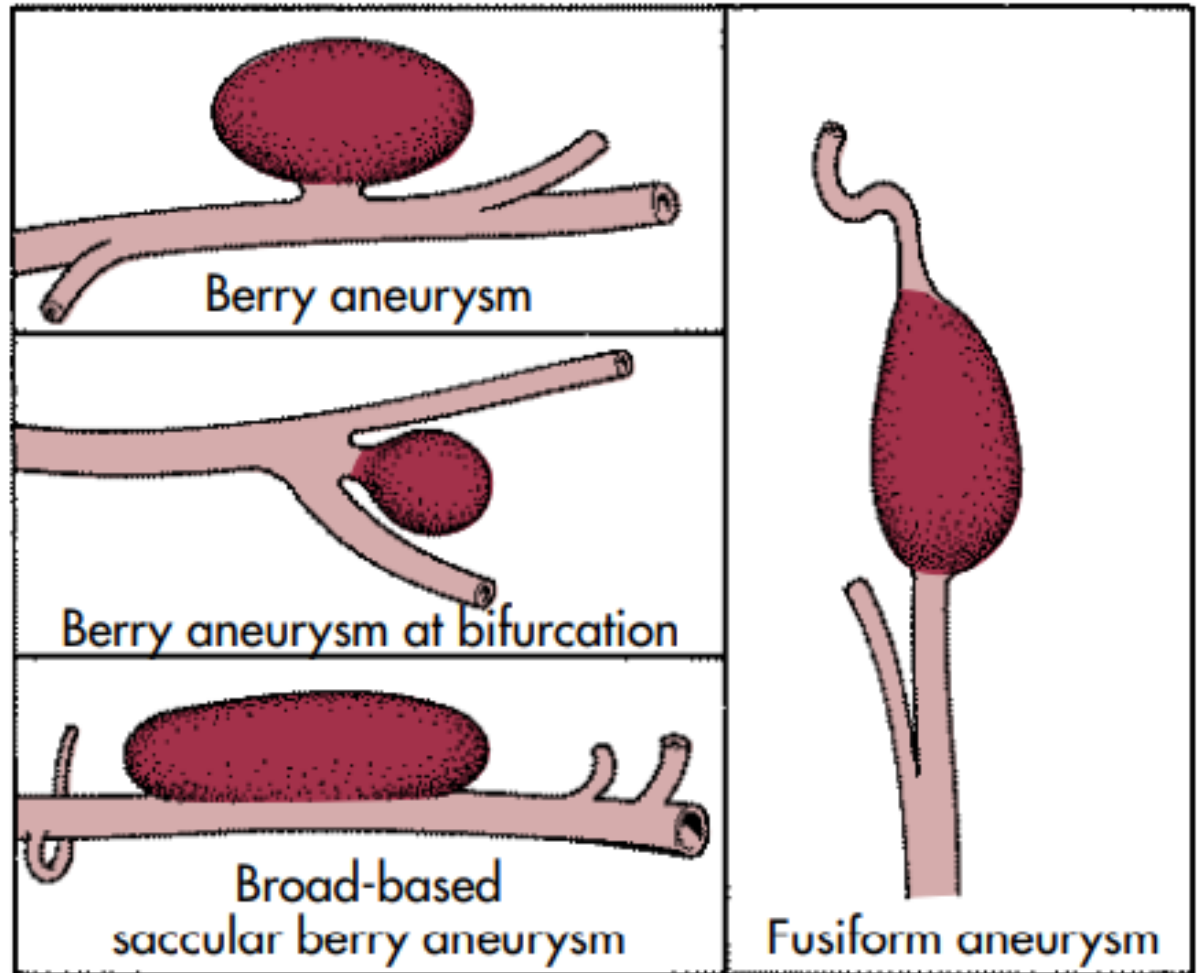
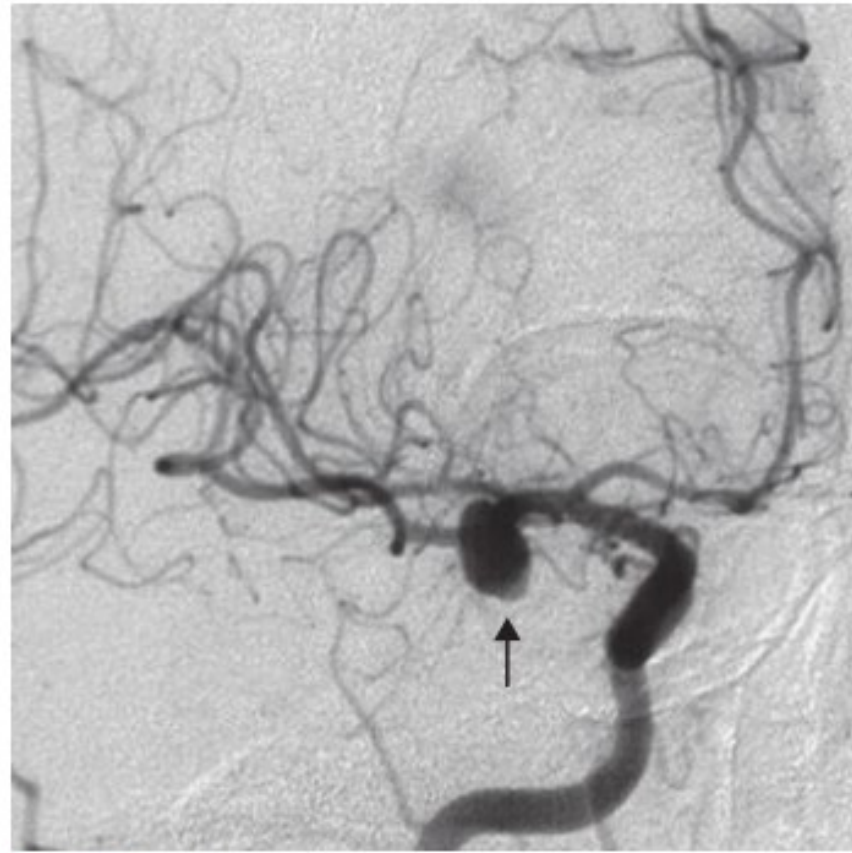


Figure 28-19 Common sites of saccular (berry) aneurysms in the circle of Willis.

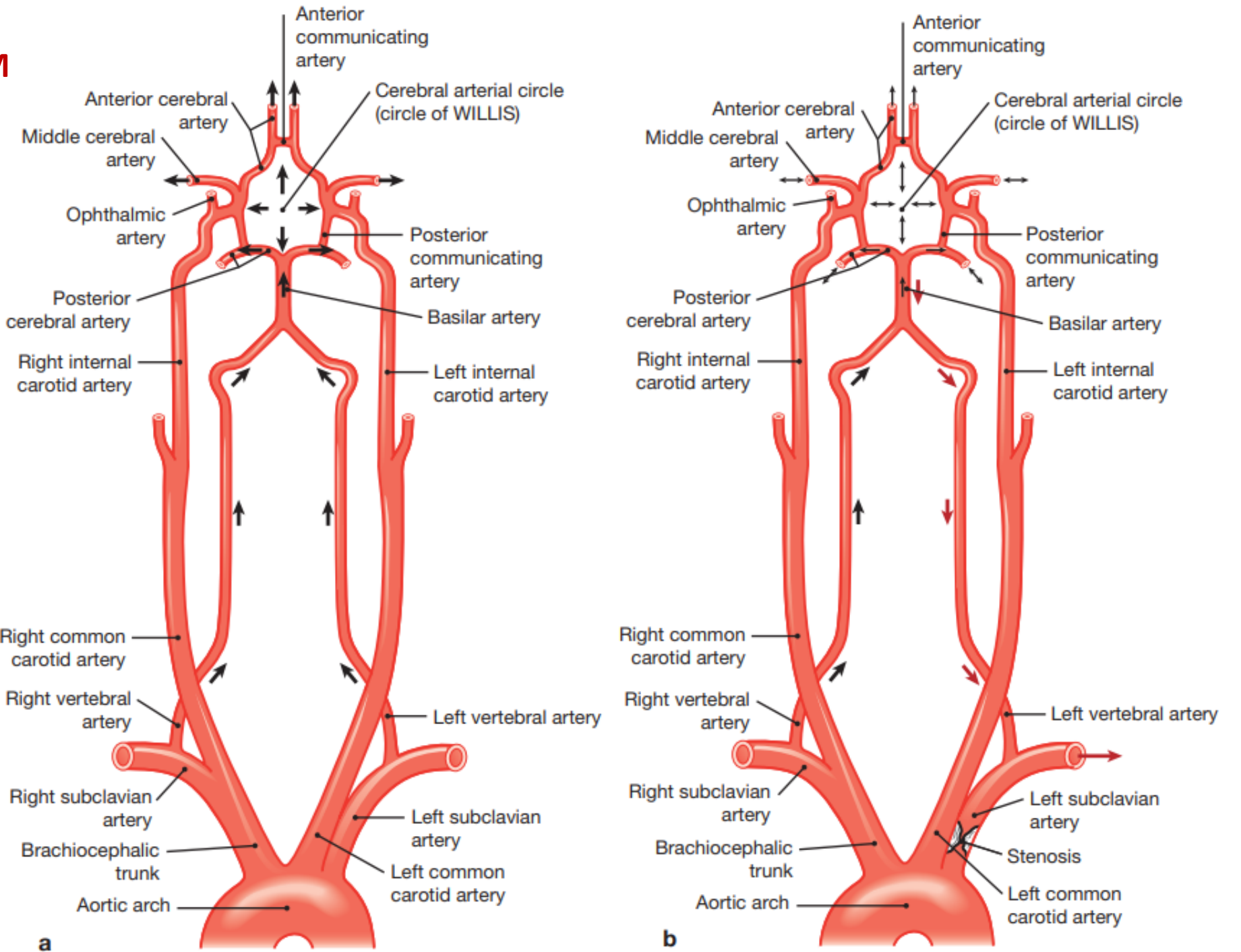


**FIGURE 18-18** Types of Aneurysms.



**FIGURE 18-19** Berry Aneurysm, Angiogram. In this lateral view with contrast filling a portion of the cerebral arterial circulation can be seen a berry aneurysm (arrow) involving the middle cerebral artery of the circle of Willis at the base of the brain. (From Klatt EC: *Robbins and Cotran atlas of pathology*, Philadelphia, 2006, Saunders.)

## SUBCLAVIAN STEAL SYNDROM



# ARTERIA CAROTIS EXTERNA

## Ventrální větve

*A. thyroidea superior*

*A. lingualis*

*A. facialis*

## Mediální větev

*A. pharyngea ascendens*

## Dorsální větve

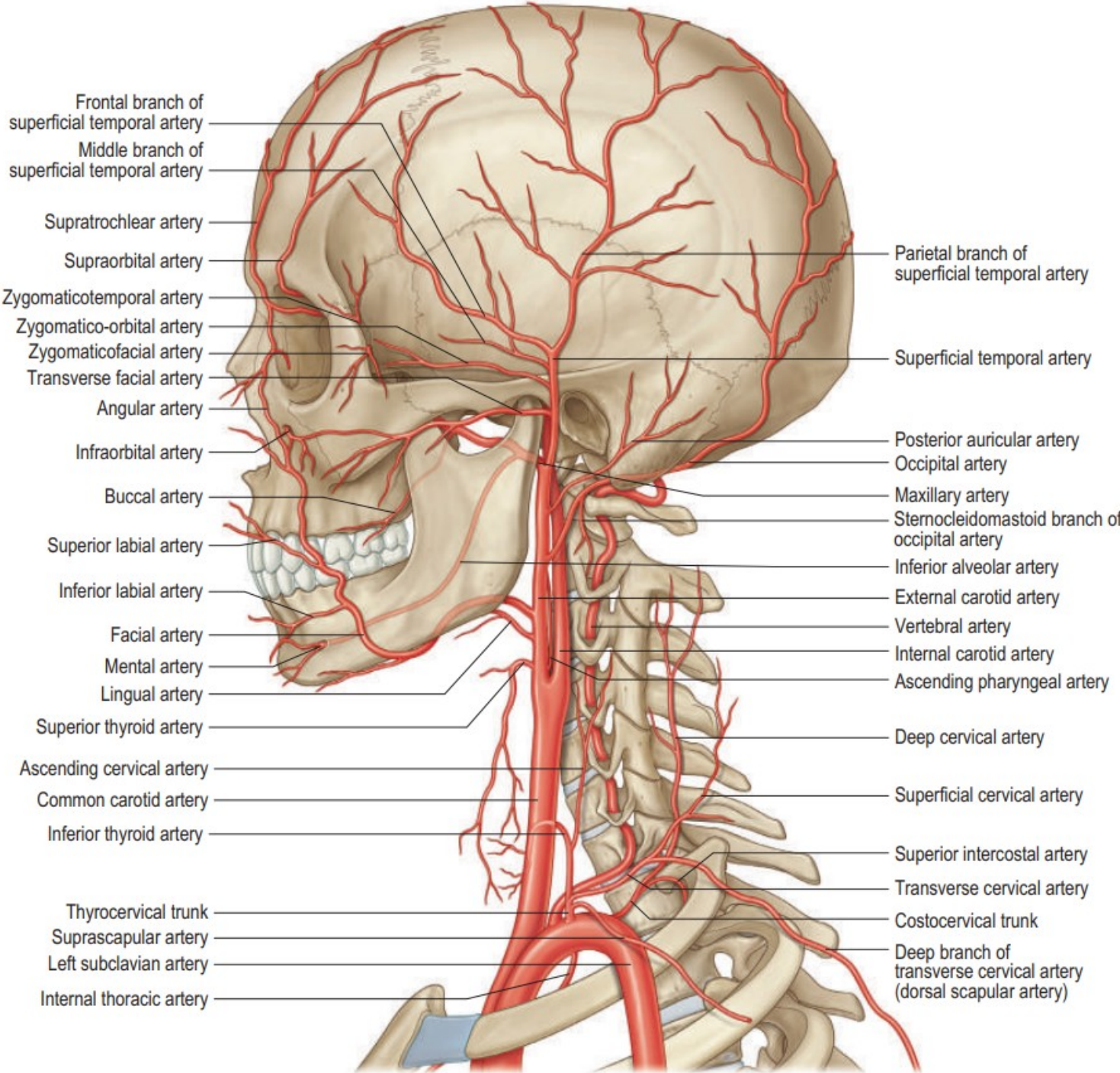
*A. occipitalis*

*A. auricularis posterior*

## Terminální větve

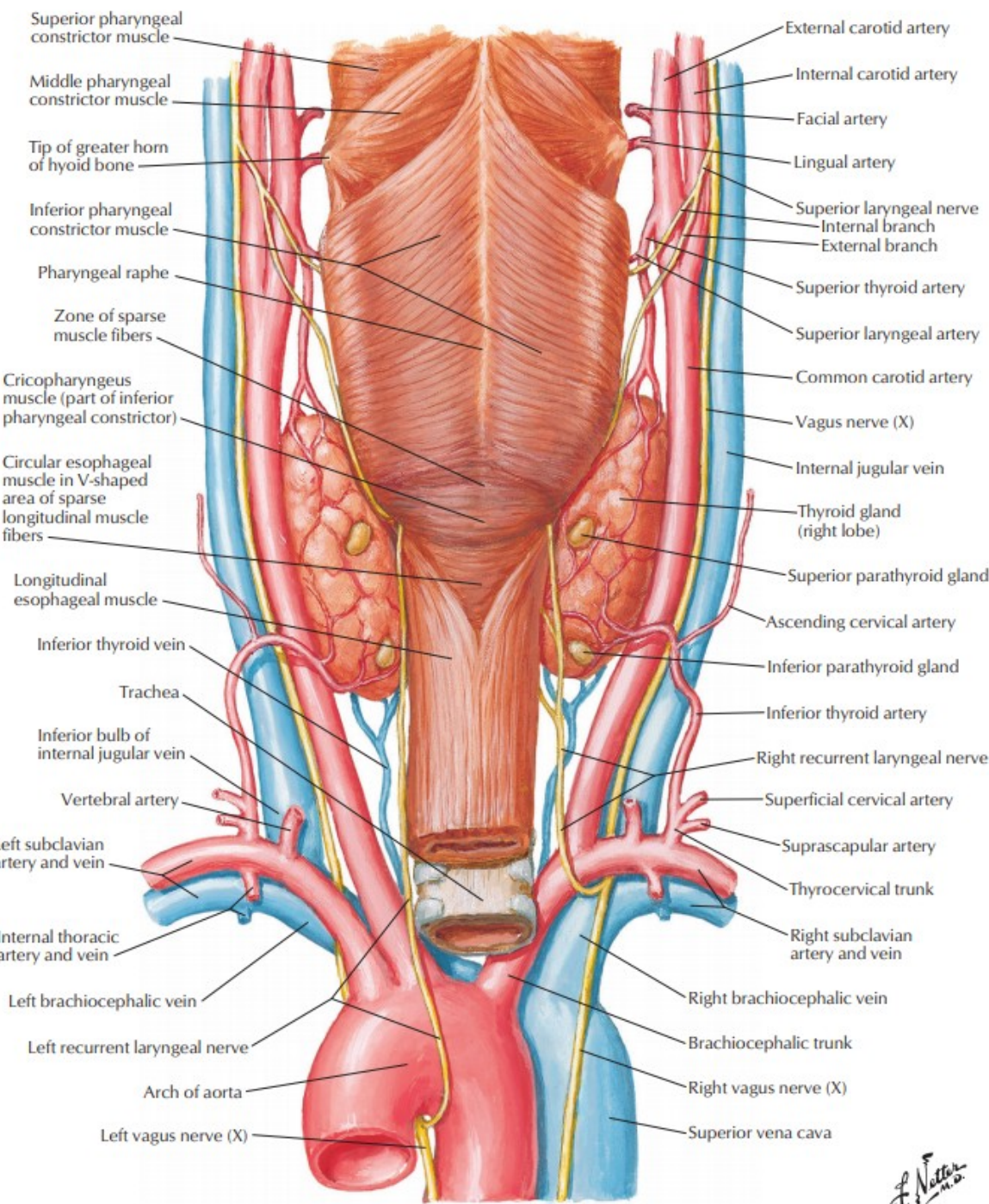
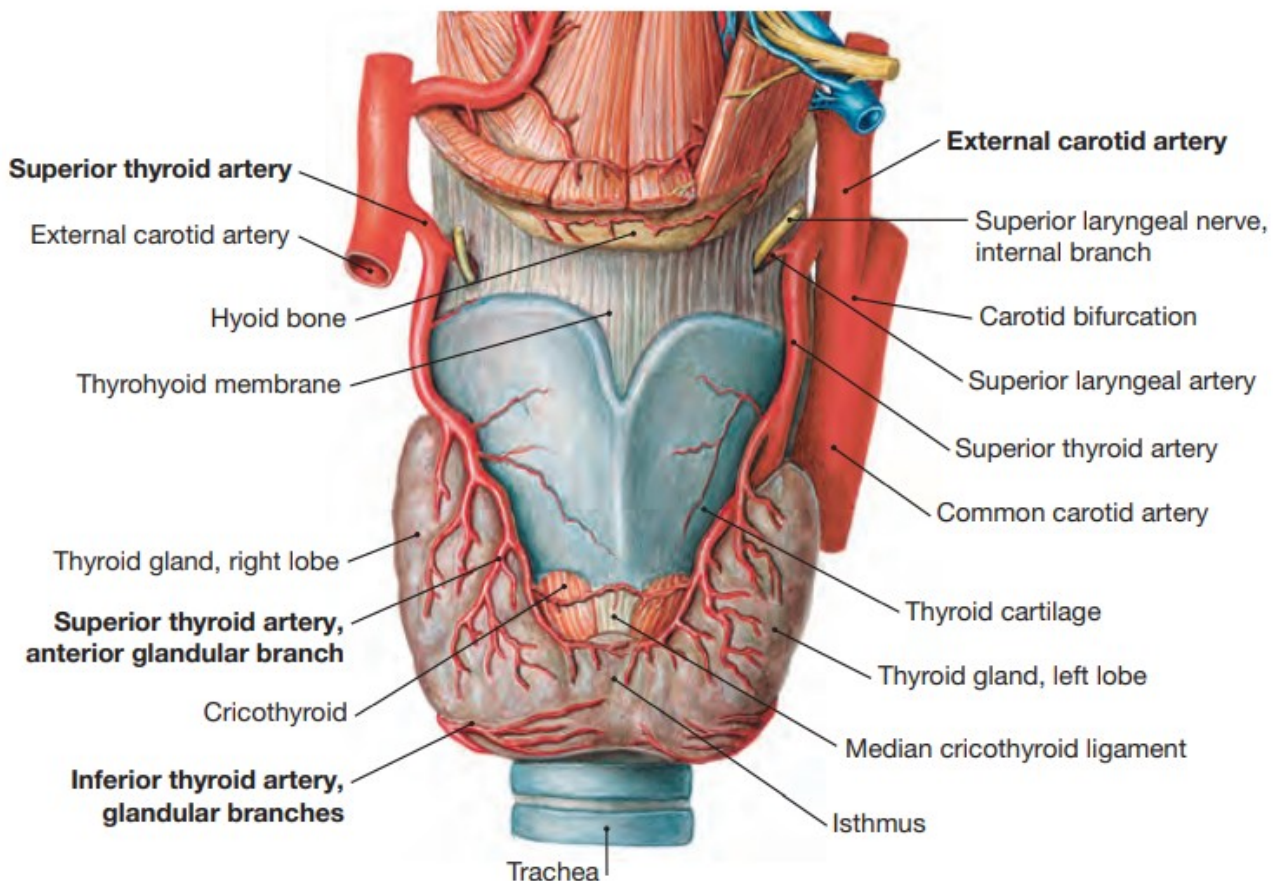
*A. maxillaris*

*A. temporalis superficialis*



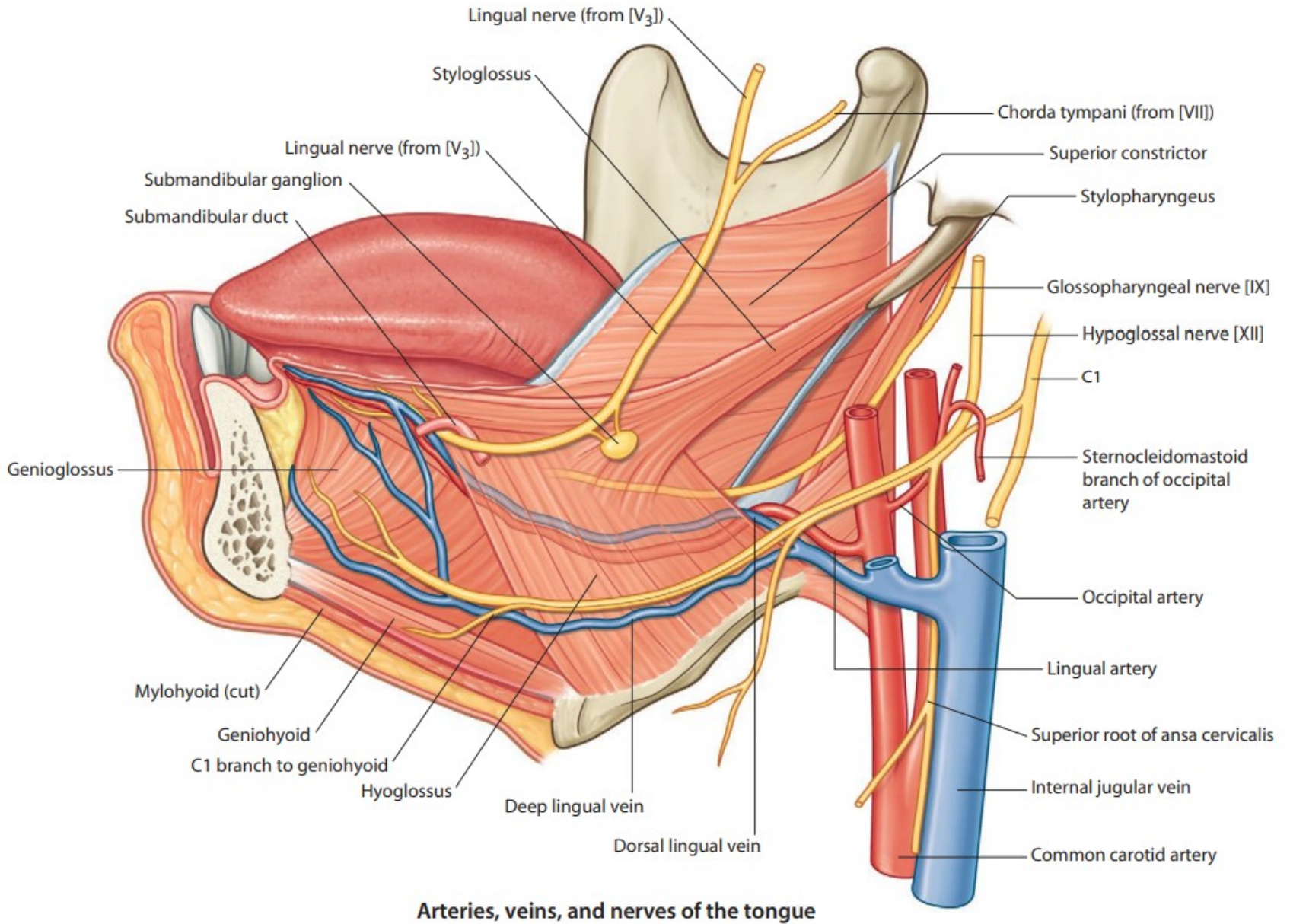
# ARTERIA THYROIDEA SUPERIOR

- *a. laryngea superior*
- *r. cricothyroideus*
- *r. infrahyoideus*
- *r. sternocleomastoideus*
- *rr. glandulares (r. anterior, lateralis et posterior)*



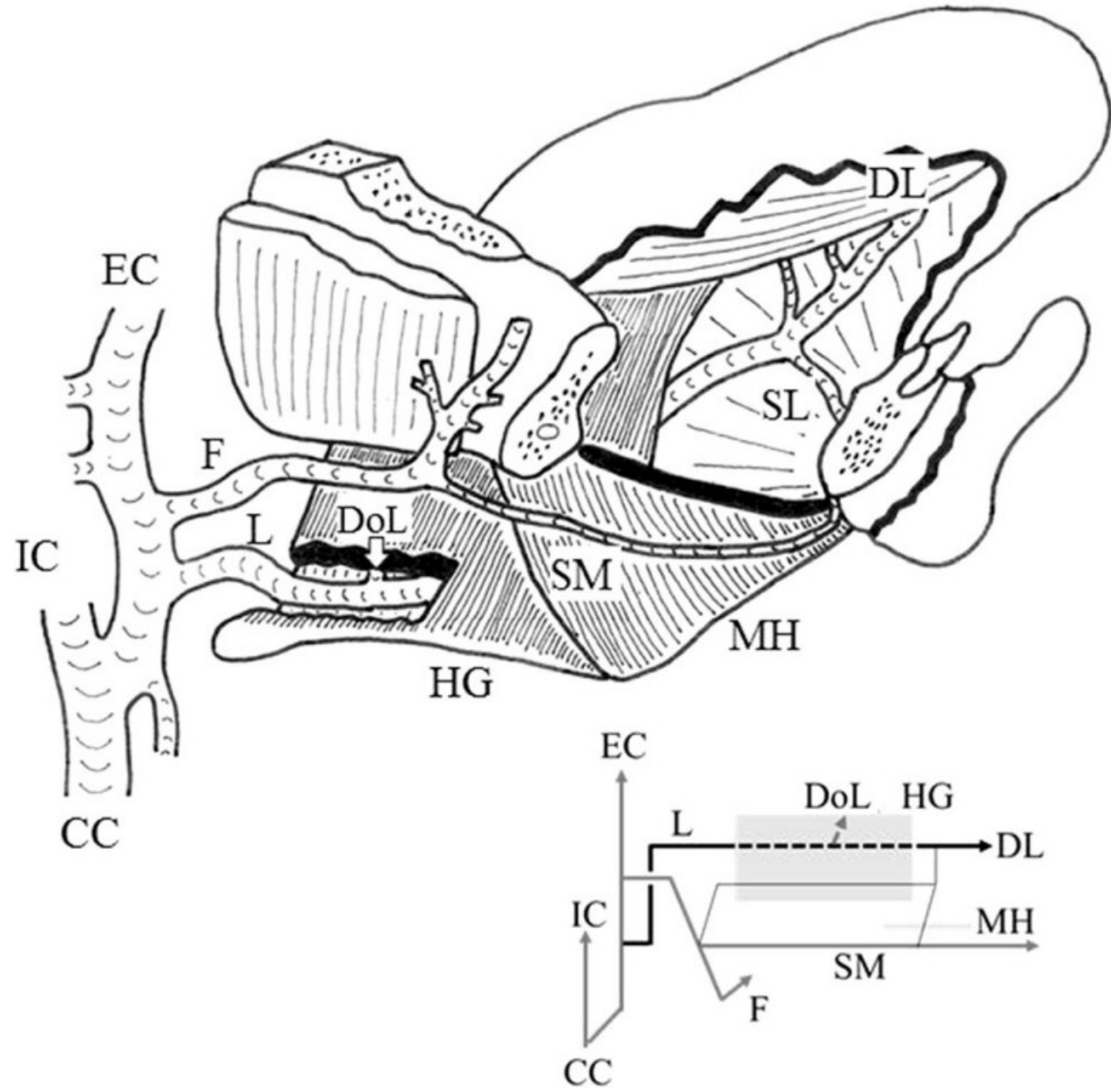
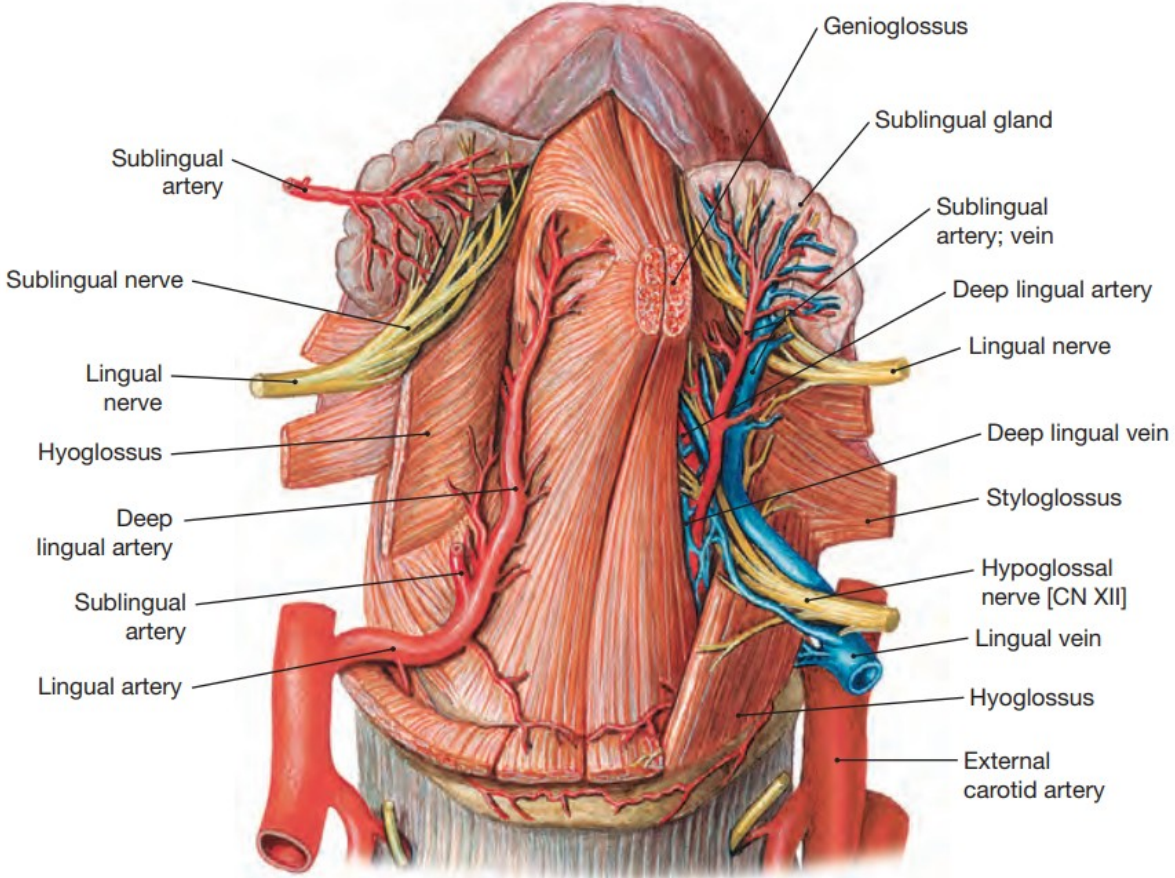
# ARTERIA LINGUALIS

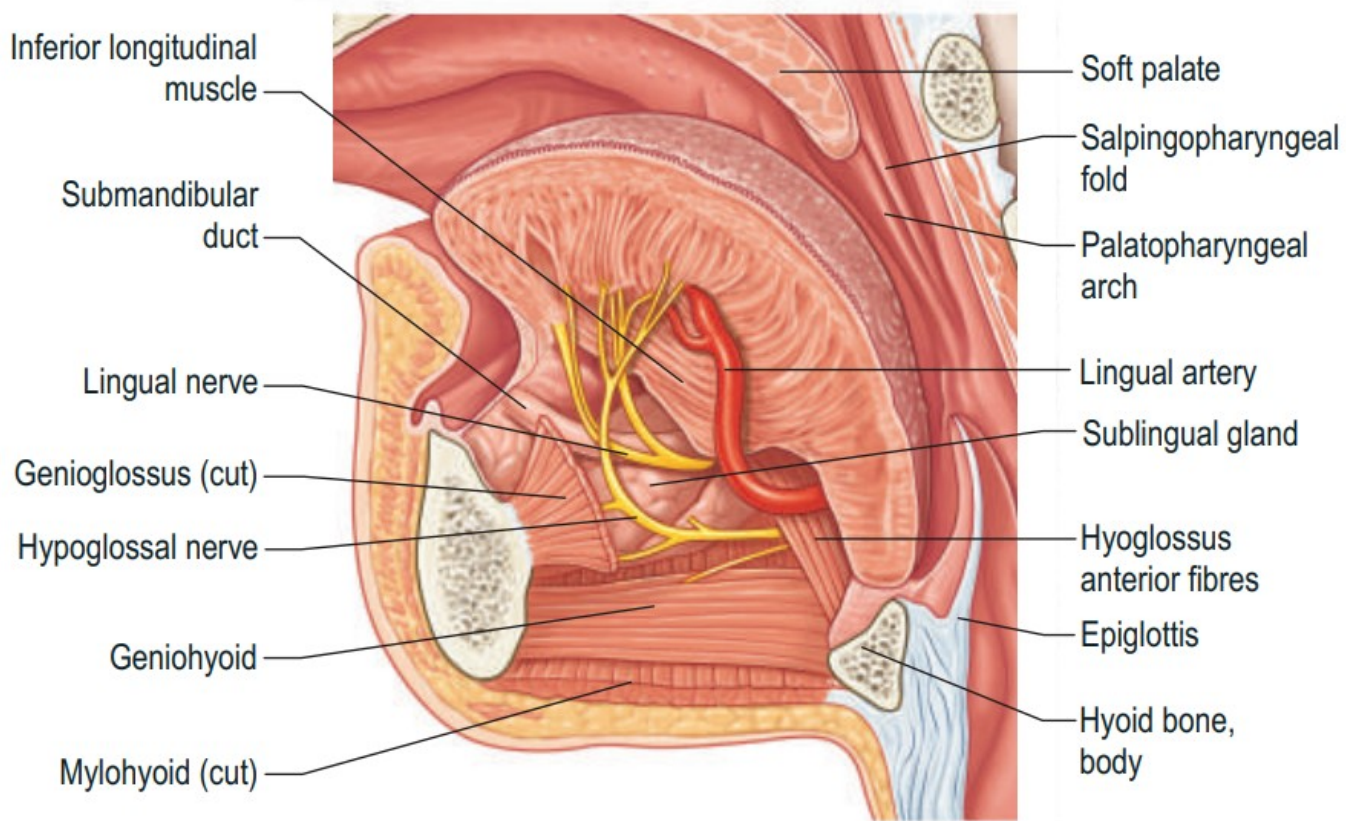
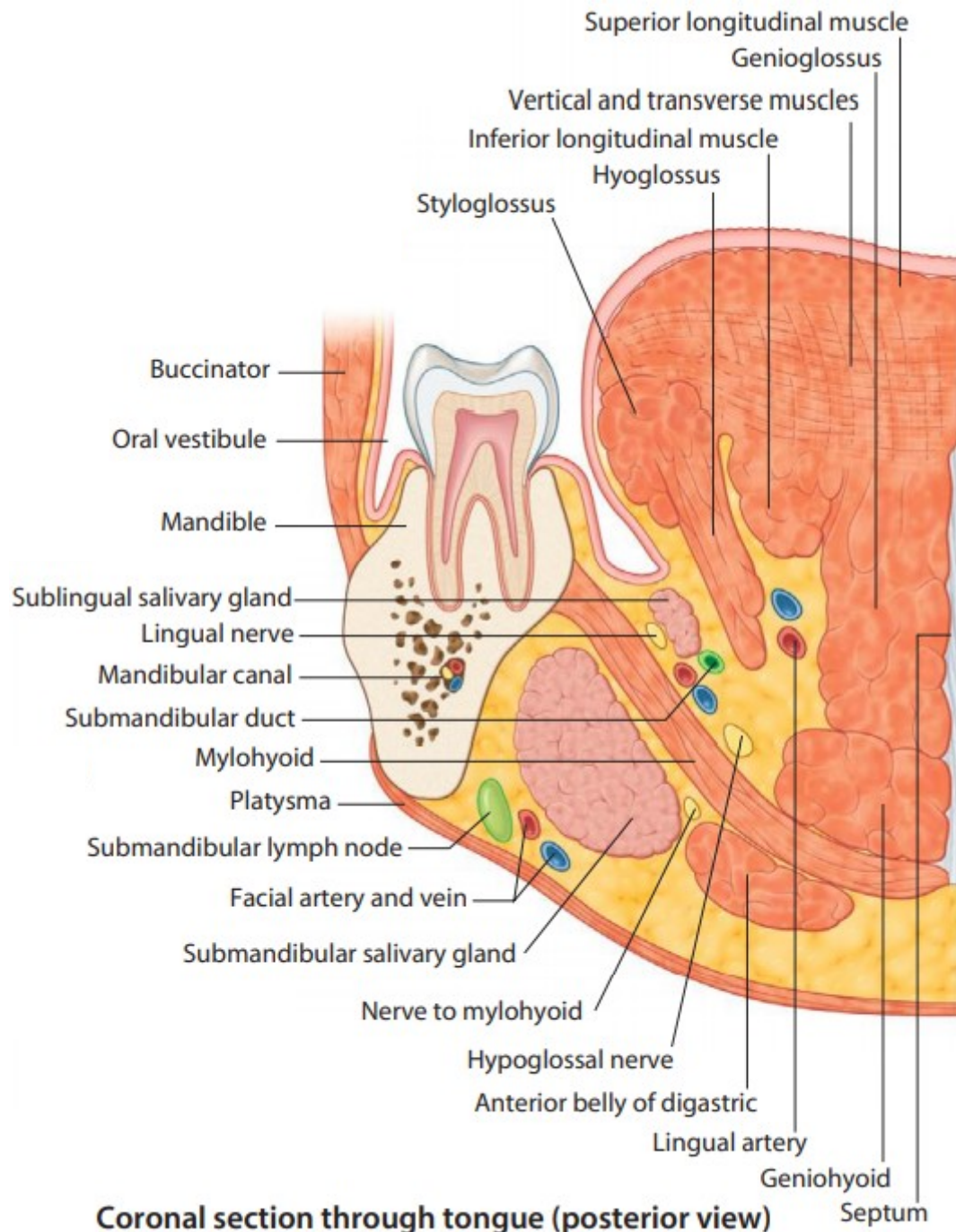
- *r. suprathyoideus*
- *a. sublingualis*
- *rr. dorsales linguae*
- *a. profunda linguae*



# Arteria lingualis - M typ

- nejčastější typ
- prochází štěrbinou mezi *m. hyoglossus* a *m. genioglossus*





# Podvaz arteria lingualis

## 1. Béclardův úhel

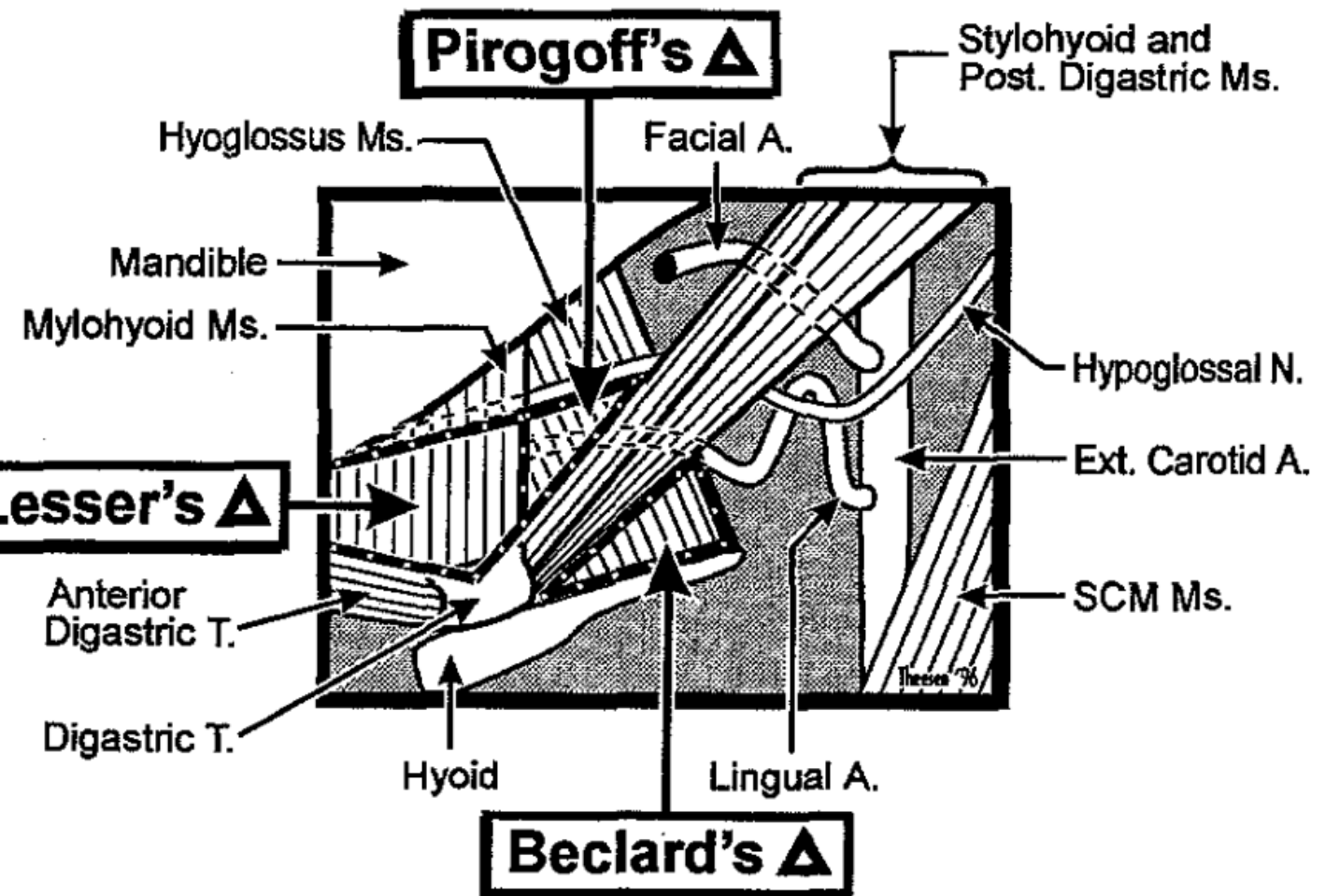
- kaudálně *cornu majus ossis hyoidei*
- kraniálně *venter posterior m. digastrici*

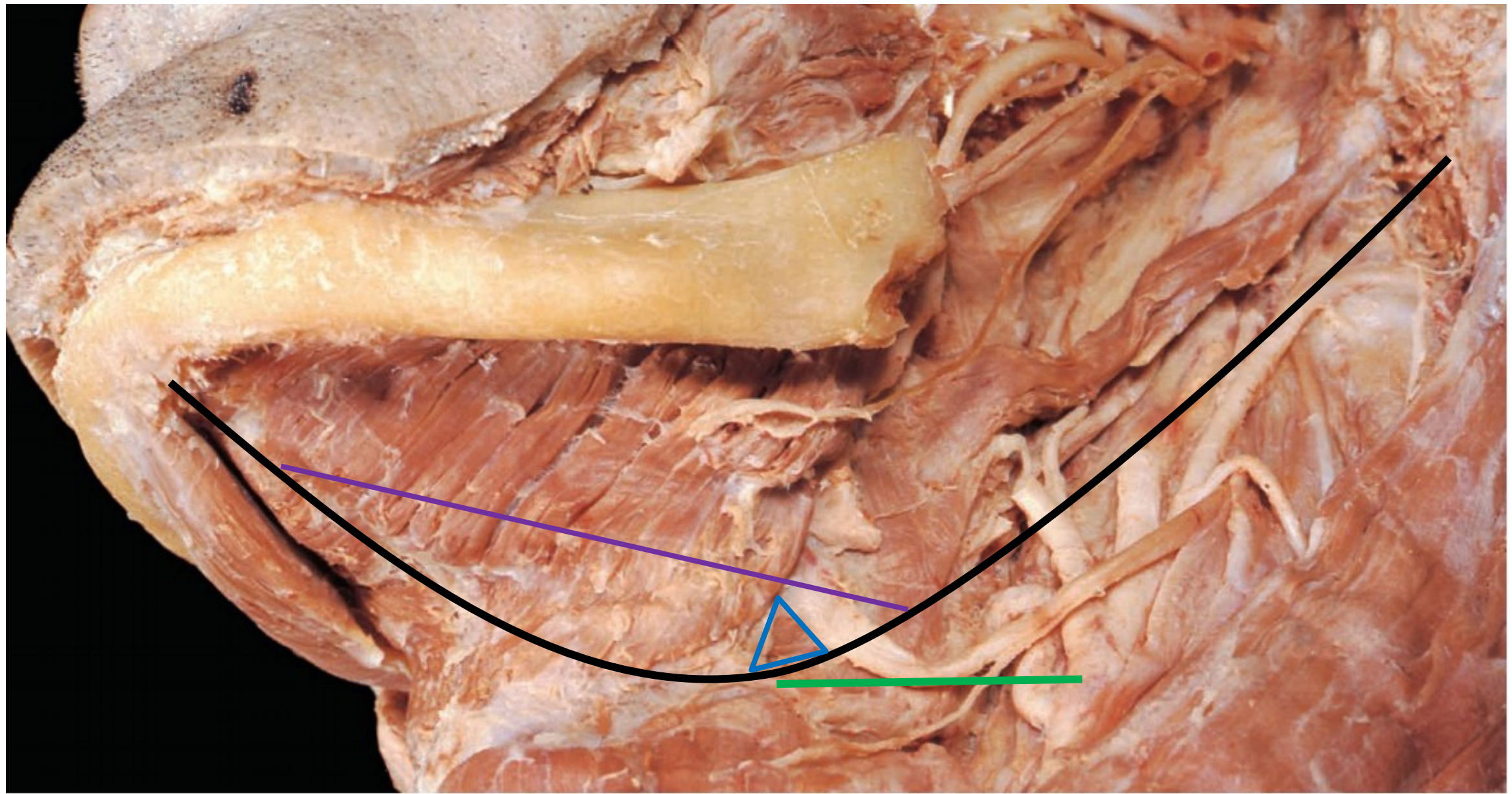
## 2. Pirogovův trojúhelník

- zadní okraj *m. mylohyoideus*
- vsunutá šlacha *m. digastricus*
- kmen *n. hypoglossus*

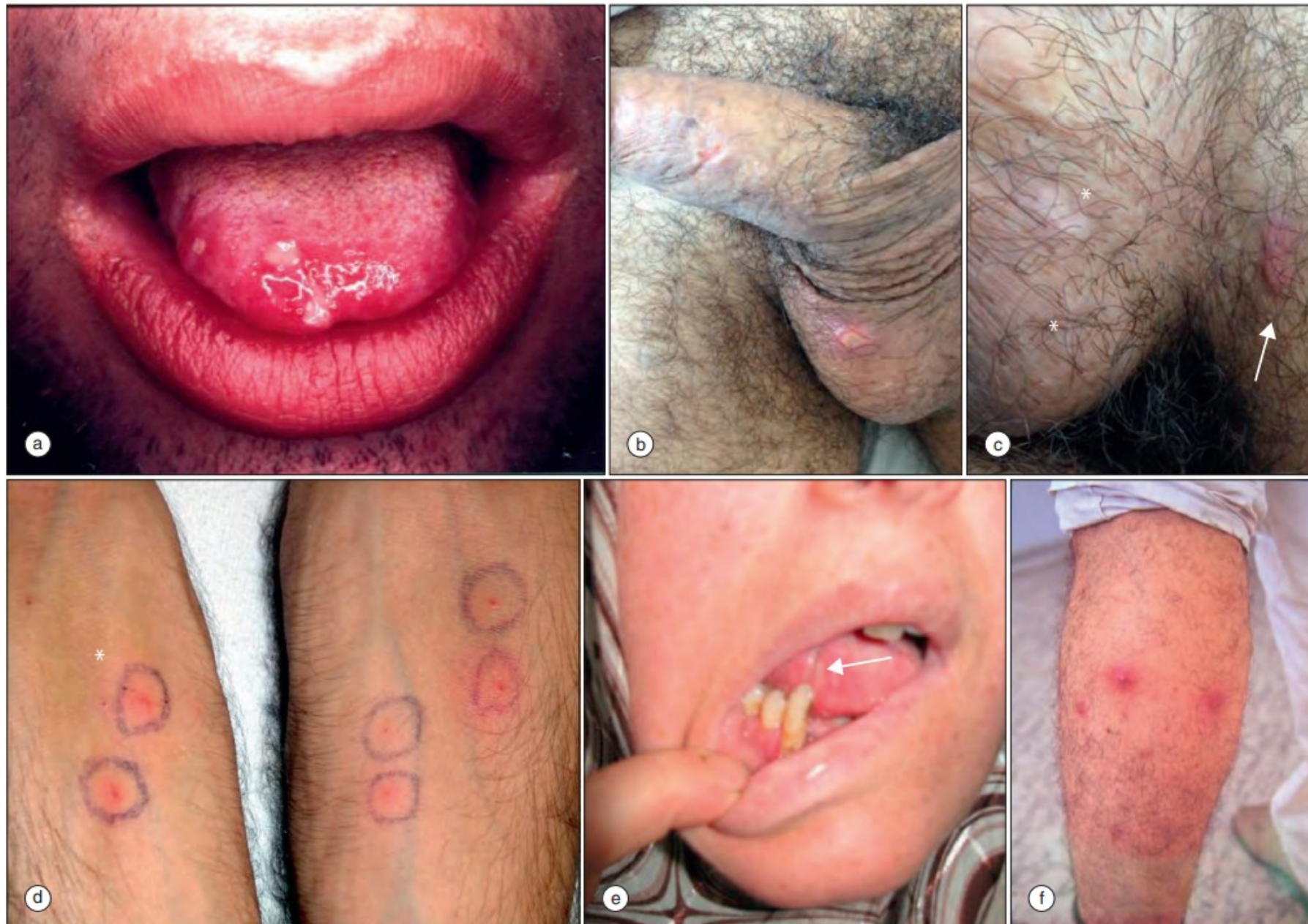
## 3. Lesserův trojúhelník

- kmen *n. hypoglossus*
- *venter anterior et posterior m. digastrici*



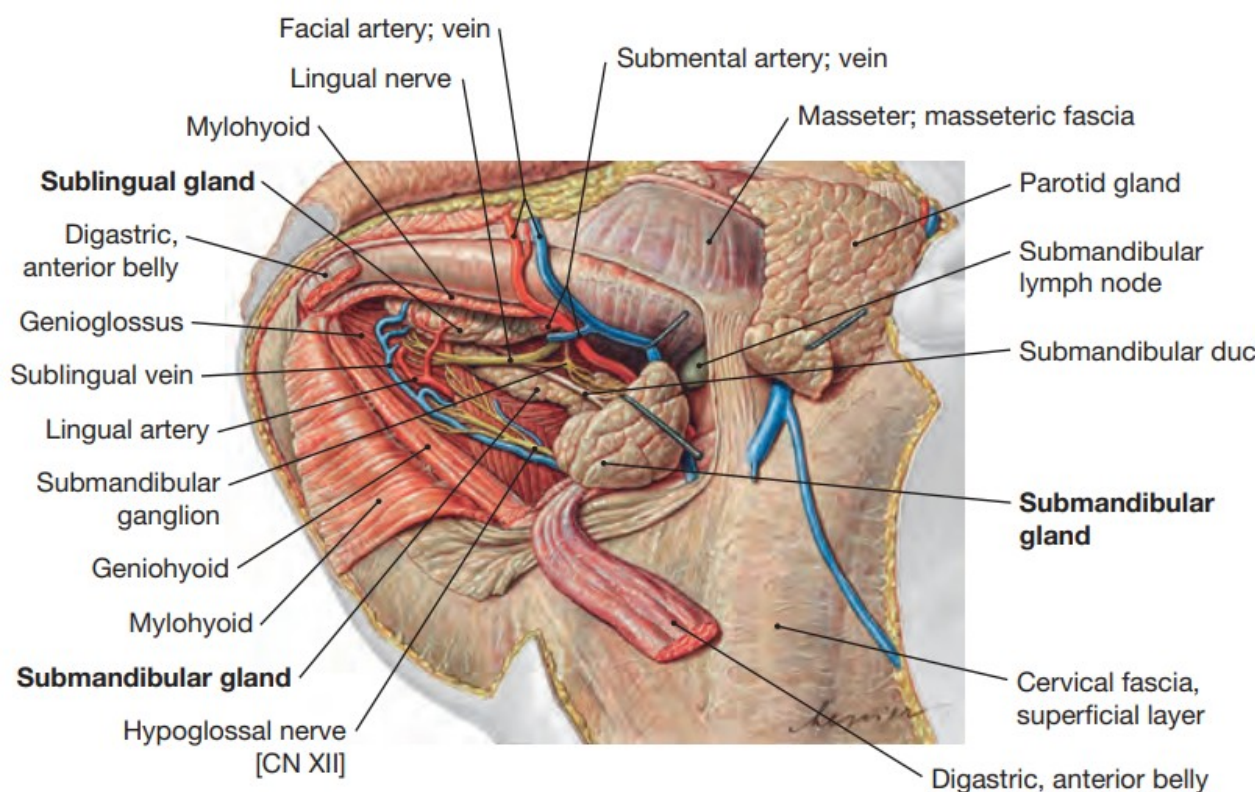


# BEHCETOVA NEMOC

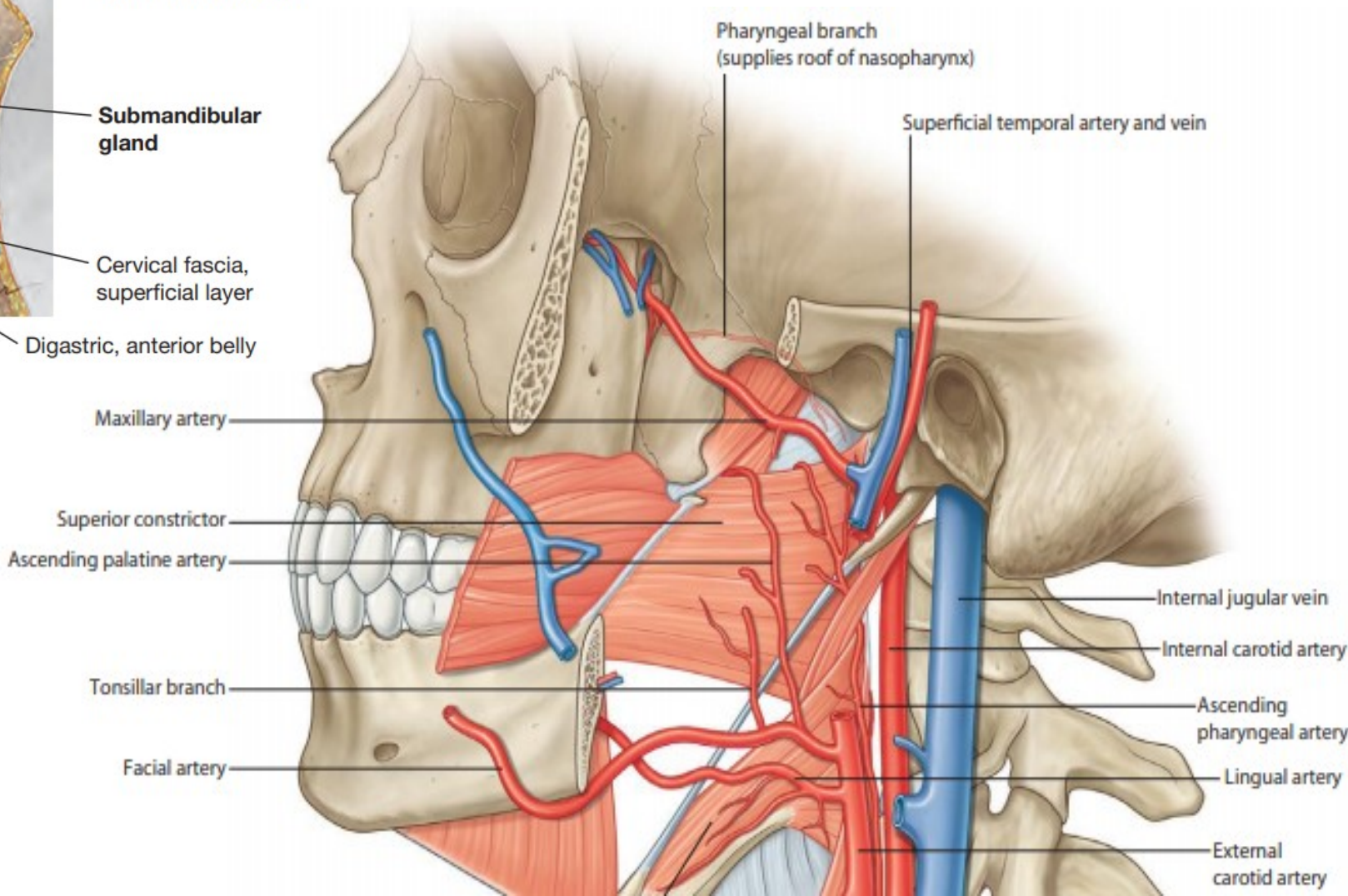


**FIG. 167.1** Mucocutaneous manifestations of Behcet disease. **(a)** Oral aphthous ulcers. **(b)** Genital ulcers in the scrotum and skin of the shaft of the penis. **(c)** Ulcers in the groin (arrow) and scars of previous ulcers in the scrotum (asterisks). **(d)** Skin pathergy response in the forearm as erythematous pustule (asterisk) or papule at the needle prick sites at 48 hours. **(e)** Pathergic tongue ulcer (arrow) induced by dental trauma. **(f)** Papulopustular lesions in the calf.

# ARTERIA FACIALIS

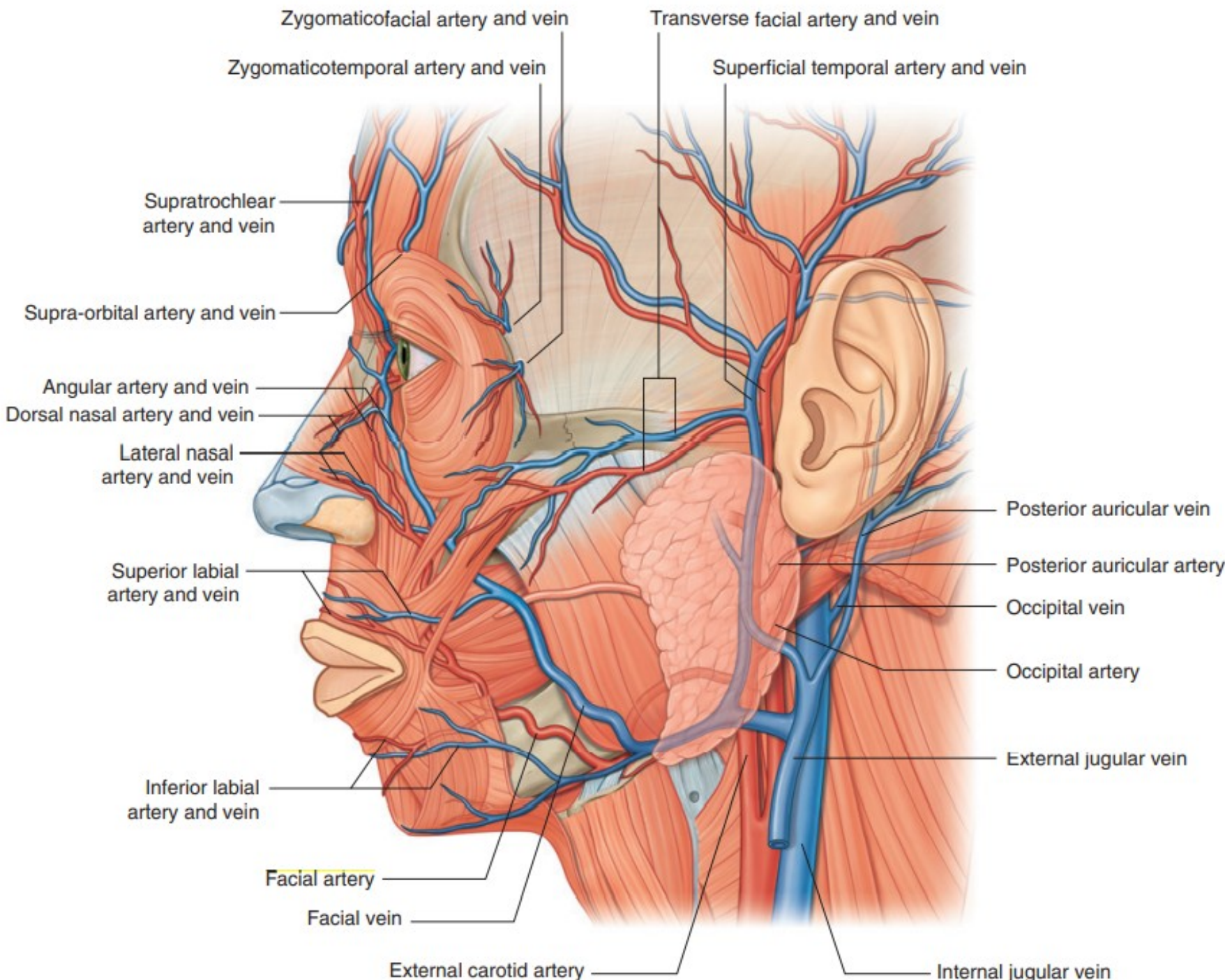


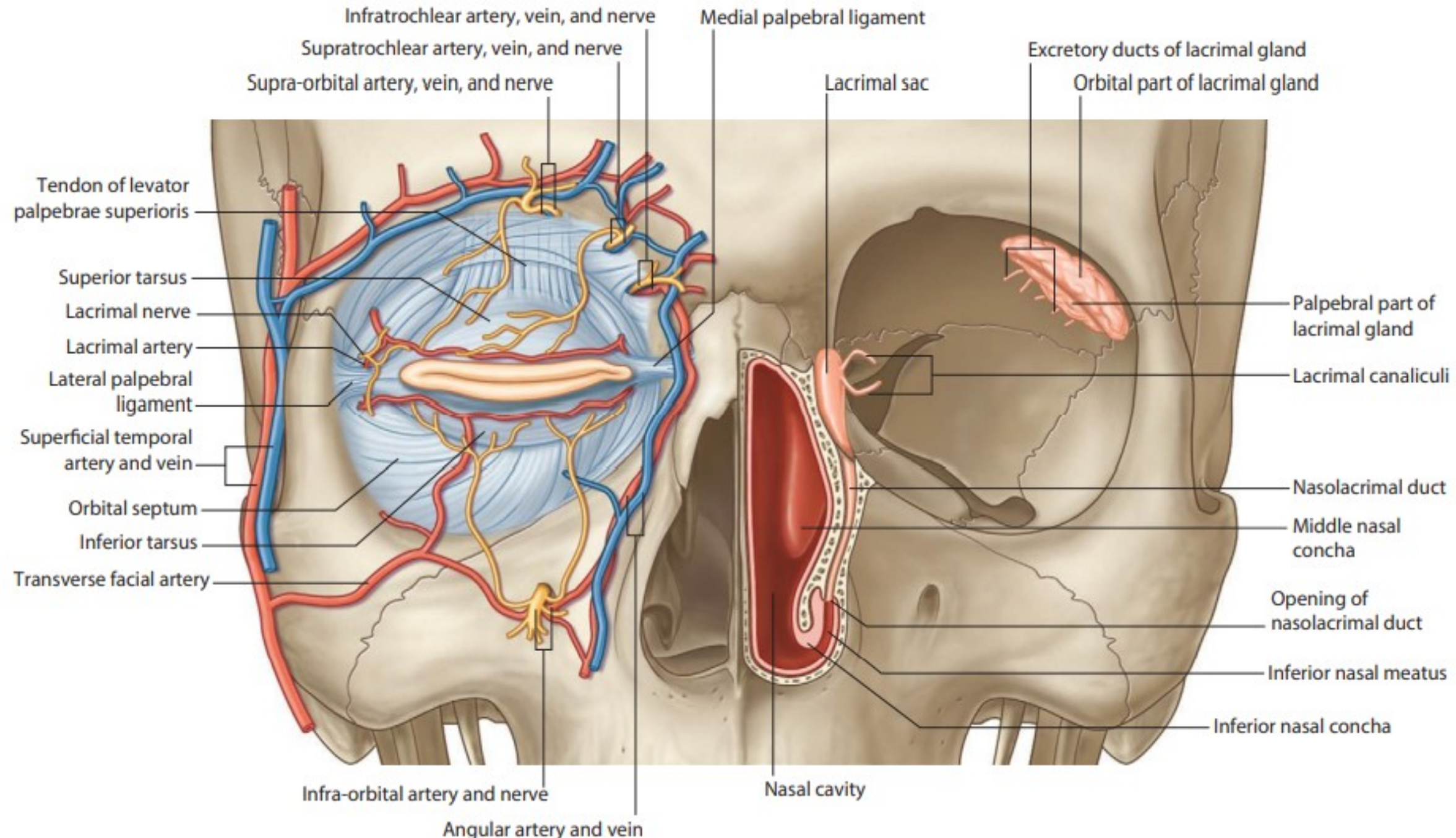
- *a. palatina ascendens*
- *a. submentalis*
- *rr. glandulares*
- *a. labialis superior et inferior*
- *r. lateralis nasi*
- *a. angularis*



# ARTERIA FACIALIS

- *a. palatina ascendens*
- *a. submentalis*
- *rr. glandulares*
- *a. labialis superior et inferior*
- *r. lateralis nasi*
- *a. angularis*



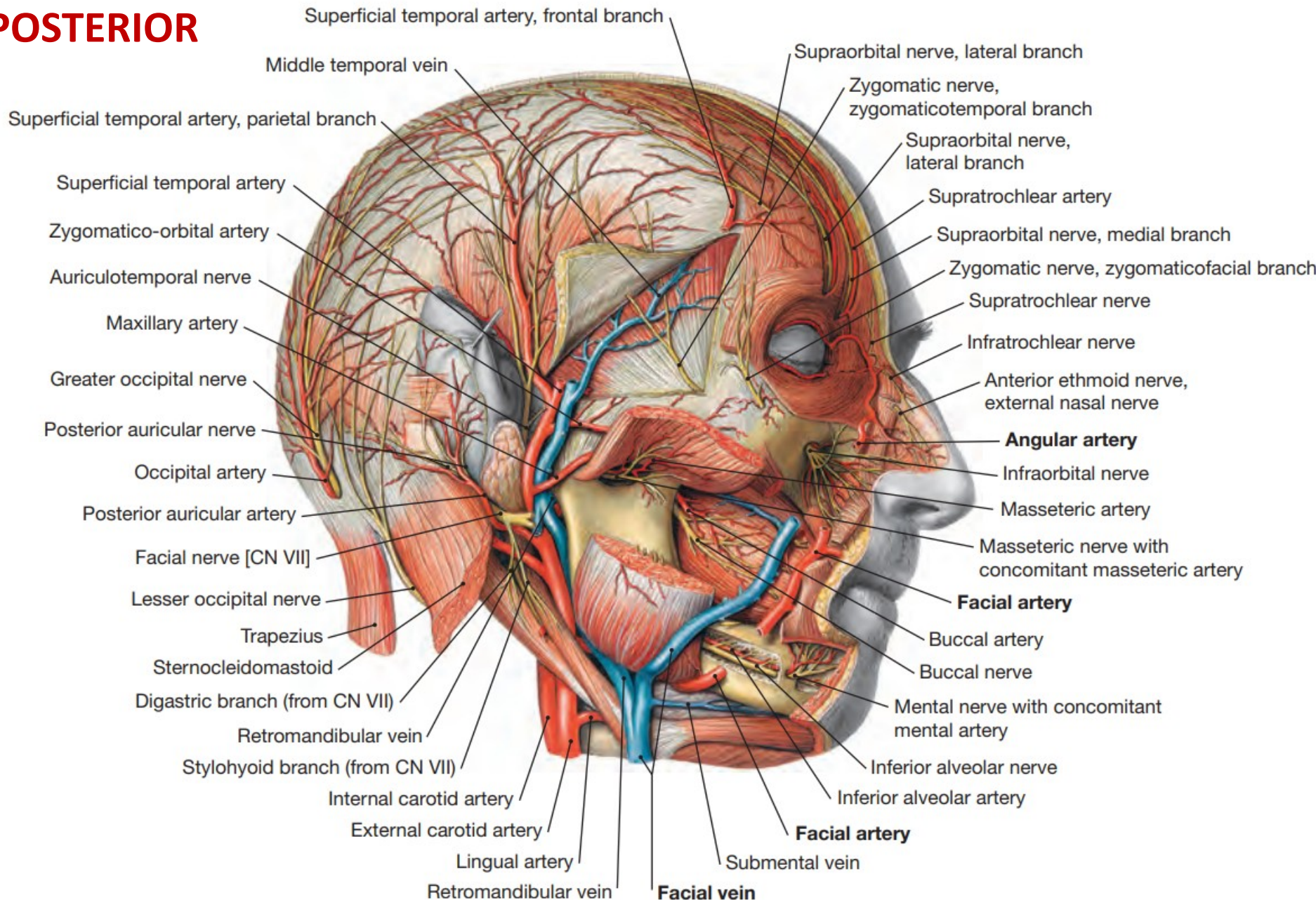


# ARTERIA AURICULARIS POSTERIOR

- *rr. musculares*
- *rr. glandulares*
- *r. auricularis*
- *a. stylomastoidea*
  - *a. tympanica posterior*
  - *rr. mastoidei*
  - *r. stapedialis*
- *r. occipitalis*

# ARTERIA OCCIPITALIS

- *rr. sternocleidomastoidei*
- *r. auricularis*
- *r. mastoideus*
- *rr. occipitales*



# ARTERIA PHARYNGEA ASCENDENS

- *rr. pharyngei*
- *a. meningea posterior*
- *a. tympanica inferior*

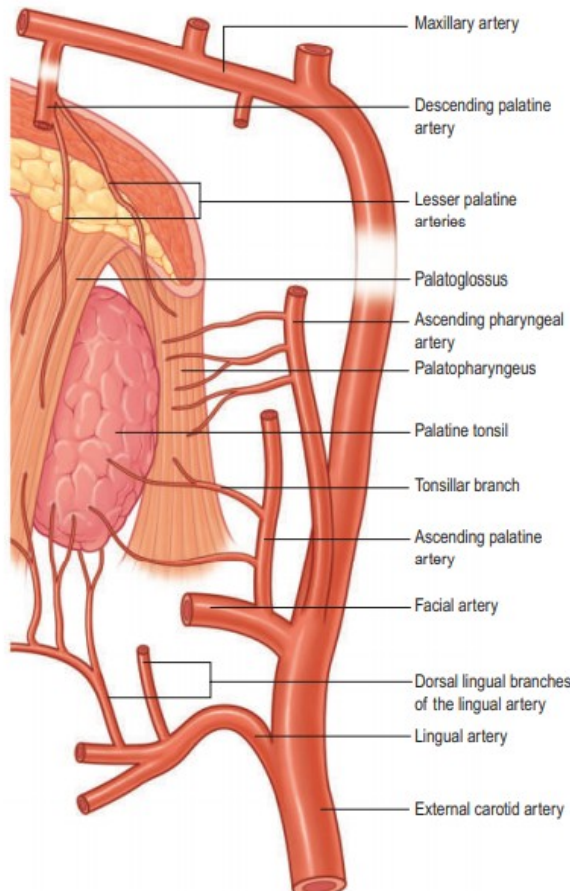
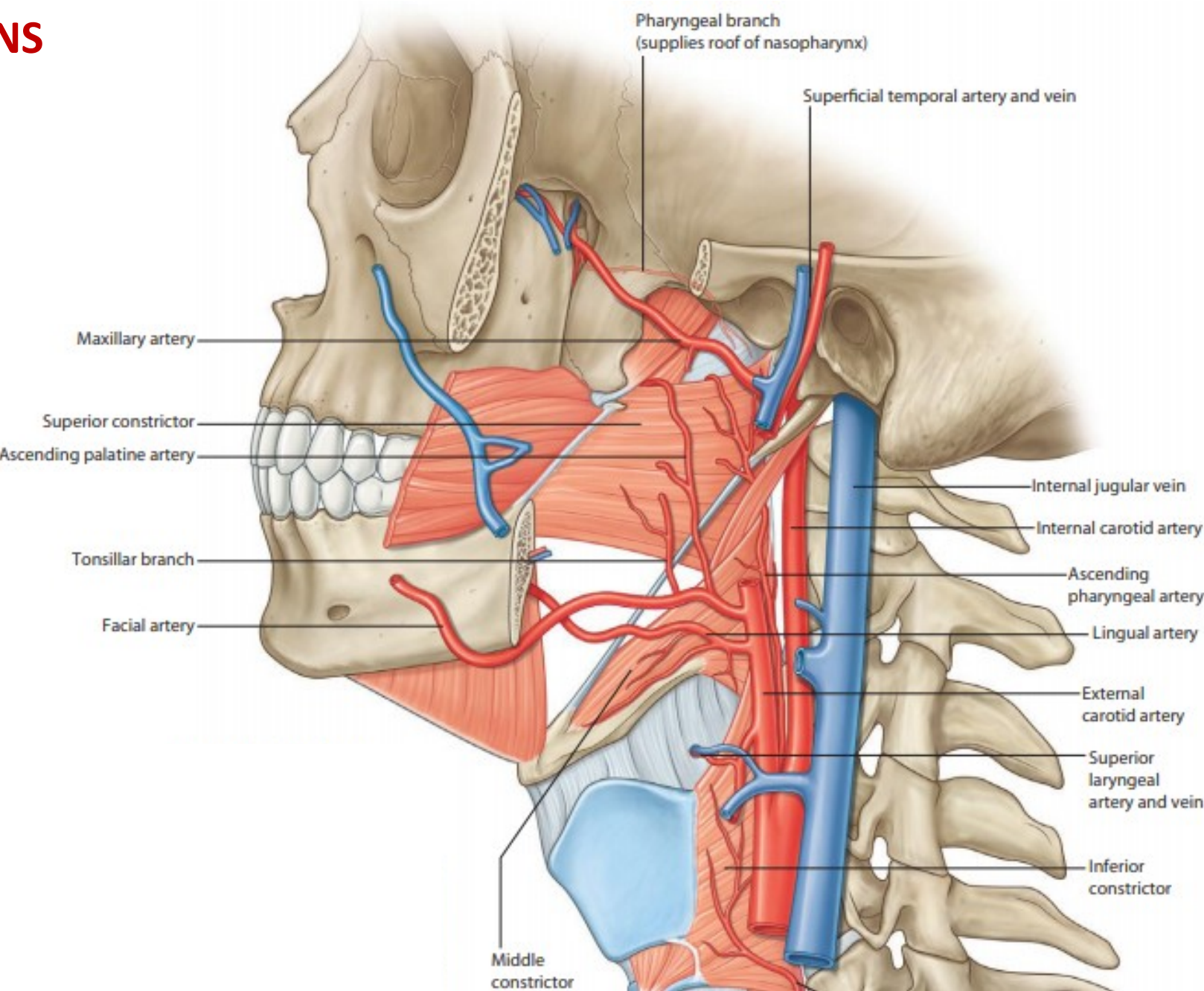


Fig. 34.7 The arterial supply to the palatine tonsil.



# ARTERIA PHARYNGEA ASCENDENS

- malá tepenná větevka nejčastěji z ACE
- prochází v štěrbině mezi ACI, pharyngem a *m. longus capitidis*
- dělí se na pharyngeální a neuromeningeální větev

## A. Pharyngeální větev (přední)

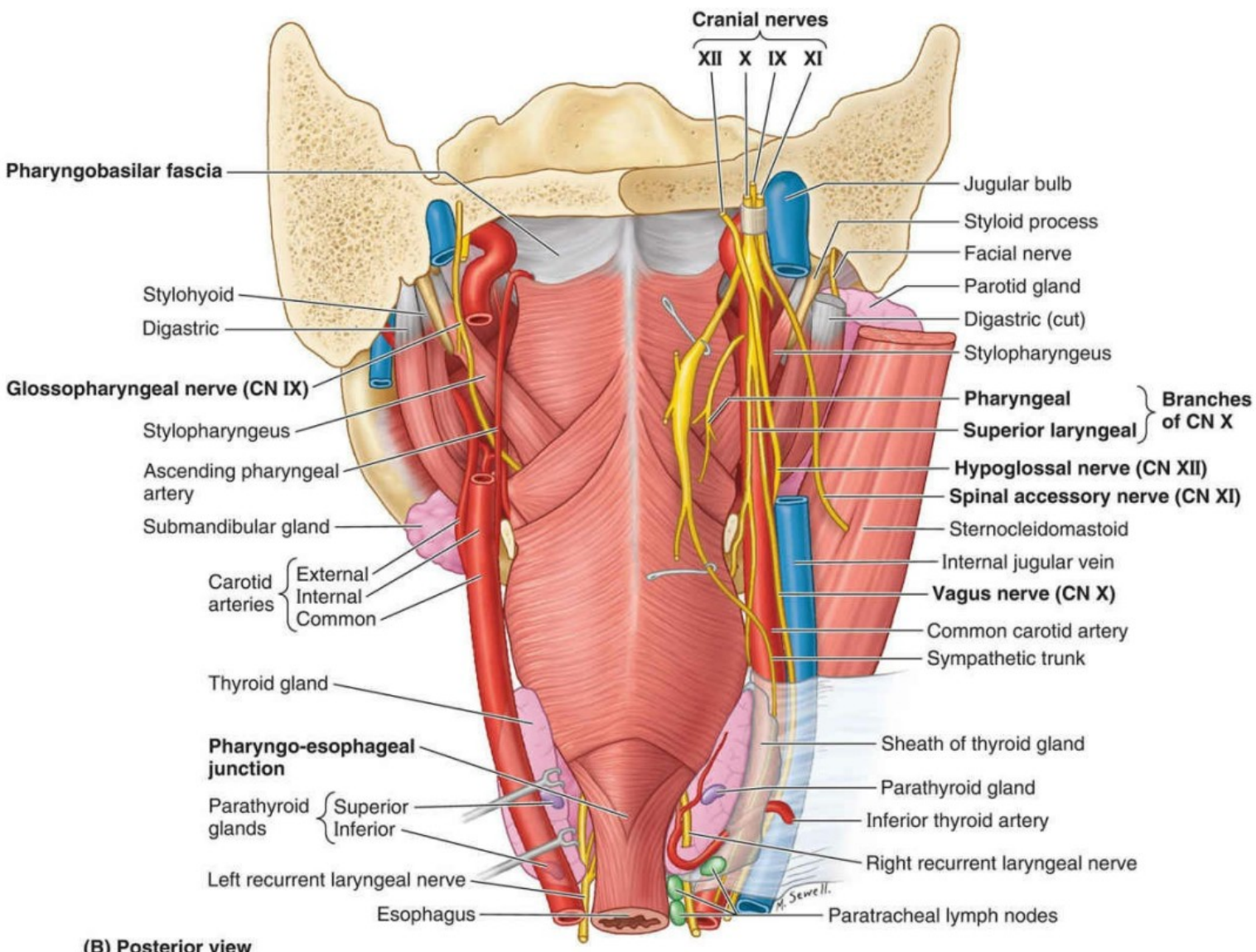
- zásobuje pharynx, *tonsilla palatina*, *palatum molle*, Eustachovu trubicu

## B. Neuromeningeální větev (zadní)

- zásobuje prevertebrální svaly, dura mater, hlavové nervy VI, IX-XII, kořene C1-C3, *dens axis* a obratle C1-C3, *ganglion cervicale superius*

### Odstup APA:

- Arteria carotis externa* (70%)
- Arteria occipitalis* (20%)
- Arteria carotis interna* (8%)
- Arteria facialis* (2%)



# 1. Pharyngeální větev (přední)

## *Arteria pharyngea inferior*

- hypopharynx

## *Arteria pharyngea media*

- oropharynx, palatum molle

## *Arteria pharyngea superior*

- nasopharynx

- anastomózy s arteria recurrens z ILT kolem foramen lacerum

- anastomózy s větvemi arteria maxillaris

## *Rami palatini*

- palatum molle, tonsilla palatina, Eustachova trubice

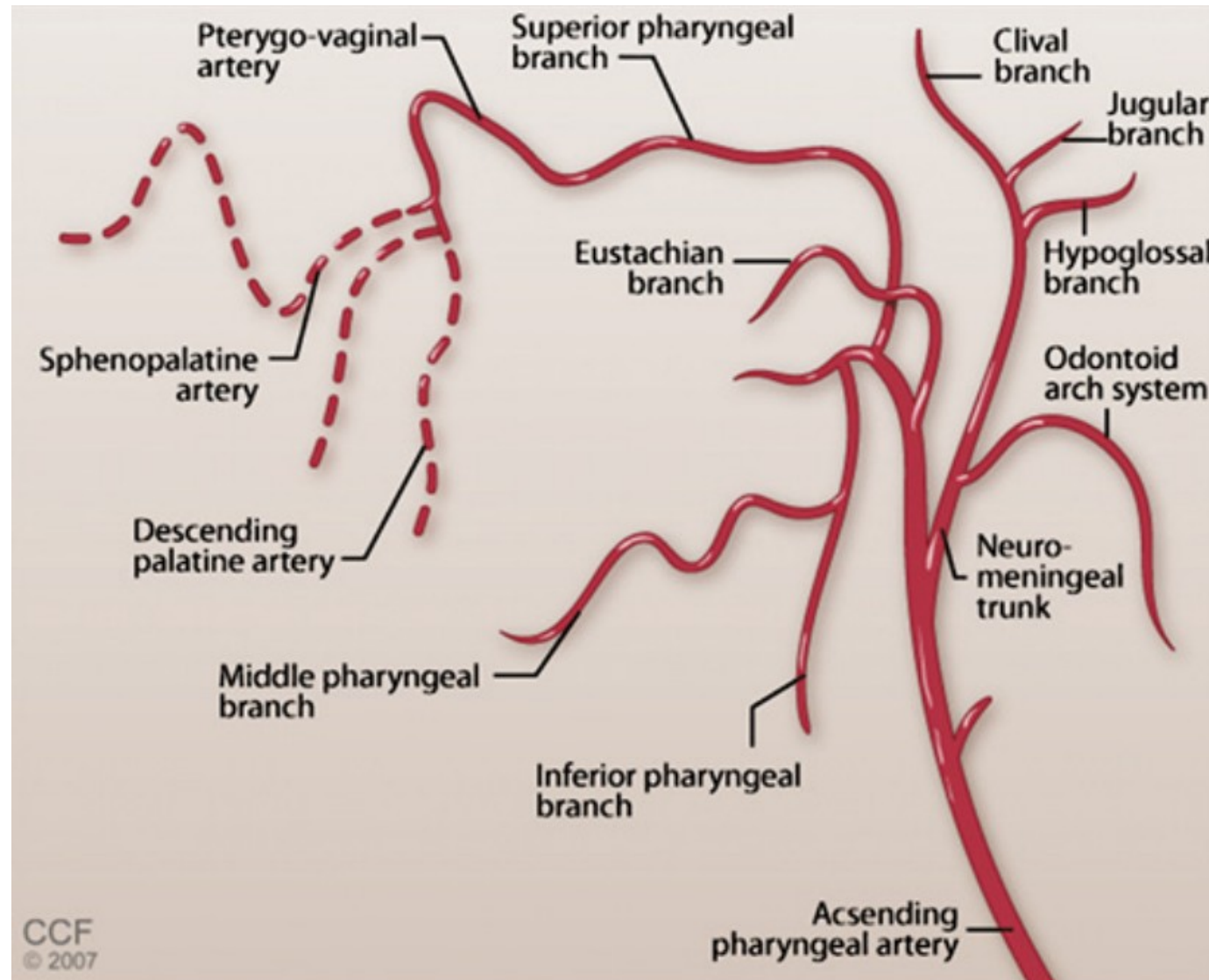
- anastomózy s arteria palatina descendens

## *Rami prevertebrales*

- hluboké šíjové svaly, truncus sympatheticus, n. X, lymfatické uzelny

- anastomózy s arteria cervicalis ascendens

## *Arteria tympanica inferior*



## 2. Neuromeningeální větev (zadní)

### **Arteriae musculospinales**

- paraspinální svaly, *ganglion cervicale superius*, n. XI
- anastomózy s *arteria cervicalis ascendens*

### **Arteria horizontalis posterior**

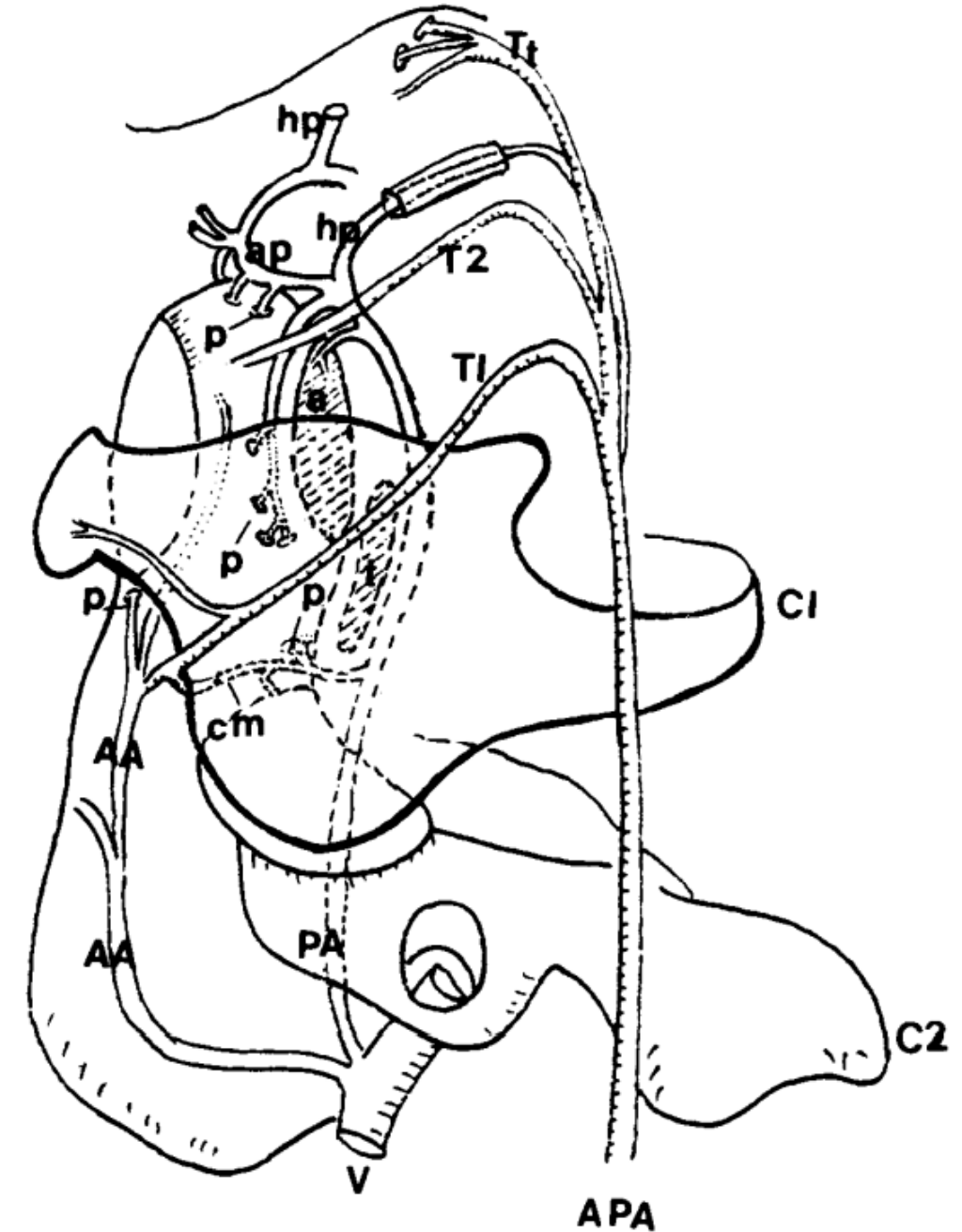
### **Arteria horizontalis anterior superior et inferior**

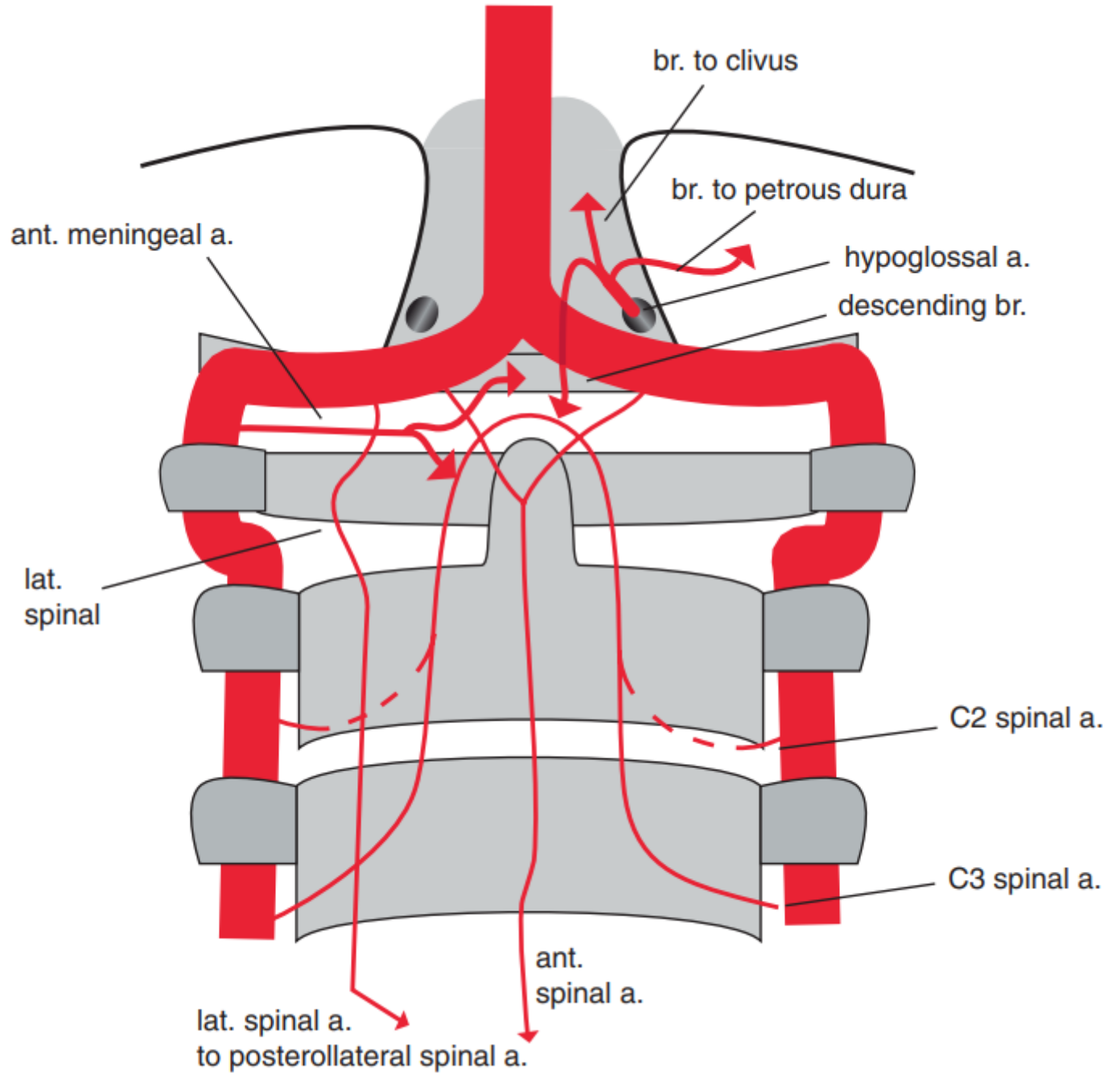
### **Arteria hypoglossalis**

- *rr. clivi*
- *rr. meningeales*
- *rr. descendentes (aa. prevertebrales)*

### **Arteria jugularis**

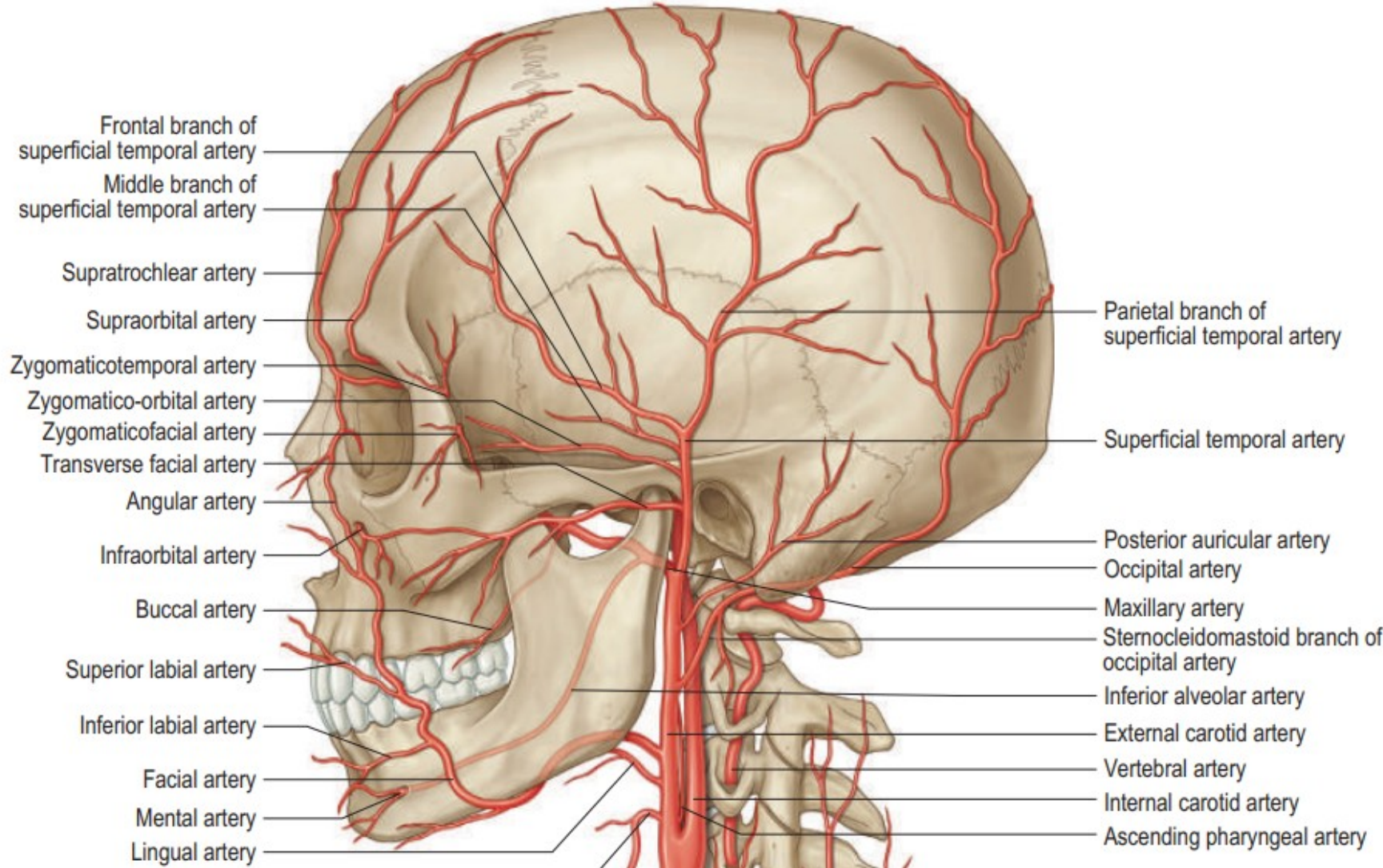
- n. IX, n. X, n. XI





# ARTERIA TEMPORALIS SUPERFICIALIS

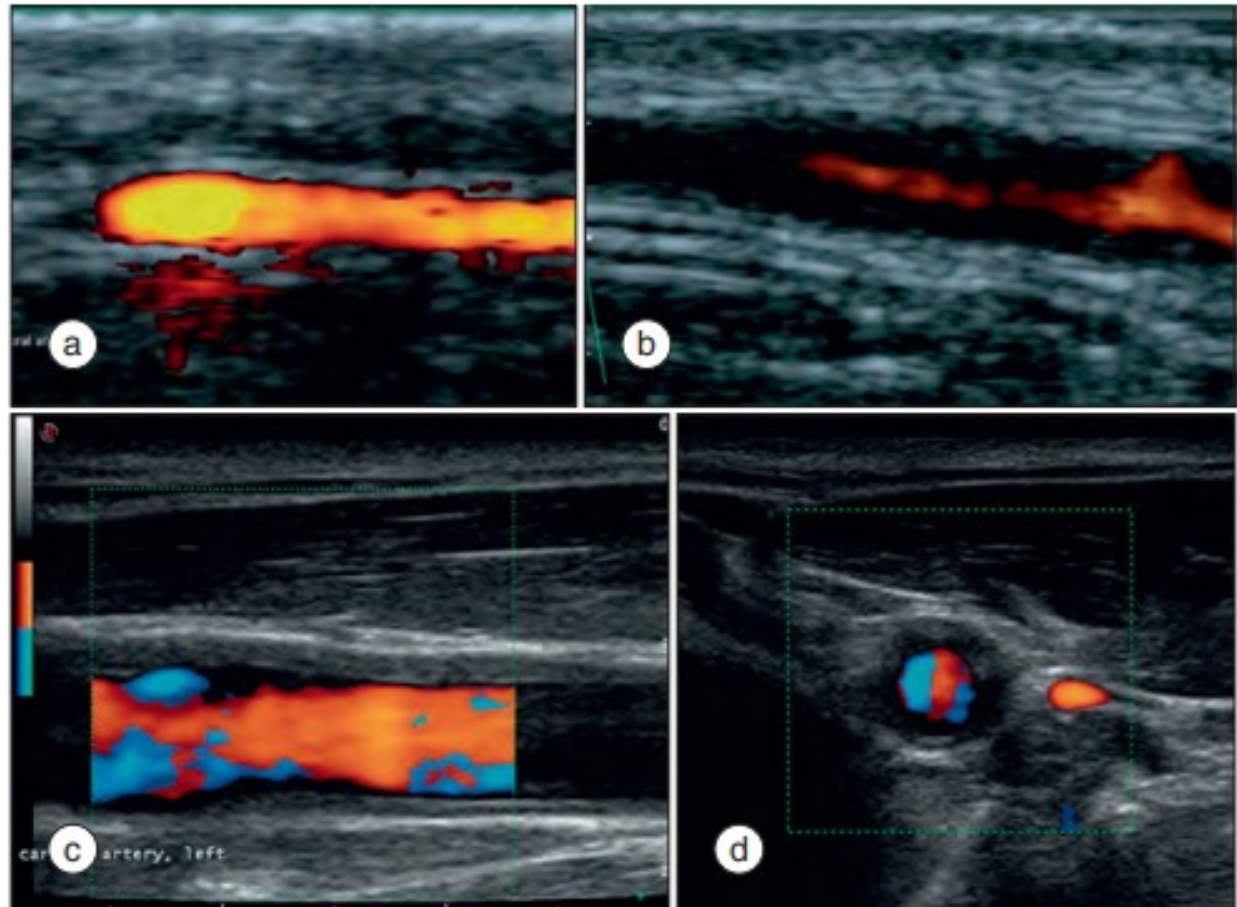
- *rr. parotidei*
- *a. transversa faciei*
- *rr. auriculares anteriores*
- *a. zygomatico-orbitalis*
- *a. temporalis media*
- *r. frontalis*
- *r. parietalis*



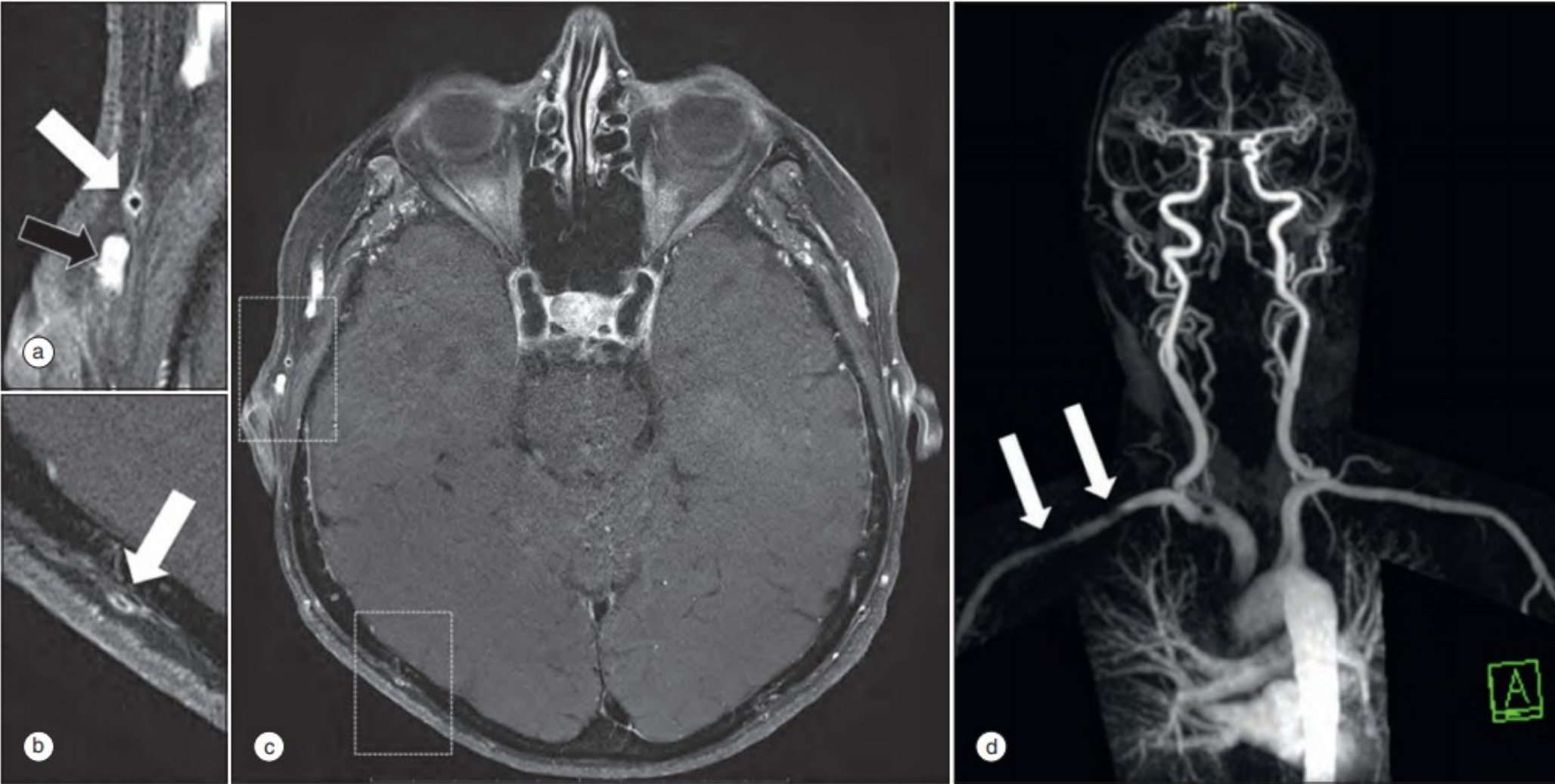
# TEMPORÁLNÍ ARTERITIS



Fig. 4.28 Prominent temporal artery in arteritis temporalis (giant-cell arteritis, arteritis temporalis Horton).



**FIG. 48.12** Temporal arteritis and large-vessel giant cell arteritis. **(a)** Normal temporal artery after temporal artery biopsy. The artery lumen is patent with no stenosis, and the vessel wall is hyperechoic and of normal thickness (confirmed on histologic analysis). **(b)** Temporal arteritis. The artery shows a narrowed lumen and thickened hypoechoic arterial wall. **(c)** Arteritis of the carotid artery. A skip lesion is seen on longitudinal view with hypoechoic arterial wall thickening. **(d)** Transverse view of the carotid artery showing the halo sign, a circumferential hypoechoic thickening of the arterial wall.



**FIG. 166.5** High-resolution cranial magnetic resonance imaging of a 72-year-old woman with giant cell arteritis (GCA) readily reveals inflammatory mural thickening and contrast enhancement of the right superficial temporal artery (white arrow in enlargement in **a**) and right superficial occipital artery (white arrow in enlargement in **b**). Please note missing signal within the artery's lumen because of high arterial flow, the so-called flow void phenomenon. Because of its slower venous flow, the concomitant right superficial temporal vein (dark arrow in enlargement **a**) displays homogeneous contrast and no flow void phenomenon. By depicting the entire cranial circumference, the superficial temporal and occipital arteries and their branches can be assessed within one single scan (**c**). (**d**) Magnetic resonance angiography of the supraaortic arteries in the same patient as in the previous image displays segmental inflammatory stenoses of the right subclavian artery. (a-d, Courtesy of Dr. T.A. Bley, Universität Würzburg, Germany.)

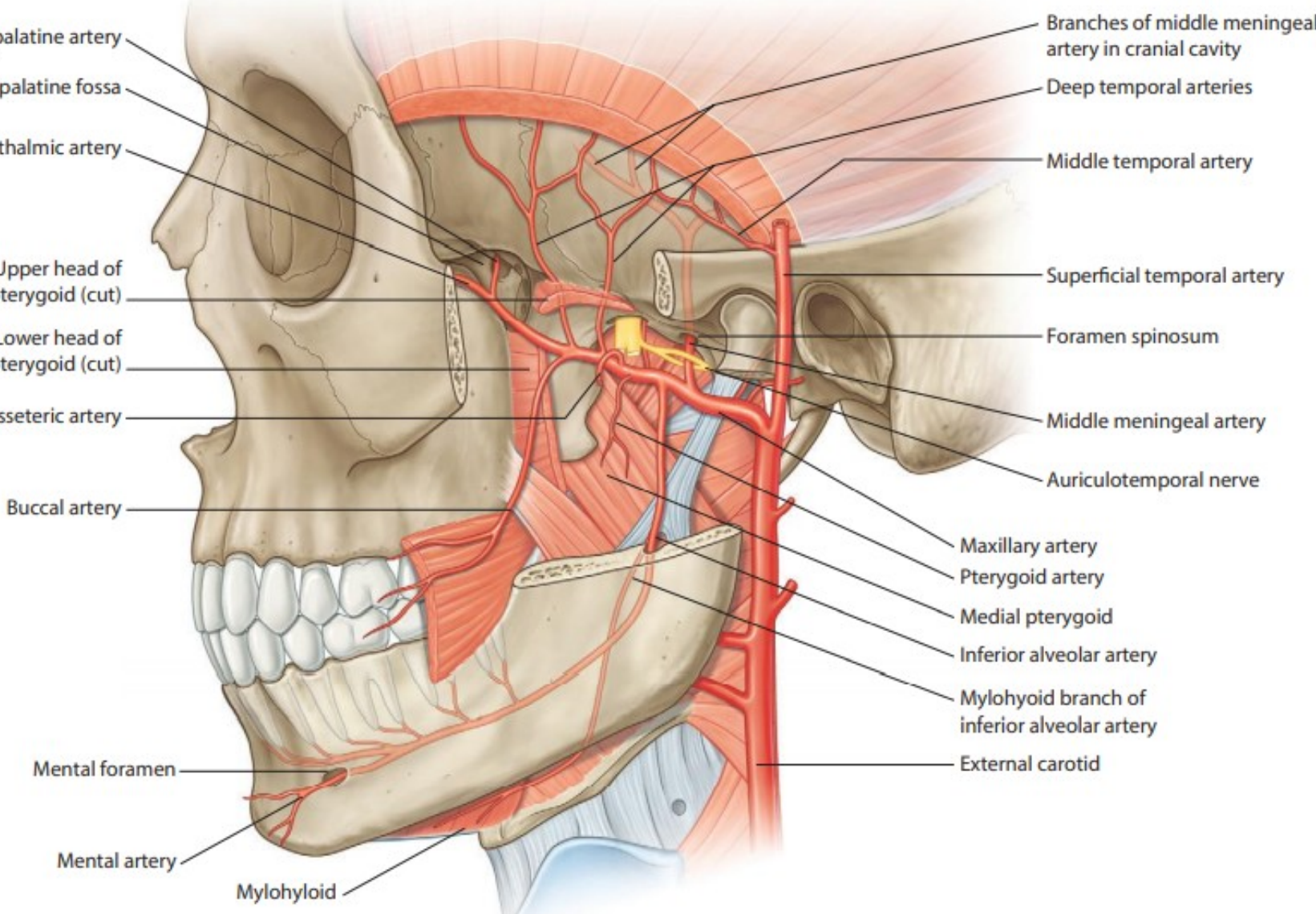
# ARTERIA MAXILLARIS

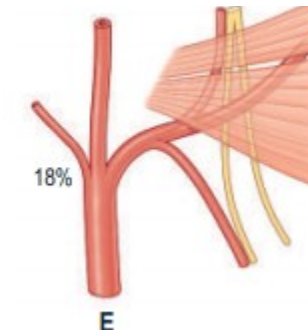
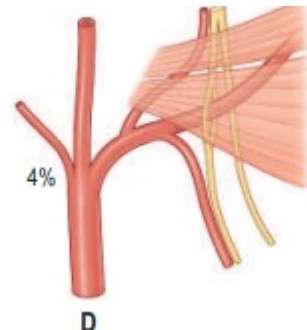
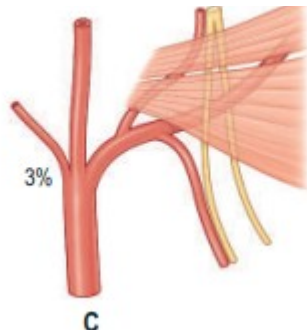
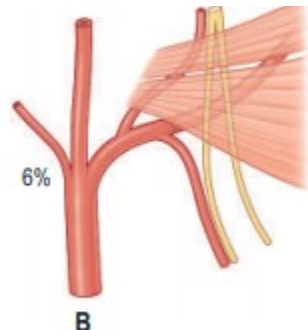
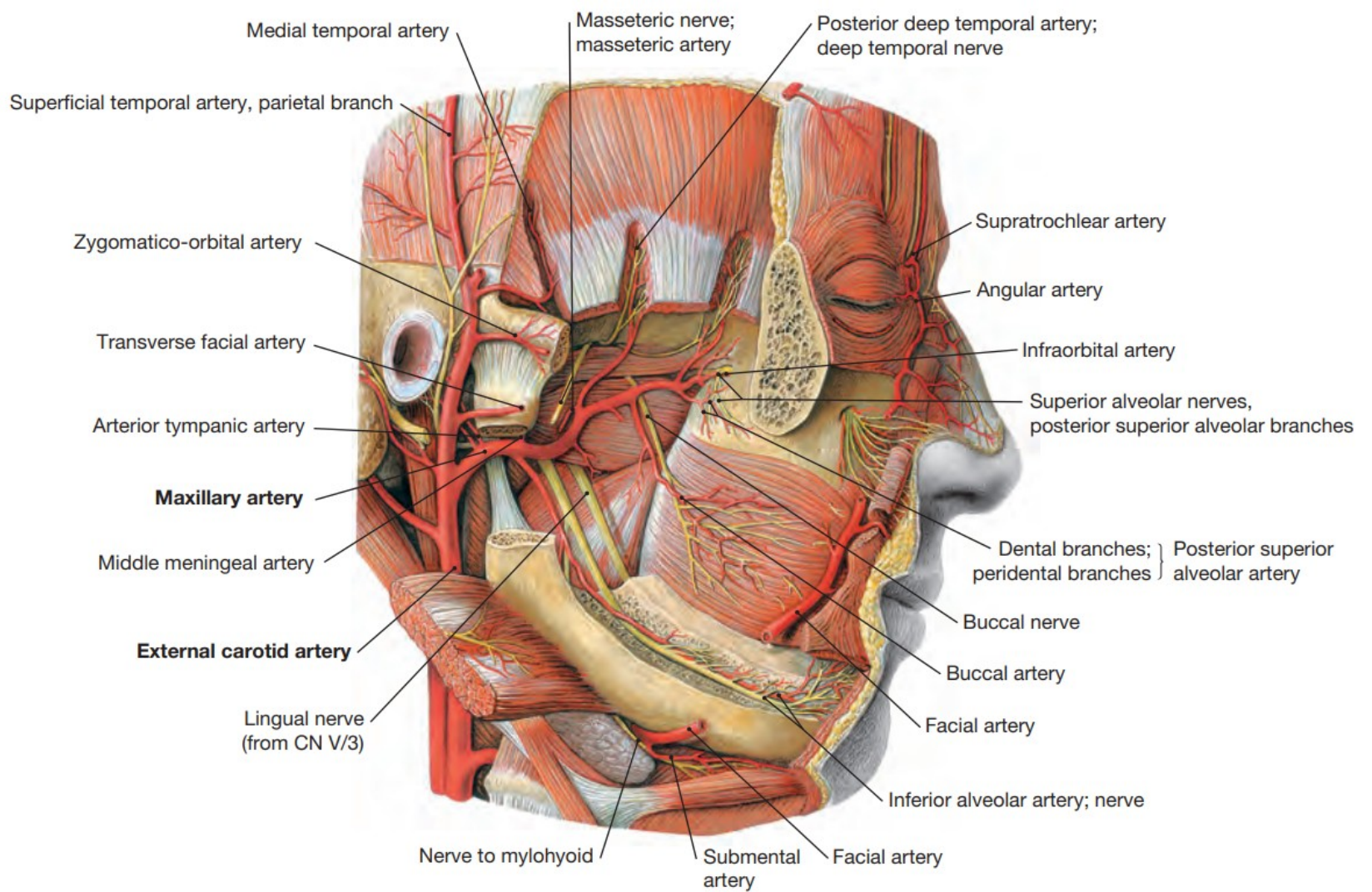
## 1. PARS MANDIBULARIS

- *a. auricularis profunda*
- *a. tympanica anterior*
- *a. meningea media*
  - *r. frontalis*
  - *r. parietalis*
  - *r. orbitalis*
  - *a. tympanica superior*
- *a. alveolaris inferior*
  - *r. mylohyoideus*
  - *rr. dentales*
  - *rr. gingivales*
  - *a. mentalis*

## 2. PARS PTERYGOIDEA

- *a. masseterica*
- *rr. pterygoidei*
- *aa. temporales profundae*
- *a. buccalis*





### 3. PARS PTERYGOPALATINA

#### • *a. alveolaris superior posterior*

- *rr. dentales*
- *rr. gingivales*

#### • *a. infraorbitalis*

- *aa. alveolares superiores anteriores*
  - *rr. dentales*
  - *rr. gingivales*

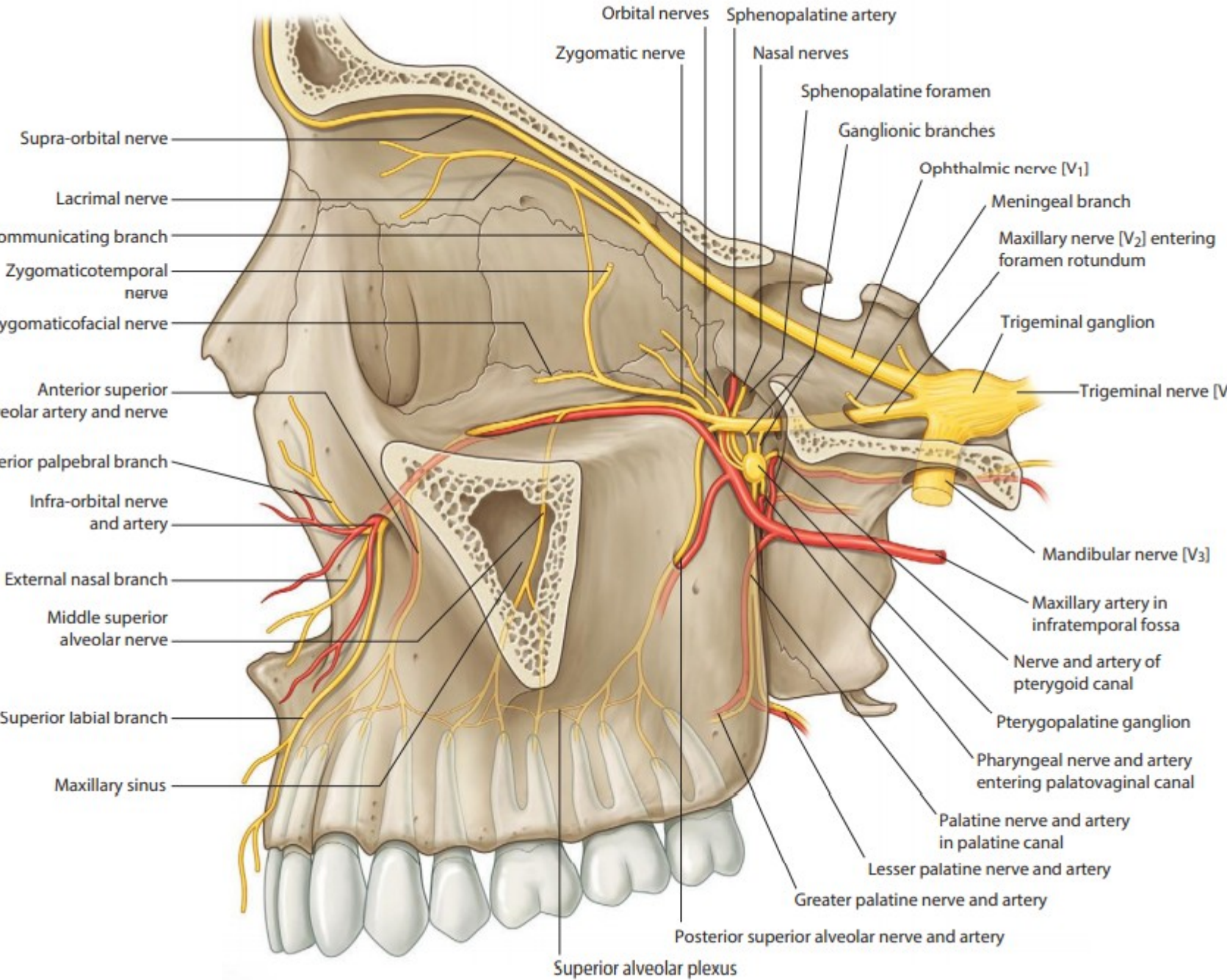
#### • *a. canalis pterygoidei*

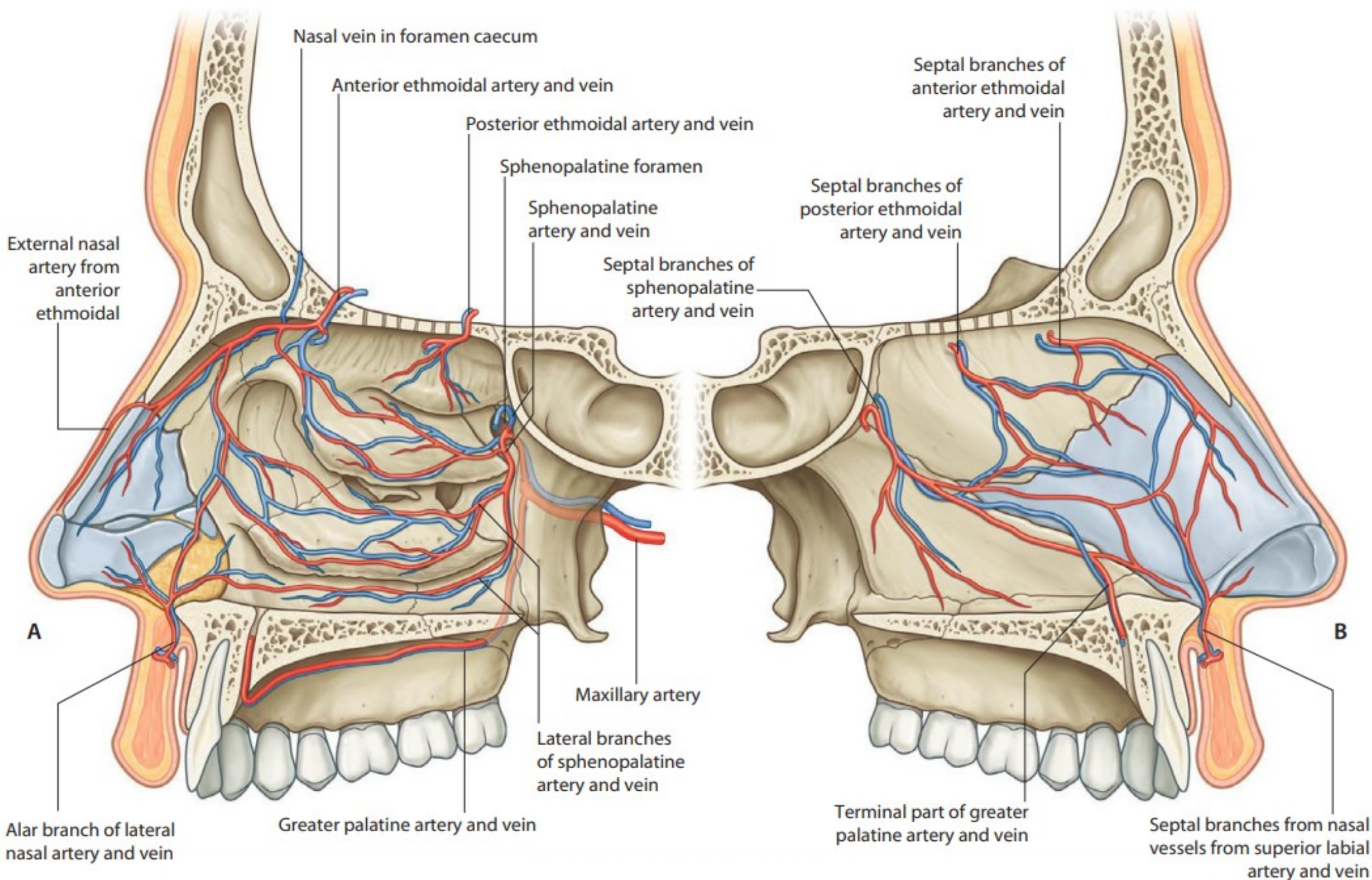
#### • *a. palatina descendens*

- *a. palatina major*
- *aa. palatinae minores*

#### • *a. sphenopalatina*

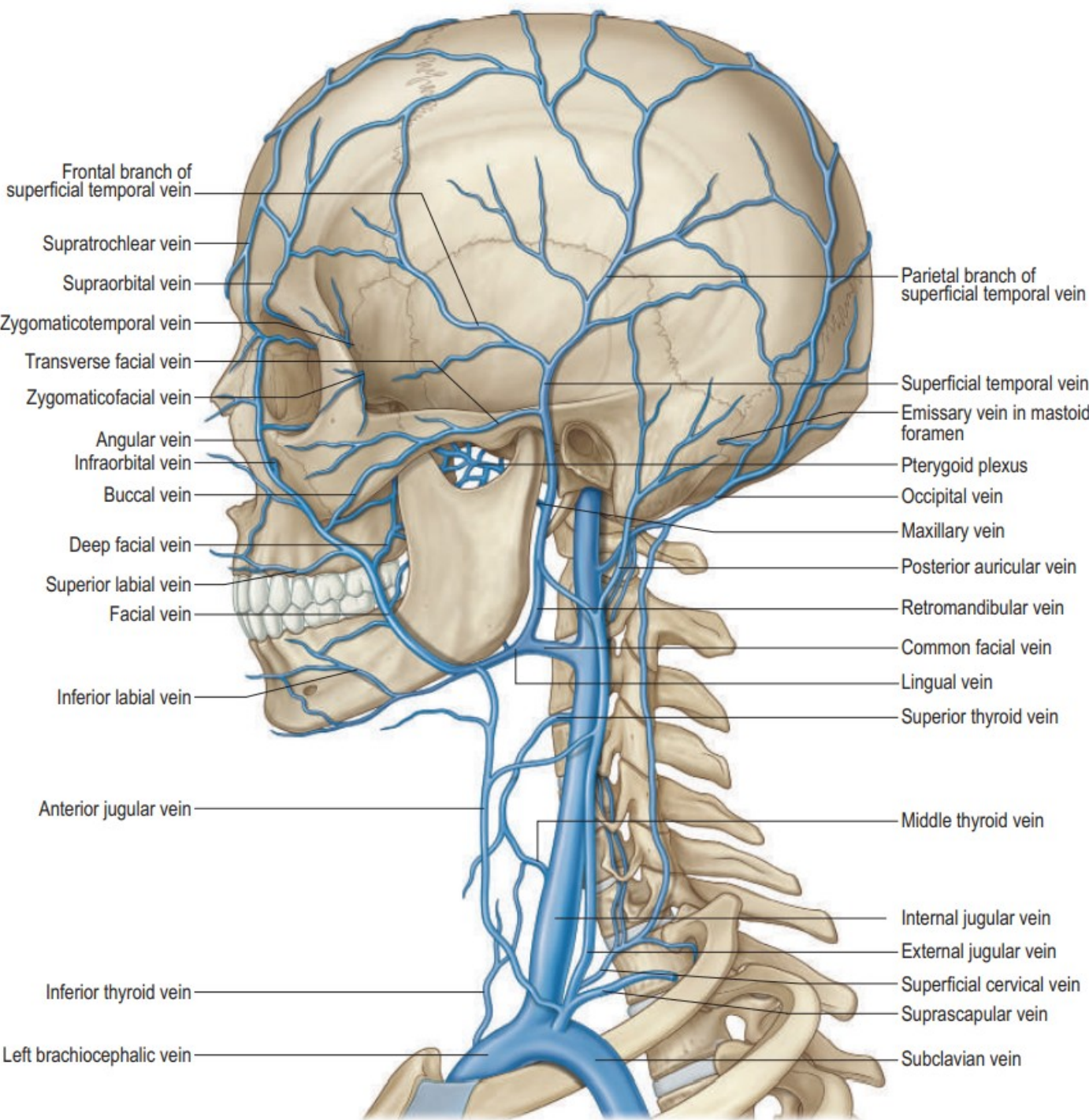
- *aa. nasales posteriores laterales*
- *rr. septales posteriores*
  - *r. nasopalatinus*

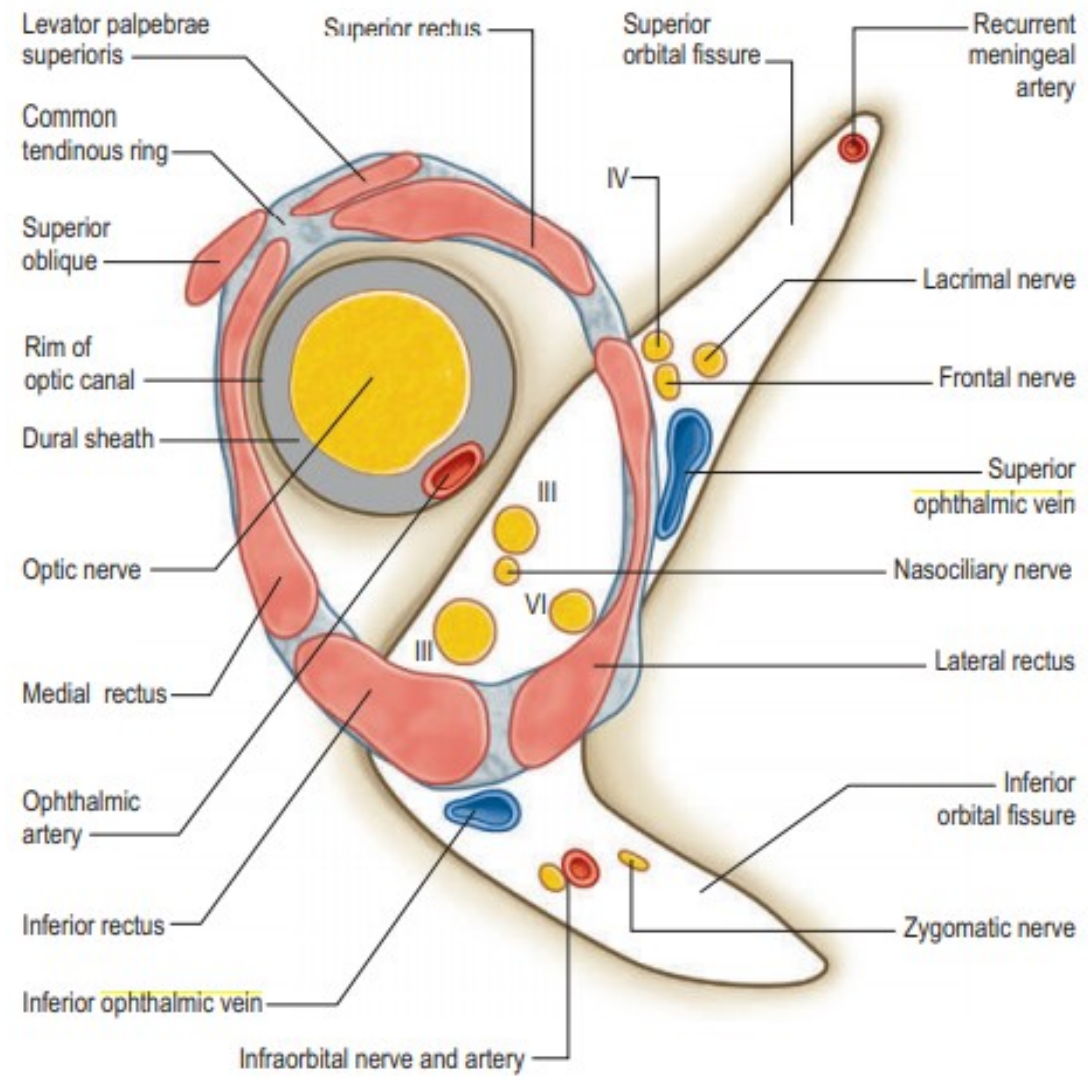
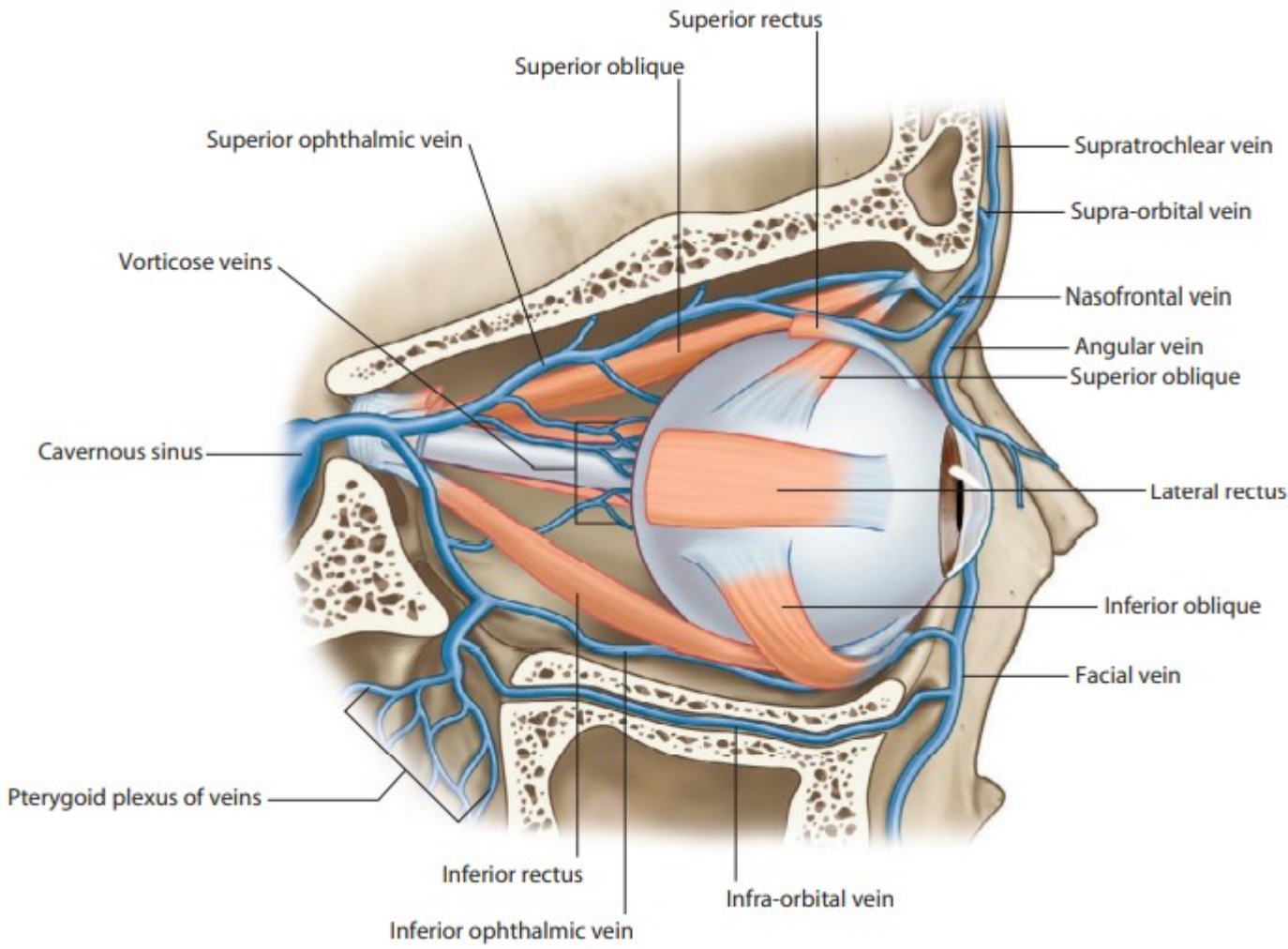




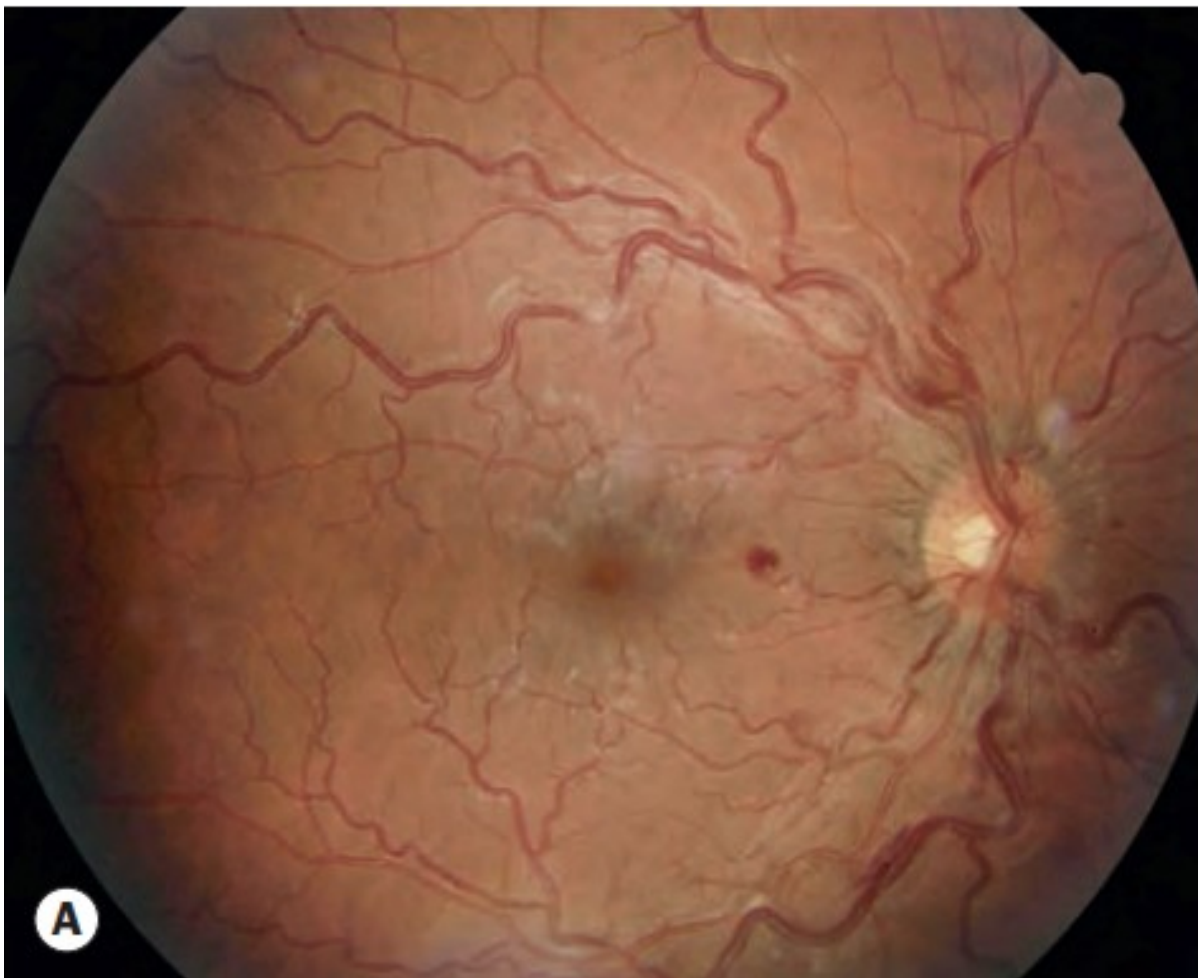
# PŘEHLED ŽIL HLAVY A KRKU

1. *vv. cerebri*
2. *vv. meningeae*
3. *sinus durae matris*
4. *vv. diploicae*
5. *vv. labyrinthi*
6. *vv. emissariae*
7. *v. retromandibularis*
  - *v. temporalis superficialis*
  - *v. temporalis media*
  - *v. transversa faciei*
  - *vv. maxillares*
8. *vv. ophthalmicae*
9. *vv. pharyngeae*
10. *v. facialis*
11. *v. lingualis*
  - *v. sublingualis*
  - *v. comitans nervi hypoglossi*
12. *v. thyroidea superior*
13. *v. thyroidea media*
14. *v. jugularis externa*

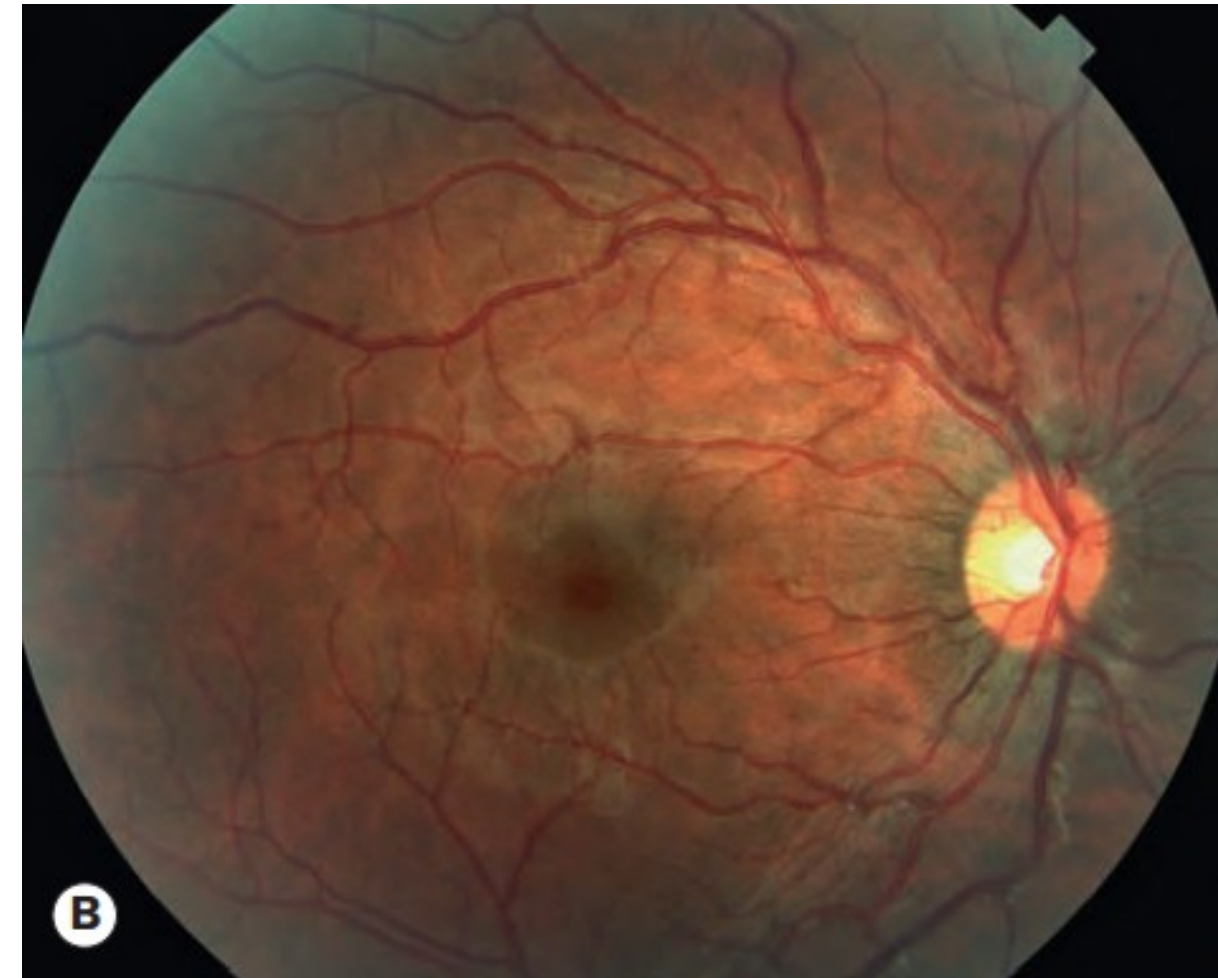




## OKLUZE V. CENTRALIS RETINEAE

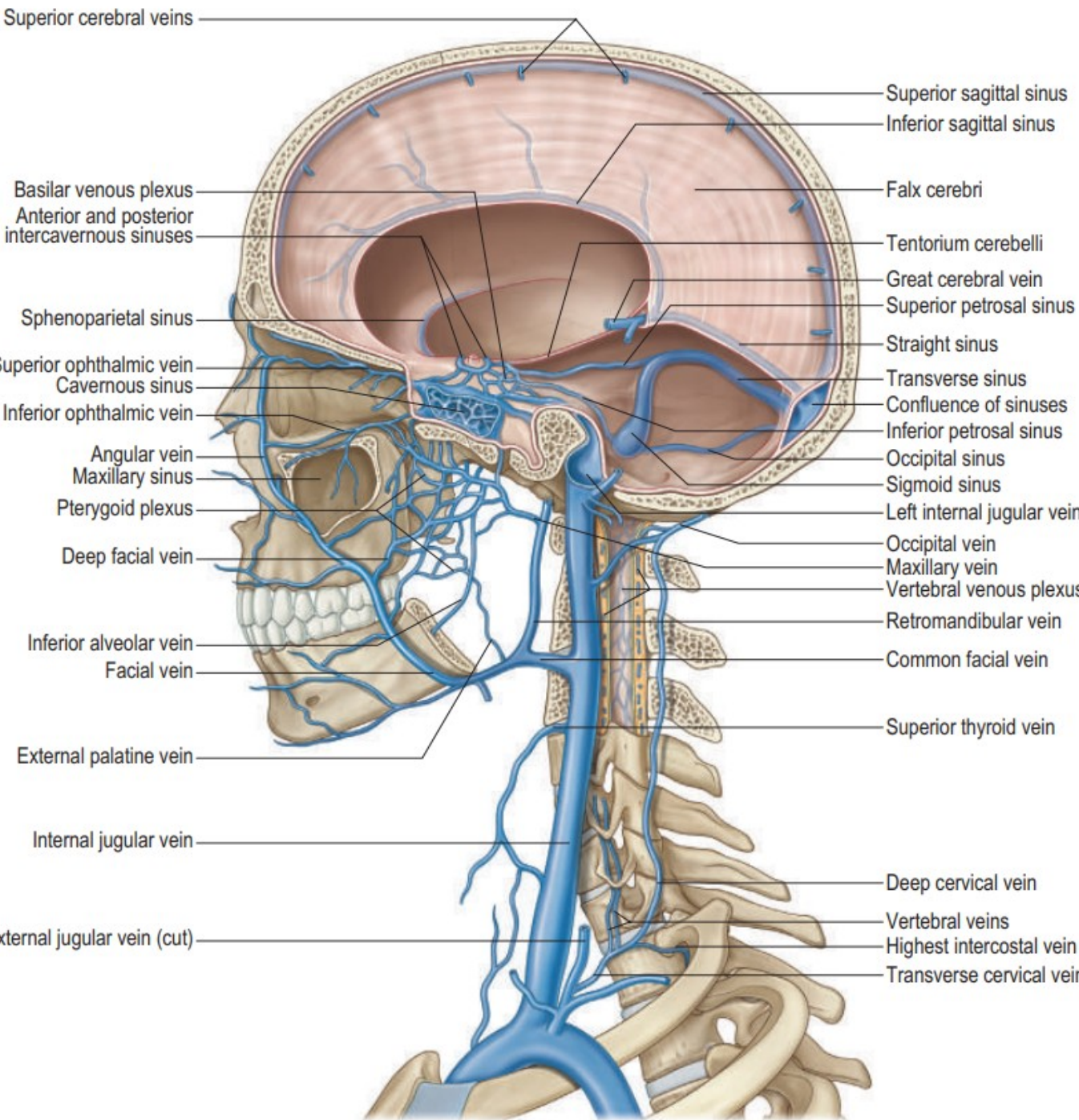
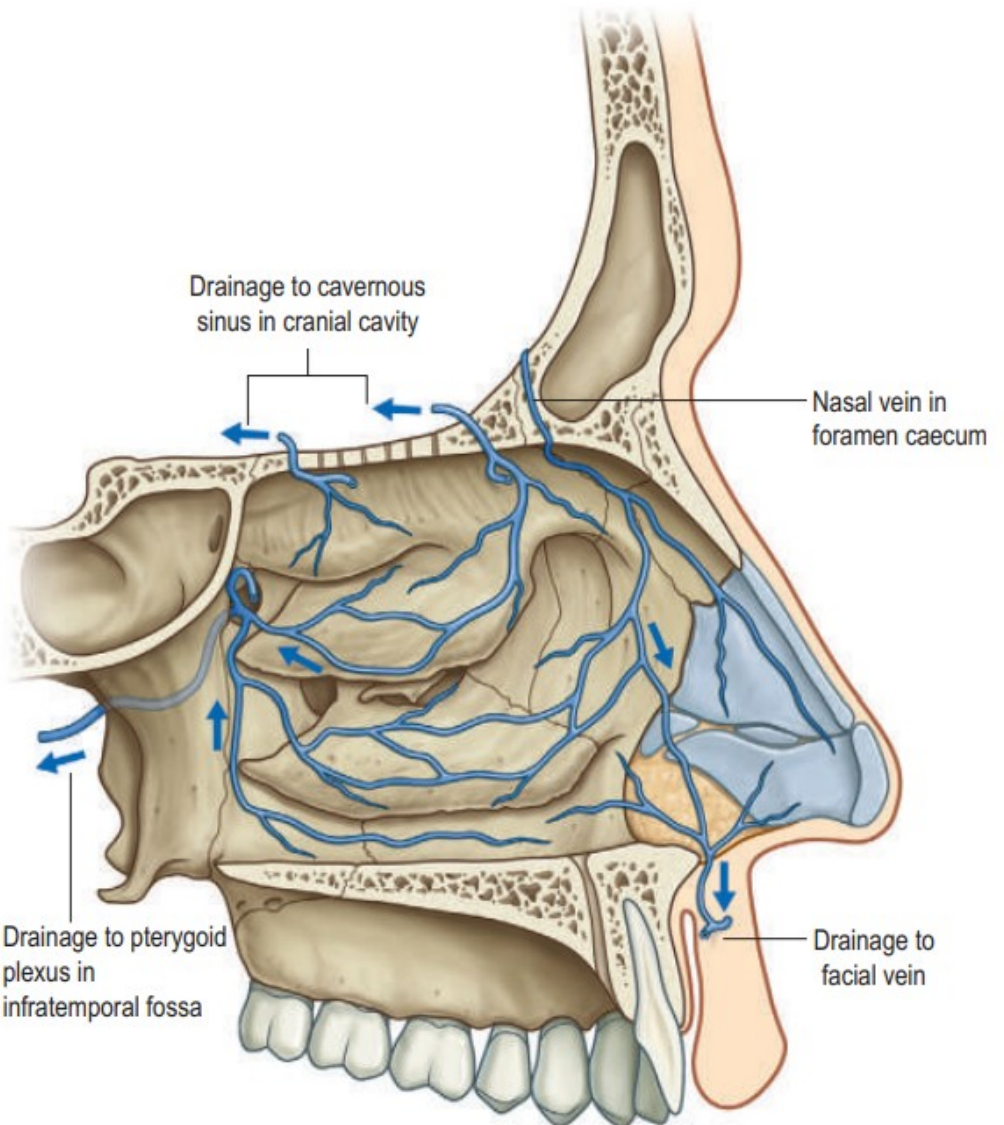


A



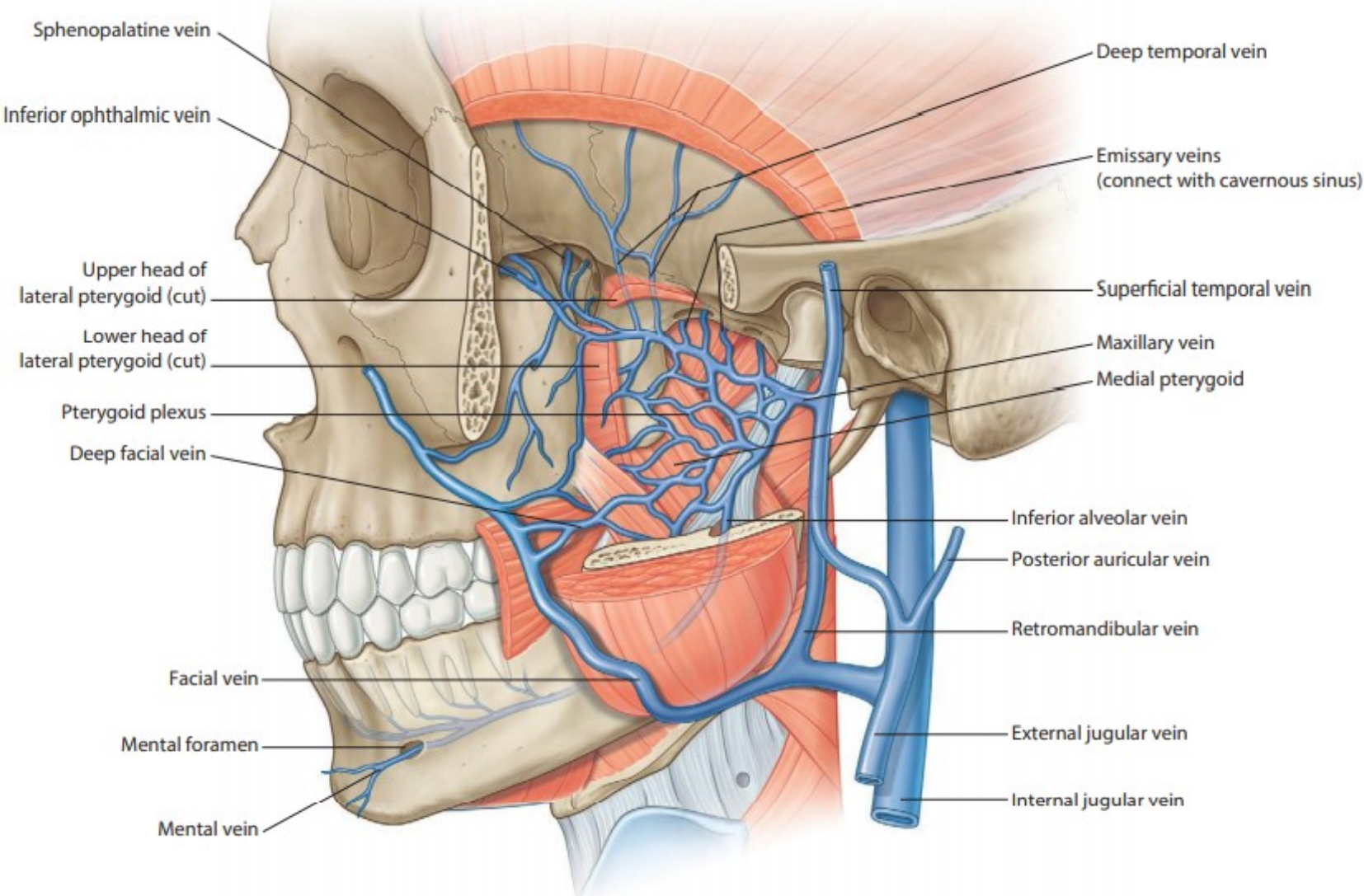
B

**Fig. 13.29** Impending central retinal vein occlusion (A) before and (B) after spontaneous resolution



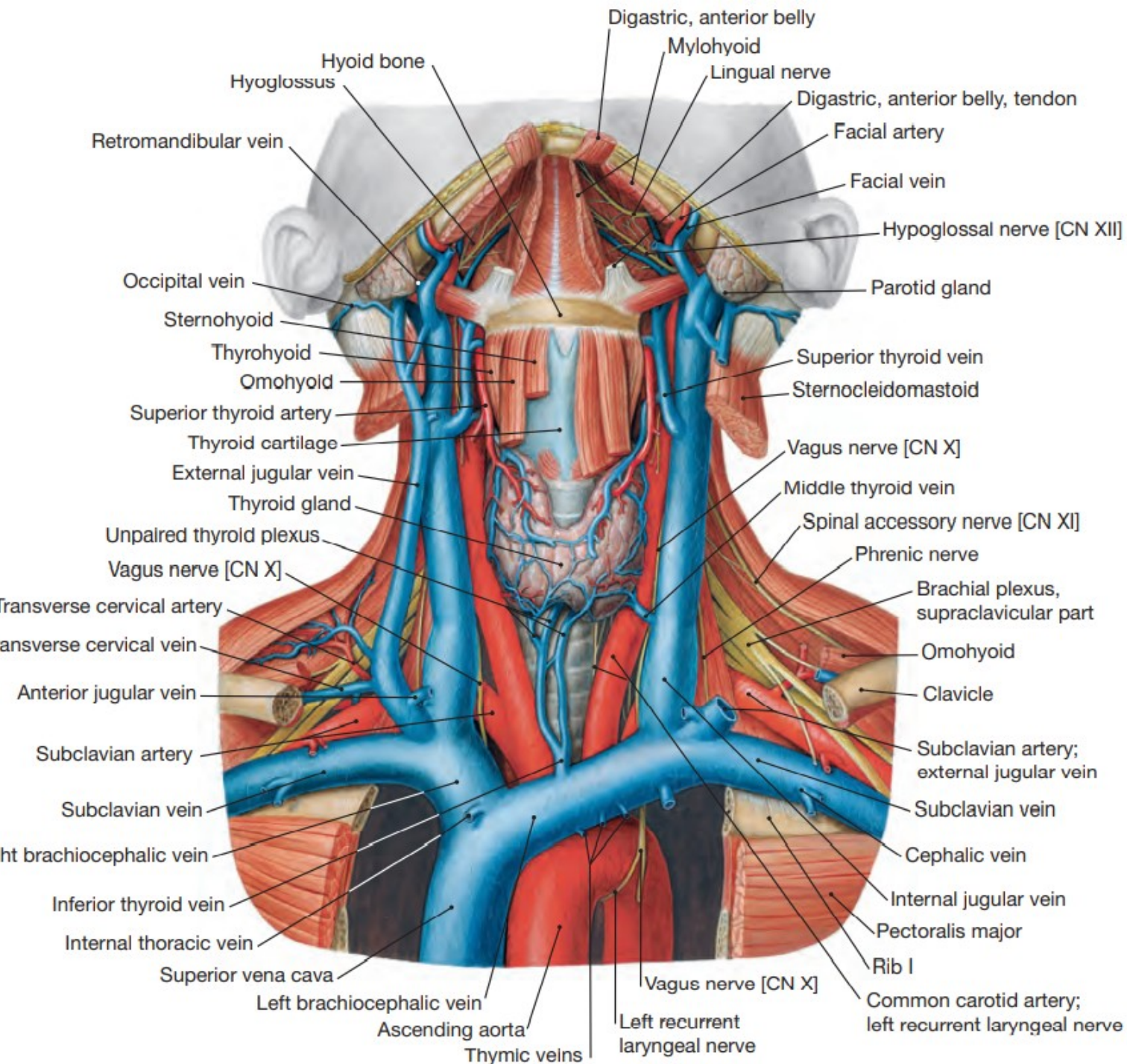
# PLEXUS PTERYGOIDEUS

- *vv. meningeae mediae*
- *plexus venosus foraminis ovalis*
- *plexus venosus caroticus internus*
- *venózní spojka přes foramen rotundum*
- *vv. temporales profundae*
- *v. canalis pterygoidei*
- *vv. auriculares anteriores*
- *vv. articulares*
- *vv. tympaniceae*
- *v. stylomastoidea*
- *vv. parotideae*
- *vv. pharyngeae*
- *v. sphenopalatina*
- *v. ophthalmica inferior*
- *v. infraorbitalis*
- *v. profunda faciei*
- *v. palatina descendens*
- *vv. alveolares superiores posteriores*
- *v. alveolaris inferior*

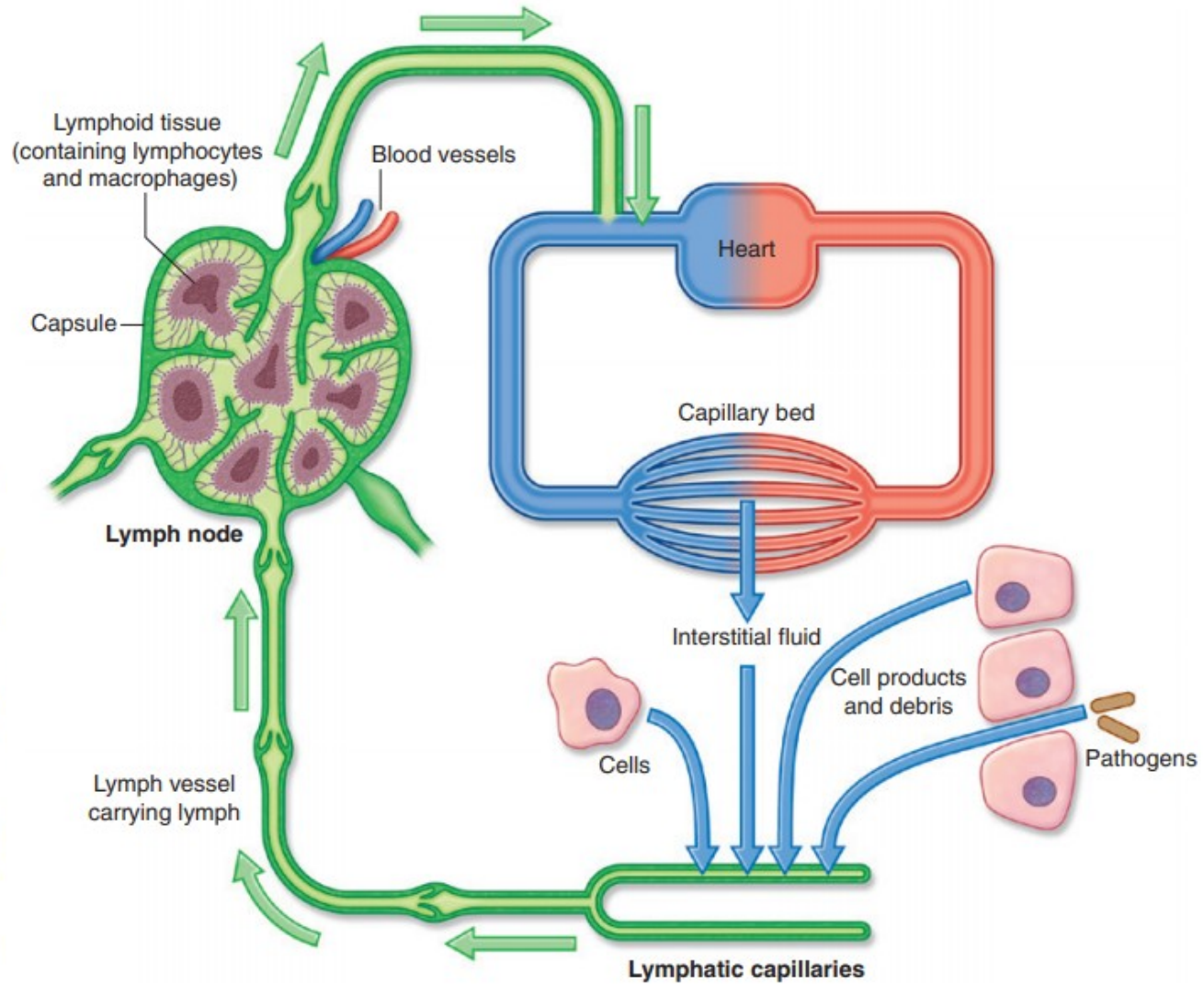
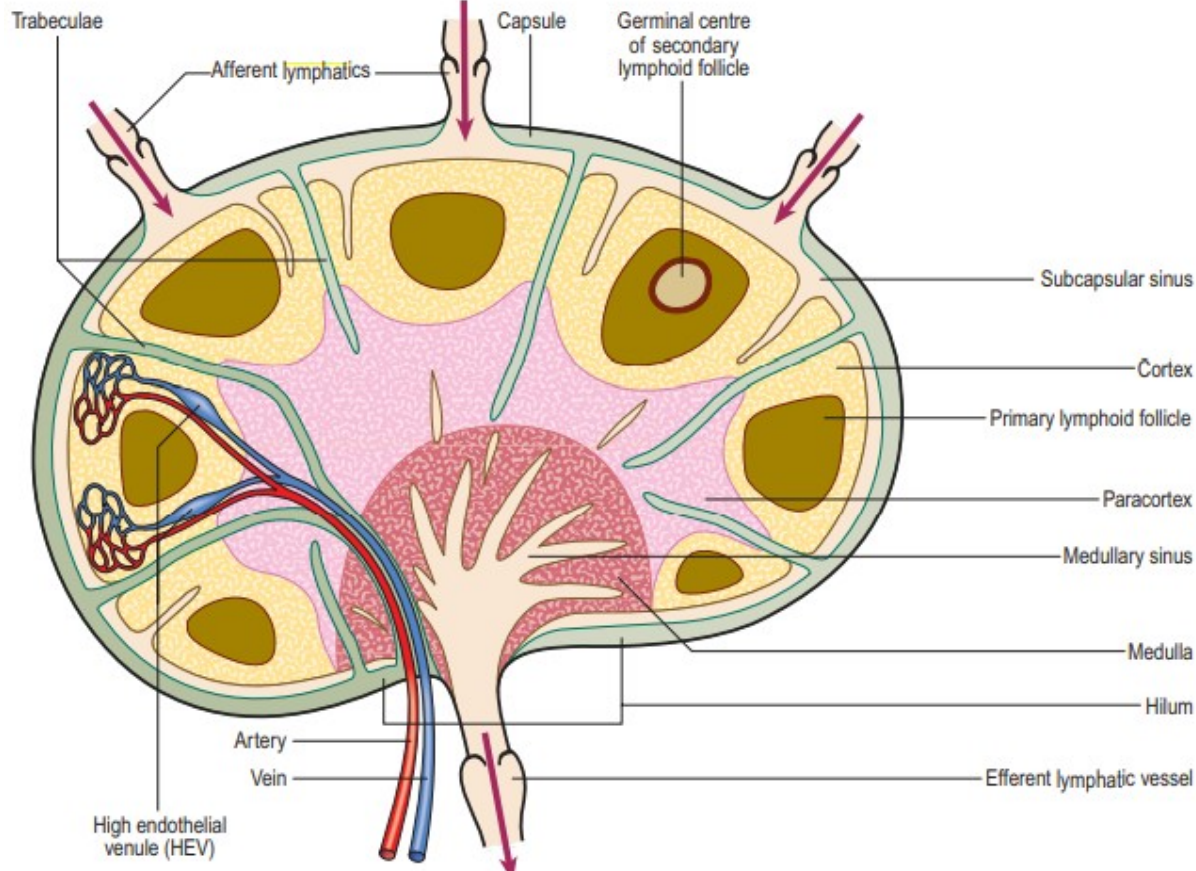


# VENA JUGULARIS INTERNA

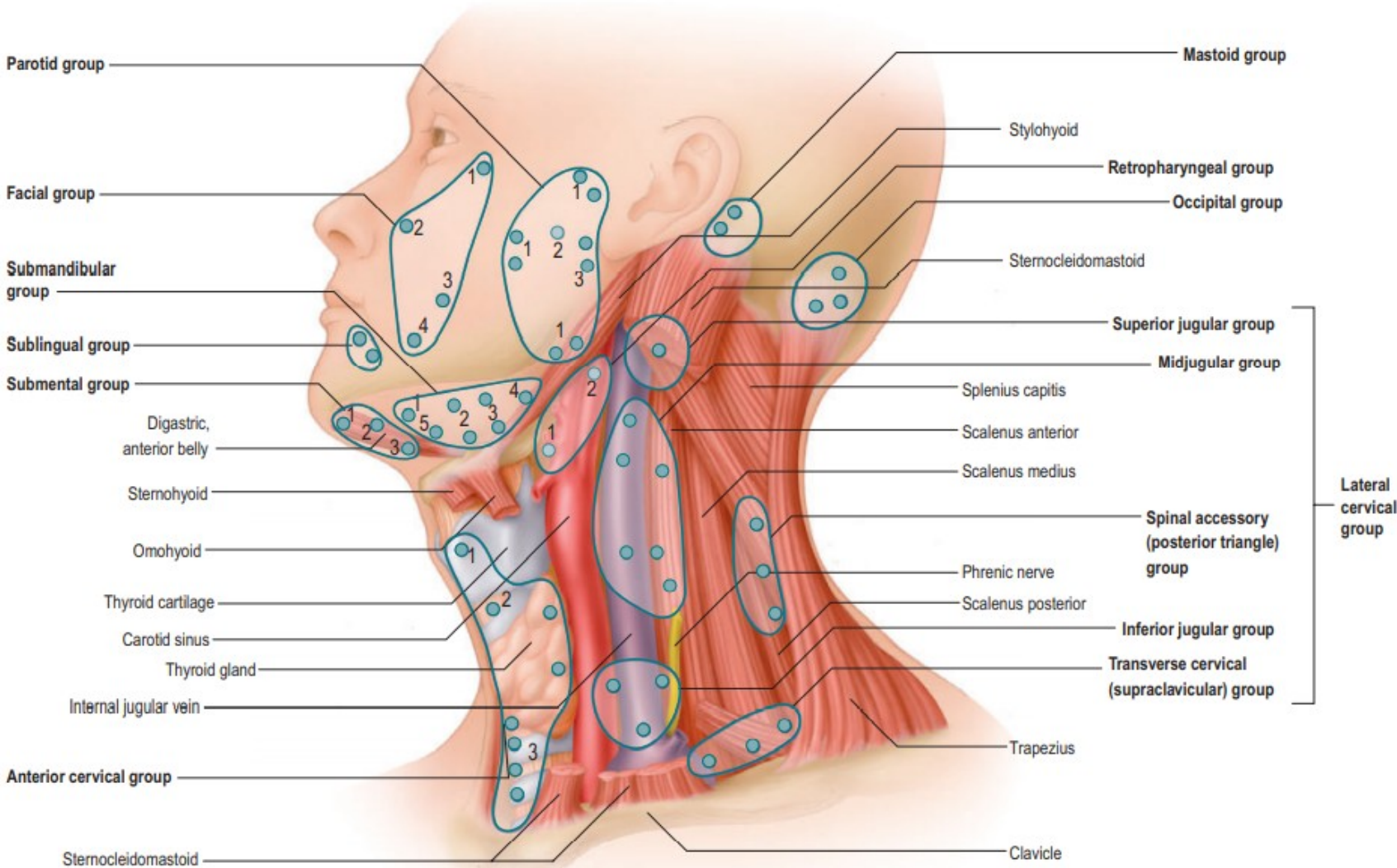
- *sinus sigmoideus + sinus petrosus inferior*
- *vv. pharyngeae (plexus pharyngeus)*
- *v. retromandibularis*
- *v. facialis*
- *v. lingualis*
  - *v. sublingualis*
  - *v. comitans nervi hypoglossi*
- *v. thyroidea superior*
  - *v. laryngea superior*
  - *v. sternocleidomastoidea*
- *v. thyroidea media (nekonstantní)*
- *v. jugularis externa*
  - *v. jugularis anterior*



# LYMFATICKÝ SYSTÉM - SOUHRN



# PŘEHLED LYMFATICKÝCH UZLIN HLAVY A KRKU



<b>Facial group</b>	1. Malar 2. Infraorbital 3. Buccinator 4. Inferior maxillary	<b>Submandibular group</b>	1. Pre-glandular 2. Pre-vascular 3. Retro-vascular 4. Retro-glandular 5. Intra-capsular	<b>Retropharyngeal group</b>	1. Lateral 2. Medial
<b>Parotid group</b>	1. Subfacial, extraglandular 2. Deep intraglandular 3. Suprafacial	<b>Submental group</b>	1. Anterior 2. Middle 3. Posterior	<b>Anterior cervical group</b>	1. Superficial anterior jugular chain 2. Prelaryngeal 3. Pretracheal

# PŘEHLED LYMFATICKÝCH UZLIN HLAVY

## Nodi occipitales

- oblast: měkké pokrývky lebeční v týlní krajině
- odtok: *nodi cervicales superficiales* a *nodi cervicales profundi*

## Nodi mastoidei

- oblast: měkké pokrývky lebeční za boltcem, zadní strana boltce
- odtok: *nodi cervicales superficiales* a *nodi cervicales profundi*

## Nodi parotidei superficiales et profundi

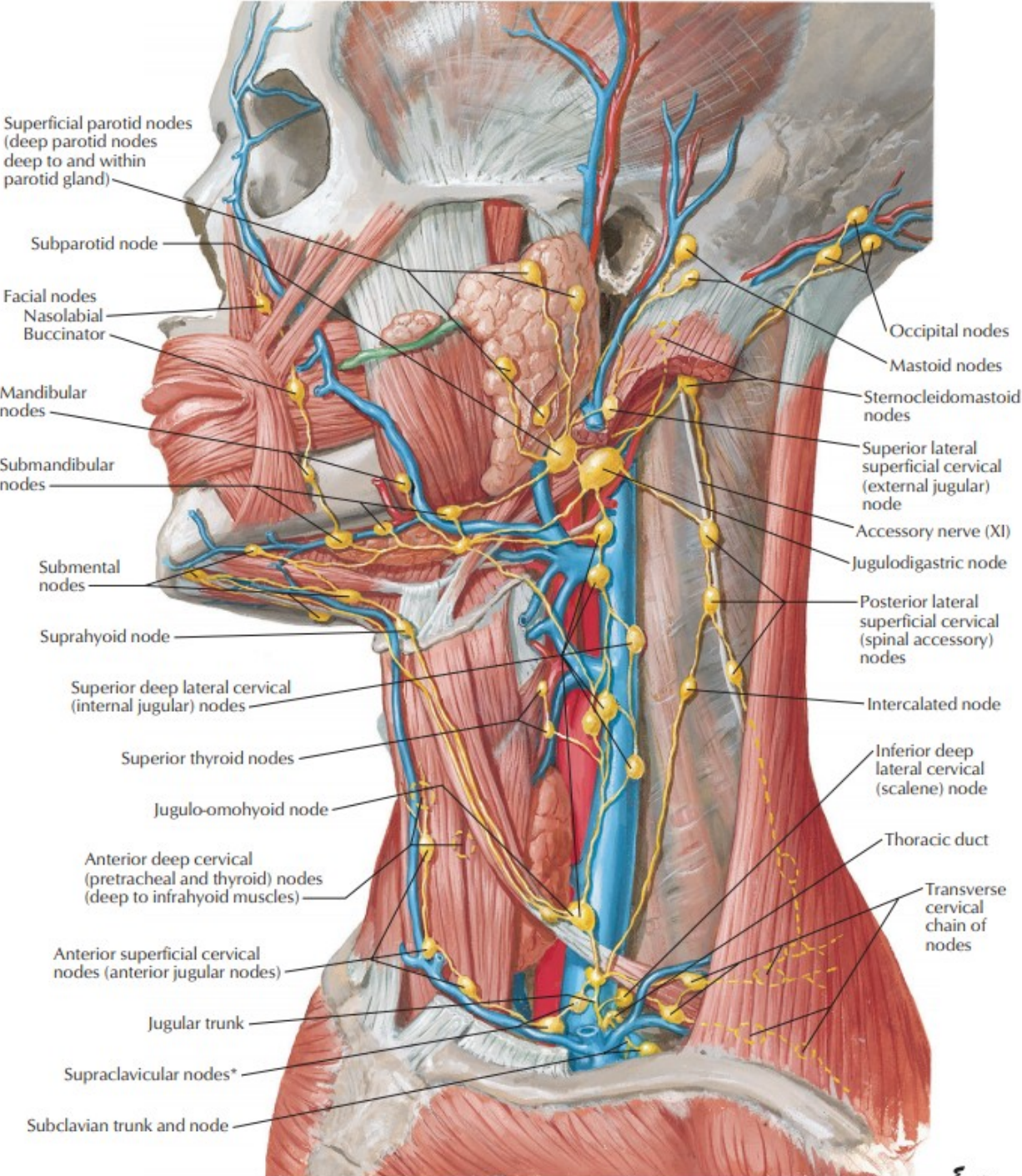
- oblast: měkké pokrývky lebeční spánkové a čelní krajiny, zevní část očních víček, přední strana boltce a zevního zvukovodu, *gl. parotis* a přilehlá část tváře
- odtok: *nodi cervicales superficiales* a *nodi cervicales profundi*

## Nodi submandibulares

- oblast: dolní víčka, nos, rty, tváře, paralinguální oblast, spodina dutiny ústní, zuby (kromě horních i dolních  $M_3$ )
- odtok: *nodi cervicales profundi*

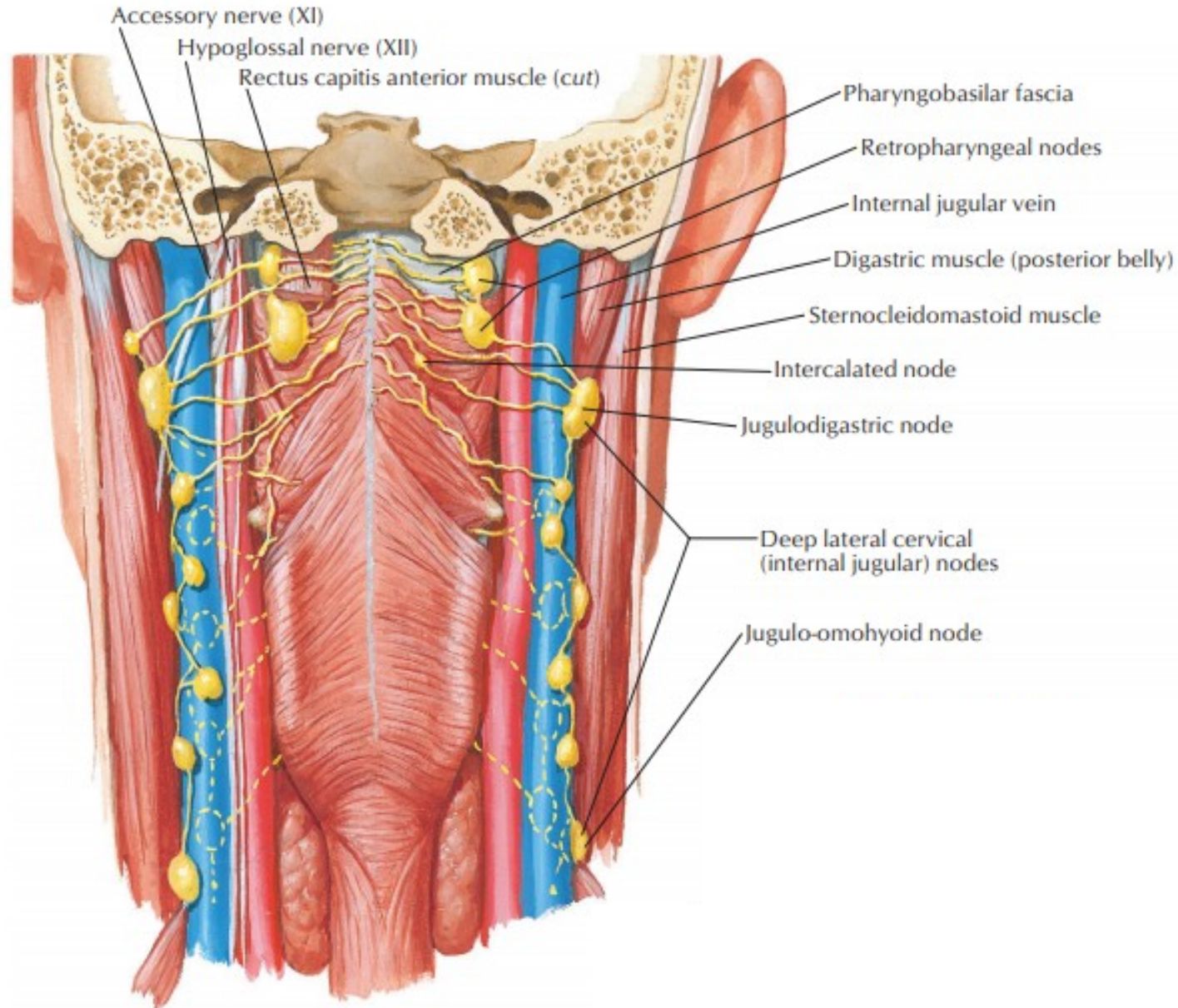
## Nodi submentales

- oblast: dolní ret, brada, přední část ústní dutiny a mandibuly, přední zuby s dásní, hrot jazyka
- odtok: *nodi submandibulares* a *nodi cervicales profundi*



## *Nodi retropharyngei*

- oblast: hltan, sliznice středního ucha, Eustachova trubice, zadní, horní a čichová oblast nosní sliznice
- odtok: *nodi cervicales profundi*



# LYMFA Z JAZYKA

## Apikální kolektory

→ *nodi juguloomohyoidei* nebo přes *nodi submentales*

## Povrchové marginální kolektory

→ *nodi submentales*

## Vnitřní marginální kolektory

→ *nodi jugulares interni* z přední části jazyka

→ *nodus jugulodigastricus* ze zadní části jazyka

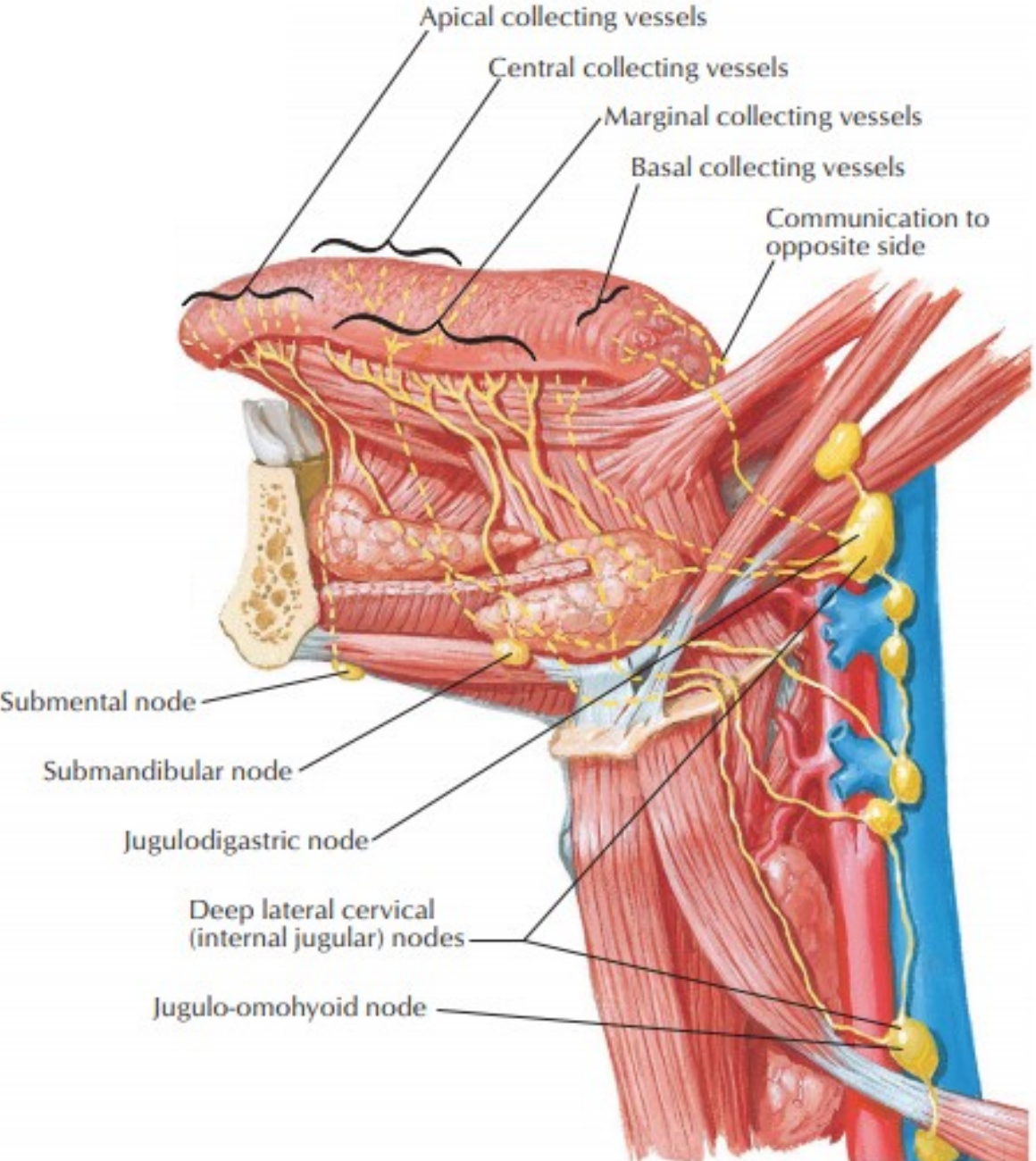
## Centrální kolektory

→ *nodi submandibulares* a *nodus juguloomohyoideus*

## Bazální kolektory

→ *nodi jugulares interni* a *nodus jugulodigastricus*

+ *nodi lingua*les při bázi jazyka



## **Nodi cervicales laterales superficiales**

- podél v. jugularis externa

## **Nodi cervicales laterales profundi**

### **a. nodi jugulares interni**

- nodus tonsillaris (Woodova uzlina)
- nodus jugulodigastricus (Küttnerova uzlina)

### **b. nodi comitantes n. accessorius**

### **c. nodi supraclavicularis**

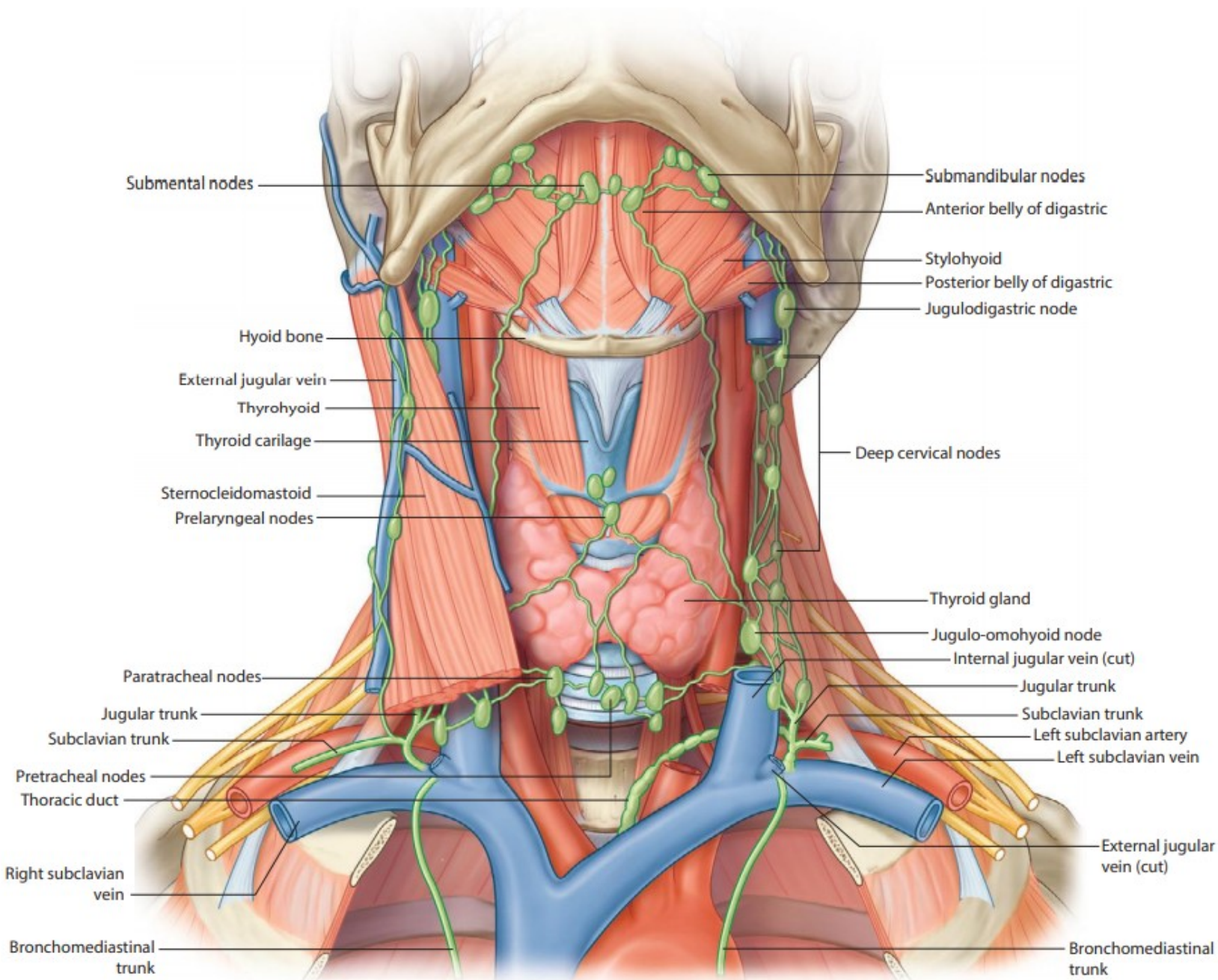
- vlevo Wirchovovy uzliny

## **Nodi cervicales anteriores superficiales**

- **nodi jugulares anteriores**

## **Nodi cervicales anteriores profundi**

- **nodi praelaryngei**
- **nodi thyroidei**
- **nodi praeglandulares**
- **nodi praetracheales**
- **nodi paratracheales**



## Literatura použitá při tvorbě přednášky (včetně obrázků):

- HOMBACH-KLONISCH, S., T. KLONISCH and J. PEELER. *Sobotta: Clinical Atlas of Human Anatomy*. Munich, Germany: Elsevier Science, 2019, 680 s. ISBN 978-0-7020-5273-6.
- STANDRING, S, et al. *Gray's Anatomy: The Anatomical Basis of Clinical Practice*. 41st. Philadelphia: Elsevier, 2016, 1562 s. ISBN 978-0-7020-5230-9.
- DRAKE, R. L., A. WAYNE VOGL and A. W. M. MITCHELL. *Gray's Anatomy for Students*. 4th. Philadelphia: Elsevier, 2020. ISBN 978-0-323-39304-1.
- DRAKE, R. L., A. WAYNE VOGL, A. W. M. MITCHELL, R. M. TIBBITTS and P. E. RICHARDSON. *Gray's Atlas of Anatomy*. 2. Philadelphia: Churchill Livingstone, 2015, 648 s. ISBN 978-1-4557-4802-0.
- NETTER, F. H. *Atlas of Human Anatomy*. 6. Philadelphia: Saunders, 2014, 624 s. ISBN 978-1-4557-0418-7.
- BRUNICARDI, F. Ch., D. K. ANDERSEN, T. R. BILLIAR, D. L. DUNN, J. G. HUNTER, L. S. KAO, J. B. MATTHEWS and R. E. POLLOCK. *Schwartz's Principles of Surgery*. 11. New York: McGraw-Hill Education, 2019, 2448 s. ISBN 978-1-25-983537-7.
- PELLERITO, J. S. and J. F. POLAK. *Introduction to vascular ultrasonography*. 6. Philadelphia: Saunders, 2012, 704 s. ISBN 978-1-4377-1417-3.
- GOSLING, J. A., P. F. HARRIS, J. R. HUMPHERSON, I. WHITMORE, P. L. T. WILLAN et al. *Human Anatomy, Color Atlas and Textbook*. 6. Philadelphia: Elsevier, 2017, 456 s. ISBN 978-0-7234-3827-4.
- KANSKI, J. J. and B. BOWLING. *Kanski's Clinical Ophthalmology: A Systematic Approach*. 8. Philadelphia: Saunders, 2016, 928 s. ISBN 978-0-7020-5572-0.
- HOCHBERG, M. C., A. J. SILMAN, E. M. GRAVALESSE, J. S. SMOLEN, M. E. WEINBLATT, M. H. WEISMAN et al. *Rheumatology*. 7. Philadelphia: Elsevier, 2019, 2048 s. ISBN 978-0-7020-6865-2.
- SIEGENTHALER, W. et al. *Differential Diagnosis in Internal Medicine: From Symptom to Diagnosis*. New York: Thieme Medical Publishers, 2007, 1140 s. ISBN 978-3-13-142141-8.
- MCCANCE, K. L., S. E. HUETHER et al. *Pathophysiology: The Biologic Basis for Disease in Adults and Children*. 7. St. Louis: Mosby, 2014, 1840 s. ISBN 978-0-323-08854-1.
- ČIHÁK, Radomír. *Anatomie* 3. Třetí, upravené a doplněné vydání. Praha: Grada, 2016, 832 s. ISBN 978-802-4756-363.
- PÁČ, Libor. *Anatomie člověka II: splanchnologie, kardiovaskulární systém, žlázy s vnitřní sekrecí*. Brno: Masarykova univerzita, 2012, 192 s. ISBN 978-802-1042-919.